

UNIVERSIDAD NACIONAL DE  
EDUCACIÓN A DISTANCIA  
ESCUELA TÉCNICA SUPERIOR DE  
INGENIERÍA INFORMÁTICA  
Departamento de Informática y Automática



TRABAJO FIN DE MÁSTER  
MÁSTER EN INGENIERÍA DE SISTEMAS Y  
CONTROL

**PhotoBioLib: una librería de Modelica para el  
modelado y simulación de fotobiorreactores**

Agustín Pérez Castro

Dirigida por: Dr. José Sánchez Moreno (UNED)  
Dr. Francisco Gabriel Ación Fernández (UAL)

Junio 2014



UNIVERSIDAD NACIONAL DE  
EDUCACIÓN A DISTANCIA  
ESCUELA TÉCNICA SUPERIOR DE  
INGENIERÍA INFORMÁTICA  
Departamento de Informática y Automática



TRABAJO FIN DE MÁSTER  
MÁSTER EN INGENIERÍA DE SISTEMAS Y  
CONTROL

**PhotoBioLib: una librería de Modelica para el  
modelado y simulación de fotobiorreactores**  
Tipo B: Proyecto específico propuesto por el alumno

Agustín Pérez Castro

Dirigida por: Dr. José Sánchez Moreno (UNED)  
Dr. Francisco Gabriel Ación Fernández (UAL)



*A mis padres.*



# Agradecimientos

Deseo agradecer a todas aquellas personas que, con su ayuda, han contribuido a la realización de este trabajo fin de máster, mencionando especialmente:

- A los profesores José Sánchez Moreno y Francisco Gabriel Acién Fernández, como directores del trabajo fin de máster, por haberme guiado y solucionado siempre mis dudas.
- Al resto de profesores del Máster en Ingeniería de Sistemas y Control que han contribuido a aumentar mi conocimiento en el área.
- A mis compañeros del Departamento de Informática y Automática de la UNED, mencionando especialmente a Sebastián Dormido y José Sánchez por darme la oportunidad de seguir formándome en estos temas y por acogerme tan bien en Madrid.
- A todos los miembros del grupo de investigación en Automática, Robótica y Mecatrónica de la Universidad de Almería, mencionando especialmente a Manolo Berenguel y José Luis Guzmán, por iniciarme en el mundo de la investigación y confiar en mí.
- A mis amigos de siempre, compañeros de carrera y amistades de Brasil.
- A María del Mar por su ayuda, apoyo y comprensión.
- Y por último, a toda mi familia, que han estado conmigo en todas las decisiones que he tomado. Mis padres, Agustín y Amparo, mi hermano Álvaro y mi hermana Ampí.

A todos ellos, gracias



# Índice

Índice de figuras	III
Índice de tablas	V
<b>1. Introducción</b>	<b>1</b>
1.1. Estado del arte de la simulación de fotobiorreactores	1
1.2. <i>Modelica</i>	3
<b>2. Hipótesis de modelado</b>	<b>4</b>
2.1. Tasa fotosintética	4
2.2. Generación y absorción de materia por las microalgas	6
2.3. Relación entre el $CO_2$ , $C_T$ y $H^+$	6
2.4. Transferencia de materia entre la fase gaseosa y la fase líquida	7
2.5. Flujos de calor	8
2.6. Balances de masa en la fase gaseosa	9
2.7. Balances de masa y energía en la fase líquida	10
<b>3. Diseño de la librería</b>	<b>12</b>
3.1. Dominios	12
3.2. Esquema de composición	12
3.3. Arquitectura de la librería	14
3.4. Conectores	15
3.5. Interfaces	15
3.6. Elementos atómicos, paquete <i>Basic</i>	15
3.6.1. Elementos atómicos de calor, paquete <i>Basic.Heat</i>	16
3.6.2. Elementos atómicos de líquido, paquete <i>Basic.Liquid</i>	18
3.6.3. Elementos atómicos de gas, paquete <i>Basic.Gas</i>	18
3.6.4. Elementos atómicos con biomasa, paquete <i>Basic.Biomass</i>	19
3.7. Colecciones de parámetros, paquete <i>Records</i>	23
3.8. Componentes físicos, paquete <i>Parts</i>	25
3.8.1. Componentes utilizados en el dominio gaseoso, paquete <i>Parts.Gas</i>	25
3.8.2. Componentes utilizados en el dominio líquido, paquete <i>Parts.Liquid</i>	25
3.8.3. Componentes relacionados con la biomasa, paquete <i>Parts.Biomass</i>	26
3.8.4. Intercambiador de calor, clase <i>HeatExchanger</i>	26
3.8.5. Columna de burbujeo, clase <i>Column</i>	26
3.8.6. Columna con intercambiador de calor, clase <i>Column_HeatExchanger</i>	27
3.8.7. Lazo de un fotobiorreactor cerrado, clase <i>Loop</i>	27
3.9. Sensores, paquete <i>Sensors</i>	28
<b>4. Ejemplo de uso</b>	<b>34</b>
<b>5. Resultados</b>	<b>39</b>
5.1. Tratamiento de datos	39
5.2. Entradas del sistema y perturbaciones	39
5.3. Salidas medibles y validación	41
5.4. Salidas no medibles	43
5.5. Eficiencia de la librería	45

<b>6. Conclusiones y líneas futuras de trabajo</b>	<b>47</b>
<b>Referencias</b>	<b>49</b>
<b>A. Parámetros y variables</b>	<b>50</b>
<b>B. Documentación</b>	<b>53</b>

## Índice de figuras

1.	Esquema de composición de clases . . . . .	13
2.	Algunas de las <i>partes</i> . . . . .	13
3.	Arquitectura de paquetes de la librería . . . . .	14
4.	Representación de los conectores . . . . .	15
5.	Ejemplos de interfaces . . . . .	15
6.	Icono de la clase <i>Environment</i> . . . . .	16
7.	Icono de la clase <i>HeatConvection</i> . . . . .	16
8.	Icono de la clase <i>HeatRadiation</i> . . . . .	17
9.	Diagrama de composición de <i>HeatConvRad</i> . . . . .	17
10.	Icono de la clase <i>HeatConvRad</i> . . . . .	17
11.	Icono de la clase <i>LiqCapacitor</i> . . . . .	18
12.	Icono de la clase <i>LiqResistor</i> . . . . .	18
13.	Icono de la clase <i>GasCapacitor</i> . . . . .	19
14.	Icono de la clase <i>GasResistor</i> . . . . .	19
15.	Icono de la clase <i>AlgaeSource</i> . . . . .	20
16.	Icono de la clase <i>BioCapacitor</i> . . . . .	20
17.	Icono de la clase <i>BioResistor</i> . . . . .	20
18.	Icono de la clase <i>LiqGasResistor_Partial</i> . . . . .	21
19.	Icono de la clase <i>LiqGasResistor_Column</i> . . . . .	21
20.	Icono de la clase <i>FlowRegulator_LiqFCons</i> . . . . .	22
21.	Diagrama de composición de <i>ColumnSection</i> . . . . .	23
22.	Icono de la clase <i>ColumnSection</i> . . . . .	23
23.	Diagrama de composición de <i>LoopSection</i> . . . . .	24
24.	Icono de la clase <i>LoopSection</i> . . . . .	24
25.	Icono de la clase <i>Algae</i> . . . . .	25
26.	Componentes en el paquete <i>Parts.Gas</i> . . . . .	25
27.	Componentes en el paquete <i>Parts.Liquid</i> . . . . .	26
28.	Componentes en el paquete <i>Parts.Biomass</i> . . . . .	26
29.	Diagrama de composición de <i>HeatExchanger</i> . . . . .	27
30.	Icono de la clase <i>HeatExchanger</i> . . . . .	27
31.	Diagrama de composición de <i>Column</i> . . . . .	28
32.	Icono de la clase <i>Column</i> . . . . .	28
33.	Diagrama de composición de <i>Column_HeatExchanger</i> . . . . .	29
34.	Icono de la clase <i>Column_HeatExchanger</i> . . . . .	29
35.	Diagrama de composición de <i>Loop</i> . . . . .	30
36.	Icono de la clase <i>Loop</i> . . . . .	30
37.	Icono de la clase <i>GasFlowSensor</i> . . . . .	30
38.	Icono de la clase <i>GasPotentialSensor</i> . . . . .	32
39.	Icono de la clase <i>LiqFlowSensor</i> . . . . .	32
40.	Icono de la clase <i>LiqPotentialSensor</i> . . . . .	32
41.	Icono de la clase <i>BioFlowSensor</i> . . . . .	32
42.	Icono de la clase <i>BioPotentialSensor</i> . . . . .	32
43.	Diagrama de composición de un fotobiorreactor cerrado . . . . .	35
44.	Cambio de un parámetro del modelo . . . . .	36
45.	Pasos para la modificación de parámetros . . . . .	37
46.	Diagrama de composición de <i>ClosedPhotobioreactor</i> . . . . .	38
47.	Evolución de la radiación solar . . . . .	40

48.	Temperaturas de entrada . . . . .	40
49.	Caudal de líquido en el interior del intercambiador de calor . . . . .	40
50.	Caudal del medio de cultivo . . . . .	41
51.	Caudal de inyección de aire en la columna de burbujeo . . . . .	41
52.	Caudal de inyección de $CO_2$ en el lazo . . . . .	42
53.	Concentración de $O_2$ disuelto a la entrada del lazo . . . . .	42
54.	Concentración de $O_2$ disuelto a la salida del lazo . . . . .	43
55.	pH a la entrada del lazo . . . . .	43
56.	pH a la salida del lazo . . . . .	43
57.	Temperatura del cultivo a la entrada del lazo . . . . .	44
58.	Temperatura del cultivo a la salida del lazo . . . . .	44
59.	Temperatura del líquido a la salida del intercambiador . . . . .	44
60.	Evolución de la concentración de biomasa . . . . .	45
61.	Fracción molar de $O_2$ en el gas de salida . . . . .	45
62.	Fracción molar de $CO_2$ en el gas de salida . . . . .	46

## Índice de tablas

1.	Variables de los conectores . . . . .	12
2.	Salidas de los sensores de gas . . . . .	31
3.	Salidas de los sensores de líquido . . . . .	31
4.	Salidas de los sensores de líquido y biomasa . . . . .	33
5.	Tiempos de simulación en función del algoritmo y la sensibilidad . . . . .	46
6.	Parámetros y variables . . . . .	50



# *PhotoBioLib*: una librería de *Modelica* para el modelado y simulación de fotobiorreactores

**Agustín Pérez Castro**

Máster en Ingeniería de Sistemas y Control

Escuela Técnica Superior de Ingeniería Informática

Universidad Nacional de Educación a Distancia

## Resumen

Este trabajo presenta la librería *PhotoBioLib*. Dicha librería, implementada en *Modelica*, permite el modelado y simulación de fotobiorreactores construyéndolos como si de sistemas reales se trataran, sin necesidad de conocimientos de programación ni de las dinámicas involucradas. Así, se obtienen como resultado modelos con gran parecido con la realidad, con gran potencial de configuración, con la posibilidad de interconexión con otras librerías y con grandes velocidades de simulación.

**Palabras clave:** Fotobiorreactores, Modelado, Simulación, Modelica, PhotoBioLib.

## 1. Introducción

Pese al creciente interés en fotobiorreactores, no existen ni métodos ni software específico para su modelado [16]. La complejidad de modelado e identificación de parámetros, las dificultades en la sensorización de sistemas biológicos y la variedad de configuraciones de fotobiorreactores son, en parte, los causantes de que no existan herramientas específicas para el modelado y simulación de estos sistemas, y que tampoco, dentro de los entornos de modelado y simulación genéricos, existan librerías que hagan referencia específica a los fotobiorreactores.

Es por lo anterior que se ha diseñado la librería *PhotoBioLib* en el lenguaje *Modelica*.

En la presente sección se hace referencia al estado del arte en el modelado y simulación de fotobiorreactores, y se enumeran las principales características del lenguaje de modelado *Modelica* y del entorno *Dymola*. En la Sección 2 se exponen brevemente los fenómenos modelados y las ecuaciones que los describen. Más adelante, en la Sección 3, se habla del diseño de la librería desde la perspectiva de los dominios considerados, su esquema de composición y su arquitectura de paquetes. Los resultados obtenidos con el uso de la librería son presentados en la Sección 5. Por último, las virtudes de la librería implementada junto a las posibles mejoras a implementar se enumeran en la Sección 6.

### 1.1. Estado del arte de la simulación de fotobiorreactores

En la bibliografía referida a fotobiorreactores, solo se pueden encontrar aplicaciones desarrolladas desde cero, sin el apoyo de librerías específicas; o el uso de programas de modelado

y simulación, más o menos genéricos, para modelar y simular algunos aspectos parciales, como pueden ser dinámicas de fluidos o transferencias de calor. Se enumeran a continuación, algunas de las aplicaciones utilizadas en la bibliografía, explicando brevemente en qué tipo de trabajos se utilizan y con qué objetivo específico.

**Aspen Plus.** Es un entorno de modelado de procesos para el diseño conceptual, optimización y supervisión del rendimiento para las industrias químicas, de polímeros, de productos químicos especializados, de metales y minerales, e industrias energéticas basadas en carbón [1]. Esta aplicación se usa por ejemplo en [11], donde se hace un estudio de la viabilidad económica de un fotobiorreactor abierto y otro cerrado. En este artículo se utiliza Aspen Plus para modelar un balance de masa y energía.

**COMSOL Multiphysics.** Es un entorno de simulación que facilita todo los pasos en el proceso de modelado - definiendo su geometría, mallado, especificando su física, resolviendo, y visualizando los resultados [2]. En [17], donde se presenta un fotobiorreactor vertical diseñado para la producción de oxígeno a escala de laboratorio, se utiliza *COMSOL Multiphysics* para examinar las propiedades de transferencia de calor.

**Labview.** Haciendo uso de *Labview* [3], en [15] con el objetivo de evaluar el potencial de generación de biomasa y la captura de  $CO_2$ , teniendo en cuenta distintos tipos de especies de algas, tipos de fotobiorreactores, y localizaciones de instalación, se desarrolla la herramienta *EvAlgae*.

**ANSYS Fluent.** Este software posee las capacidades de modelado físico necesarias para modelar flujos, turbulencias, transferencias de calor y reacciones [4]. En [19] se utiliza esta herramienta para realizar una simulación numérica del rendimiento de la agitación, el historial de la intensidad de luz recibida por las algas y los patrones de fluido dentro de distintos tipos de diseños de fotobiorreactores.

**Matlab/Simulink.** *Matlab* es un lenguaje de alto nivel y un entorno interactivo para el cálculo numérico, la visualización y la programación, mientras que *Simulink* es un entorno de diagramas de bloque para la simulación multidominio y el diseño basado en modelos [5]. Haciendo uso de las herramientas anteriores como un simple entorno de programación, modelado y simulación, en [12], se implementa, simula, calibra y valida un modelo dinámico para el cultivo de microalgas, el cual tiene en cuenta la transferencia de materia y energía, y los fenómenos biológicos.

**MeteoNorm.** A través de la interpolación de datos de distintas bases meteorológicas proporciona cálculos de radiación solar, temperatura y otros parámetros meteorológicos en cualquier lugar del mundo [6]. Así esta herramienta es utilizada para generar los datos meteorológicos necesarios para en [13] realizar simulaciones y desarrollar un modelo de temperatura de un fotobiorreactor plano cerrado que permita investigar los parámetros relevantes que influyen en el comportamiento térmico del mismo.

**SuperPro Designer.** Este software facilita el modelado, evaluación y optimización de procesos integrados en una amplia gama de industrias (farmacéutica, biotecnología, tratamiento de aguas residuales, control de la polución del aire, etc.) [7]. En [14] se utiliza *SuperPro Designer* para modelar un proceso de captura de  $CO_2$ , considerando el crecimiento y la separación de la biomasa, además de la separación del aceite. Todo lo anterior con el objetivo de desarrollar una tecnología sostenible a escala piloto para la captura, a través de microalgas, de los gases de combustión de una central eléctrica para la producción de biodiesel.

**Tracepro.** Es una herramienta para el modelado de la propagación de la luz en sistemas opto-mecánicos [8]. De esta forma este software se utiliza para diseñar un placa de luz optima donde, basandose en una patente de colectores solares, se utilizan cables de fibra óptica para distribuir la luz a través del fotobiorreactor [18].

También se pueden encontrar en la bibliografía artículos donde se usan combinaciones de las herramientas anteriores. Por ejemplo, en [9] se hace uso de *COMSOL Multiphysics* y de *Aspen Plus* para estudiar la dinámica de fluidos y el consumo de  $CO_2$  dentro de un fotobiorreactor helicoidal.

## 1.2. *Modelica*

*Modelica* es un lenguaje de modelado orientado a objetos que facilita el modelado y simulación de sistemas físicos. *Dymola* es una herramienta que implementa dicho lenguaje, quizás la más importante de las que usan el lenguaje *Modelica*. *Dymola* tiene licencia comercial, pero también se puede hacer uso de herramientas libres y gratuitas como son el caso de *OpenModelica* o *JModelica*.

Las características más importantes de *Modelica* son:

- Descripción acausal de modelos, es decir, basada en ecuaciones. La asignación de causalidad queda en manos del entorno.
- Posibilidad del uso de algoritmos. Estos permiten la descripción de modelos con asignación manual de causalidad así como el uso de funciones.
- Características inherentes a un lenguaje orientado a objetos, como son: abstracción, encapsulamiento, modularidad, principio de ocultación, polimorfismo y herencia múltiple.
- Uso de anotaciones para la descripción gráfica de los distintos elementos así como la posibilidad de documentación en formato html.
- Posibilidad de implementación de modelos híbridos, es decir, con parte continua y partes discretas, así como el uso de eventos, ya sean de tiempo o de estado.

En lo que respecta al entorno de simulación *Dymola*, se pueden destacar las siguientes características:

- Simulación eficiente de modelos. Además de las manipulaciones simbólicas de los modelos estos son traducidos y compilados en C, lo cual permite una mayor eficiencia que otros entornos que usan lenguajes interpretados.
- Mejoras en los algoritmos de manipulación simbólica y de integración sobre otras herramientas.
- Representación de resultados, tanto con la representación en gráficas de datos como con una herramienta de representación de simulaciones tridimensional.

## 2. Hipótesis de modelado

En esta sección se describen los fenómenos modelados así como las ecuaciones utilizadas. Las ecuaciones que se utilizan en la librería están inspiradas en las que se presentan en [10] y [12]. El modelado está basado en balances de materia y energía, fenómenos biológicos y en ciertas condiciones de equilibrio que se han de cumplir. Pese a que los modelos propuestos en la bibliografía utilizada, [10, 12], son continuos, con el objeto de hacer modelos más fieles a la realidad y de evitar problemas numéricos, tales como indeterminaciones, se van a plantear pequeños cambios que consideren eventos discretos, por lo que se plantea un modelado híbrido.

### 2.1. Tasa fotosintética

Las ecuaciones de esta subsección describen la radiación media que alcanza el cultivo y la producción de biomasa,  $O_2$  disuelto y  $CO_2$  disuelto en el líquido, como consecuencia de la actividad de las algas.

Tal y como se muestra en la ecuación (1), la radiación media en un punto de un fotobiorreactor,  $I_{av}(t)$ , vendrá determinada por la radiación solar en la superficie horizontal sin obstáculos,  $I_0(t)$ ; la trayectoria de la luz,  $d_t$ ; la concentración de biomasa,  $C_b(t)$ ; el coeficiente de extinción de biomasa,  $K_a$ ; y el factor de distribución,  $\alpha$ , que representa la fracción de radiación disponible en un área particular del reactor [12].

$$I_{av}(t) = \frac{\alpha I_0(t)}{K_a d_t C_b(t)} (1 - \exp(-K_a d_t C_b(t))) \quad (1)$$

Para el modelado de la producción de  $O_2$  y  $CO_2$  por las microalgas, se seguirán las ecuaciones y parámetros definidos por [10].

En la ecuación (2) se describe como afecta la radiación,  $I_{av}(t)$ , a la producción de  $O_2$ . Dicha producción de  $O_2$ ,  $P_{O_2}[I_{av}](t)$ , vendrá determinada por la tasa máxima de fotosíntesis,  $P_{O_2,max}$ ; los parámetros de forma  $m$  y  $K_i$ ; y por el exponente de forma  $n$ .

$$P_{O_2}[I_{av}](t) = \frac{P_{O_2,max} I_{av}(t)^n}{K_i \exp(I_{av}(t)m) + I_{av}(t)^n} \quad (2)$$

Basandose en el modelo de Arrhenius, la ecuación (3) modela la tasa de fotosíntesis normalizada en función de la temperatura. Donde,  $A_1$  y  $A_2$  son factores preexponenciales;  $Ea_1$  y  $Ea_2$  son las energías de activación; la temperatura es representada por  $T(t)$ ; y  $R$  es la constante universal de los gases ideales.

$$\overline{P_{O_2}[T](t)} = \left( A_1 \exp\left(\frac{-Ea_1}{R T(t)}\right) - A_2 \exp\left(\frac{-Ea_2}{R T(t)}\right) \right) \quad (3)$$

Tal y como exponen los autores de [10] la influencia del pH en la tasa de fotosíntesis es similar a la observada para la temperatura. Es por esto que para el modelado de la tasa fotosintética normalizada en función del pH se usa un modelo similar al de Arrhenius. En la ecuación (4),  $B_1$  y

$B_2$  son factores preexponenciales;  $C_1$  y  $C_2$  son las energías de activación; y el pH es representado por  $pH(t)$

$$\overline{P_{O_2}[pH]}(t) = \left( B_1 \exp\left(\frac{-C_1}{pH(t)}\right) - B_2 \exp\left(\frac{-C_2}{pH(t)}\right) \right) \quad (4)$$

Una alta concentración de oxígeno reduce la tasa de fotosíntesis y favorece la fotorespiración de los cultivos [10]. Para el modelado de la influencia del  $O_2$  disuelto en el cultivo,  $P_{O_2}[O_2](t)$ , se propone la ecuación de potencial (5), donde;  $K_{O_2}$  es la constante de inhibición del oxígeno,  $z$  es un parámetro de forma, y la concentración de  $O_2$  disuelto es representada por  $O_2(t)$ .

$$\overline{P_{O_2}[O_2]}(t) = \left( 1 - \left( \frac{O_2(t)}{K_{O_2}} \right)^z \right) \quad (5)$$

En los experimentos realizados para la obtención de las ecuaciones (1)-(5) y su calibración se ha observado que cada variable es independiente del resto [10]. Por tanto, la tasa fotosintética puede ser modelada como la combinación de las ecuaciones anteriormente descritas, ecuaciones (6) y (7).

$$P_{O_2}[I_{av}, T, pH, O_2](t) = P_{O_2}[I_{av}](t) \overline{P_{O_2}[T]}(t) \overline{P_{O_2}[pH]}(t) \overline{P_{O_2}[O_2]}(t) \quad (6)$$

$$P_{O_2}(t) = \frac{P_{O_2,max} I_{av}(t)^n}{K_i \exp(I_{av}(t)m) + I_{av}(t)^n} \left( A_1 \exp\left(\frac{-E_{a1}}{R T(t)}\right) - A_2 \exp\left(\frac{-E_{a2}}{R T(t)}\right) \right) \quad (7)$$

$$\left( B_1 \exp\left(\frac{-C_1}{pH(t)}\right) - B_2 \exp\left(\frac{-C_2}{pH(t)}\right) \right) \left( 1 - \left( \frac{O_2(t)}{K_{O_2}} \right)^z \right)$$

En [12] se modela la respiración del cultivo en función de la tasa máxima de fotosíntesis y de la tasa de respiración  $r$ . Con esto, el modelo completo de la producción de  $O_2$  queda representado por la ecuación (8). Además, se considera que la producción de  $CO_2$  será la inversa de la de  $O_2$ , ecuación (9).

$$P_{O_2}(t) = \frac{P_{O_2,max} I_{av}(t)^n}{K_i \exp(I_{av}(t)m) + I_{av}(t)^n} \left( A_1 \exp\left(\frac{-E_{a1}}{R T(t)}\right) - A_2 \exp\left(\frac{-E_{a2}}{R T(t)}\right) \right) \quad (8)$$

$$\left( B_1 \exp\left(\frac{-C_1}{pH(t)}\right) - B_2 \exp\left(\frac{-C_2}{pH(t)}\right) \right) \left( 1 - \left( \frac{O_2(t)}{K_{O_2}} \right)^z \right) - r P_{O_2,max} \quad (9)$$

$$P_{CO_2}(t) = -P_{O_2}(t)$$

Hay que considerar en el modelado aquellos eventos discretos que produzcan discontinuidades, cambios en la dinámica o problemas numéricos. En el caso de la tasa fotosintética hay que tener en cuenta la existencia o no de radiación, es decir, si es de noche o de día. Por este motivo se incluye la variable booleana  $eRad(t)$ , la cual tomará el valor *true* en el día y el valor *false* durante la noche, ecuación (10). Así, el cálculo de  $P_{O_2}(t)$  queda como se muestra en la ecuación (11).

$$eRad(t) = \begin{cases} true & si I_0(t) > 0 \\ false & si I_0(t) \leq 0 \end{cases} \quad (10)$$

$$P_{O_2}(t) = \begin{cases} Eq.(8) & si eRad(t) = true \\ -r P_{O_2,max} & si eRad(t) = false \end{cases} \quad (11)$$

## 2.2. Generación y absorción de materia por las microalgas

En función de la tasa fotosintética modelada en la sección anterior, las microalgas generaran nueva biomasa a partir de las moléculas de  $CO_2$  disueltas en el medio, liberando a su vez moléculas de  $O_2$ . Dicha producción de biomasa, así como el flujo de  $O_2$  y  $CO_2$ , vendrá determinada por las ecuaciones (12), (13) y (14) respectivamente. Donde,  $Y_{bo}$  es el coeficiente de rendimiento de biomasa,  $M_{O_2}$  es el peso molecular del  $O_2$ , y  $M_{CO_2}$  es el peso molecular del  $CO_2$ .

$$fC_{b,f}(t) = V_l(t)P_{O_2}(t)Y_{bo} \quad (12)$$

$$fO_{2,f}(t) = \frac{P_{O_2}(t)}{M_{O_2}}C_b(t) \quad (13)$$

$$fCO_{2,f}(t) = \frac{P_{CO_2}(t)}{M_{CO_2}}C_b(t) \quad (14)$$

## 2.3. Relación entre el $CO_2$ , $C_T$ y $H^+$

El carbono inorgánico total,  $C_T$ , es la suma de las distintas especies de carbono inorgánico, ecuación (15). Por tanto, considerando las constantes de equilibrio  $K_w$ ,  $K_1$  y  $K_2$ , descritas en las ecuaciones (16), (17) y (18), se puede establecer una relación entre la variación de la concentración de  $C_T(t)$  y la concentración de  $CO_2(t)$ , tal y como se muestra en la ecuación (19).

$$C_T(t) = CO_2(t) + HCO_3^-(t) + CO_3^{2-}(t) \quad (15)$$

$$K_w = OH^-(t) H^+(t) \quad (16)$$

$$K_1 = \frac{HCO_3^-(t) H^+(t)}{CO_2(t)} \quad (17)$$

$$K_2 = \frac{CO_3^{2-}(t) H^+(t)}{HCO_3^-(t)} \quad (18)$$

$$\frac{dC_T(t)}{dt} = \left(1 + \frac{K_1}{H^+(t)} + \frac{K_1K_2}{H^+(t)^2}\right) \frac{dCO_2(t)}{dt} - CO_2(t) \left(\frac{K_1}{H^+(t)^2} + \frac{2K_1K_2}{H^+(t)^3}\right) \frac{dH^+(t)}{dt} \quad (19)$$

En lo que se refiere a la relación entre la concentración de  $CO_2(t)$  y la concentración de  $H^+(t)$ , se ha de cumplir la restricción de electroneutralidad expresada en la ecuación (20). Si se consideran concentraciones constantes de cationes y aniones, se llega a la relación que se muestra en la ecuación (21). En la ecuación (22) se muestra el cálculo del  $pH(t)$

$$\frac{dH^+(t)}{dt} + \frac{dCat^+(t)}{dt} = \frac{dOH^-(t)}{dt} + \frac{dHCO_3^-(t)}{dt} + 2\frac{dCO_3^{2-}(t)}{dt} + \frac{dAn^-(t)}{dt} \quad (20)$$

$$\frac{dH^+(t)}{dt} = \frac{\frac{K_1}{H^+(t)} + \frac{2K_1K_2}{H^+(t)^2}}{1 + \frac{K_w}{H^+(t)^2} + \frac{K_1CO_2(t)}{H^+(t)^2} + 4\frac{2K_1K_2}{H^+(t)^3}} \frac{dCO_2(t)}{dt} \quad (21)$$

$$pH(t) = -\log_{10}(H^+(t)) \quad (22)$$

## 2.4. Transferencia de materia entre la fase gaseosa y la fase líquida

En el cultivo se produce una transferencia de materia entre la fase gaseosa y la fase líquida. No obstante, esta transferencia solo se modela para el  $O_2$  y al  $CO_2$ , la transferencia de  $N_2$  no se considera al no ser soluble en agua. Así, en las ecuaciones (23) y (24) se muestran dichas transferencias en función del volumen de líquido,  $V_l(t)$ ; de los coeficientes de transferencia de masa volumétrico para el  $O_2$  y el  $CO_2$ ,  $K_{laO_2}(t)$  y  $K_{laCO_2}(t)$ ; y de la concentración en equilibrio de  $O_2$  y  $CO_2$  en la fase gaseosa,  $O_2^*(t)$  y  $CO_2^*(t)$ .

$$fO_{2,gl}(t) = V_l(t)K_{laO_2}(t)(O_2^*(t) - O_2(t)) \quad (23)$$

$$fCO_{2,gl}(t) = V_l(t)K_{laCO_2}(t)(CO_2^*(t) - CO_2(t)) \quad (24)$$

Las concentraciones en equilibrio, ecuaciones (25) y (26), van en función de la constante de Henry para el  $O_2$  y el  $CO_2$ ,  $H_{O_2}$  y  $H_{CO_2}$ ; de la presión en el líquido,  $P_t$ ; y de las fracciones molares del  $O_2$  y el  $CO_2$ ,  $y_{O_2}(t)$  y  $y_{CO_2}(t)$ . Dichas fracciones molares, representadas en las ecuaciones (27)-(30), son calculadas a partir de la concentración de los distintos componentes del gas;  $O_{2g}(t)$ ,  $CO_{2g}(t)$  y  $N_{2g}(t)$ .

$$O_2^*(t) = H_{O_2}P_t y_{O_2}(t) \quad (25)$$

$$CO_2^*(t) = H_{CO_2}P_t y_{CO_2}(t) \quad (26)$$

$$y_{O_2}(t) = \frac{O_{2g}(t)}{O_{2g}(t) + CO_{2g}(t) + N_{2g}(t)} \quad (27)$$

$$y_{CO_2}(t) = \frac{CO_{2g}(t)}{O_{2g}(t) + CO_{2g}(t) + N_{2g}(t)} \quad (28)$$

$$y_{N_2}(t) = \frac{N_{2g}(t)}{O_{2g}(t) + CO_{2g}(t) + N_{2g}(t)} \quad (29)$$

$$y_{O_2}(t) + y_{CO_2}(t) + y_{N_2}(t) = 1 \quad (30)$$

En las ecuaciones (31) y (32) se representa el calculo de los coeficientes de transferencia de masa volumétrico para el  $O_2$  y el  $CO_2$ ,  $K_{laO_2}(t)$  y  $K_{laCO_2}(t)$ , en función de los parámetros de forma  $a$  y  $b$ ; del coeficiente de transferencia para el  $CO_2$ ,  $KCO_2$ ; y del *hold-up*,  $\epsilon(t)$ .

$$K_{laO_2}(t) = a \epsilon(t)^b \quad (31)$$

$$K_{laCO_2}(t) = K_{laO_2}(t)KCO_2 \quad (32)$$

El cálculo del  $\epsilon(t)$  será diferente en función del tipo de componente que se este modelando. Esto es debido a que no en todos los fotobiorreactores ni en todas sus partes el gas interactúa de la misma forma con el líquido. Por ejemplo, mientras que en la columna de burbujeo de un fotobiorreactor cerrado el gas y el líquido tienen un sentido de desplazamiento opuesto, en el lazo del mismo fotobiorreactor el sentido de movimiento es el mismo. Las dos formas que se usarán para el cálculo del  $\epsilon(t)$  en este trabajo son las que se muestran en las ecuaciones (33) y (34). En las ecuaciones anteriormente descritas  $U_g(t)$  y  $U_l(t)$  son las velocidades superficiales del gas y el líquido,  $C_0$  es un parámetro del modelo de deriva de flujo, y  $U_\infty$  es la tasa de ascensión de las burbujas. En el caso concreto de un fotobiorreactor cerrado, la ecuación (33) sería la utilizada en el lazo y la ecuación (34) la utilizada en la columna de burbujeo.

$$\epsilon(t) = \frac{V_g(t)}{V_l(t)V_g(t)} \quad (33)$$

$$\epsilon(t) = \frac{U_g(t)}{C_0U_g(t) + U_l(t) + U_\infty} \quad (34)$$

La transferencia de materia dependerá de la existencia de gas, representada por la variable booleana  $eGas(t)$ , ecuación (35). Por tanto, cuando  $eGas(t) = false$ , no se producirá transferencia de materia y las ecuaciones anteriores de la presente sección serán nulas.

$$eGas(t) = \begin{cases} true & si V_g(t) > 0 \\ false & si V_g(t) \leq 0 \end{cases} \quad (35)$$

## 2.5. Flujos de calor

En cualquier fotobiorreactor se producirán flujos de calor desde/hacia distintos orígenes/destinos y mediante distintos mecanismos. Los mecanismos considerados serán tres: convección, radiación y transferencia de calor por medio de transferencia de materia. En lo que respecta a los orígenes/destinos estos serán la radiación solar, la temperatura ambiente, intercambiadores de calor y la adición/substracción de medio de cultivo. Este último mecanismo dependerá del flujo de volumen,  $Q_l(t)$ ; de la temperatura del flujo,  $T(t)$ ; y de su capacidad calorífica volumétrica,  $C_v$ ; tal y como se muestra en la ecuación (36).

$$fQ_m(t) = Q_l(t)C_vT(t) \quad (36)$$

Las transferencias de calor por convección vendrán determinadas por ecuaciones de la forma de la ecuación (37), donde:  $h$  es el coeficiente de transmisión,  $S_{conv}$  es la superficie de contacto, y las temperaturas de los elementos que entran en contacto son  $T_1(t)$  y  $T_2(t)$ .

$$fQ_c(t) = hS_{conv}(T_1(t) - T_2(t)) \quad (37)$$

En lo que refiere a la transferencia por radiación, ésta vendrá marcada por la ecuación (38). En dicha ecuación se considera la radiación solar,  $I_c(t)$ ; la superficie que recibe dicha radiación,  $S_{rad}$ ; y la absorptividad de la radiación solar  $aR$ ; así como el factor de distribución,  $\alpha$ .

$$fQ_r(t) = \alpha I_c(t)S_{rad} aR \quad (38)$$

## 2.6. Balances de masa en la fase gaseosa

Como ya se ha comentado, la fase gaseosa considera tres concentraciones  $O_{2g}(t)$ ,  $CO_{2g}(t)$  y  $N_{2g}(t)$ , dichas concentraciones son calculadas como el cociente de los moles totales de cada componente,  $O_{2gt}(t)$ ,  $CO_{2gt}(t)$  y  $N_{2gt}(t)$ , y el volumen total de gas  $V_g(t)$ , ver ecuaciones (39), (40) y (41).

$$O_{2g}(t) = \begin{cases} \frac{O_{2gt}(t)}{V_g(t)} & \text{si } eGas(t) = true \\ 0 & \text{si } eGas(t) = false \end{cases} \quad (39)$$

$$CO_{2g}(t) = \begin{cases} \frac{CO_{2gt}(t)}{V_g(t)} & \text{si } eGas(t) = true \\ 0 & \text{si } eGas(t) = false \end{cases} \quad (40)$$

$$N_{2g}(t) = \begin{cases} \frac{N_{2gt}(t)}{V_g(t)} & \text{si } eGas(t) = true \\ 0 & \text{si } eGas(t) = false \end{cases} \quad (41)$$

Por otro lado, el flujo de materia que provoca un transporte de gas con un caudal  $Q_g(t)$ , se describe en las ecuaciones (42), (43) y (44).

$$fO_{2g,m}(t) = Q_g(t)O_{2g}(t) \quad (42)$$

$$fCO_{2g,m}(t) = Q_g(t)CO_{2g}(t) \quad (43)$$

$$fN_{2g,m}(t) = Q_g(t)N_{2g}(t) \quad (44)$$

Por tanto, el balance de masa en la fase gaseosa quedará como se plantea en las ecuaciones (45)-(48). Hay que destacar, que en las ecuaciones mencionadas únicamente se muestran el tipo de elementos, pero en función de la configuración del fotobiorreactor y de la pieza que se este modelando, dichos elementos podrán estar ausentes o bien pueden aparecer más de una vez.

$$\frac{dV_g(t)}{dt} = Q_g(t) \quad (45)$$

$$\frac{dO_{2gt}(t)}{dt} = fO_{2g,m}(t) - fO_{2,gl}(t) \quad (46)$$

$$\frac{dCO_{2gt}(t)}{dt} = fCO_{2g,m}(t) - fCO_{2,gl}(t) \quad (47)$$

$$\frac{dN_{2gt}(t)}{dt} = fN_{2g,m}(t) \quad (48)$$

## 2.7. Balances de masa y energía en la fase líquida

La fase líquida considera las concentraciones  $O_2(t)$ ,  $C_T(t)$ ,  $C_b(t)$ ,  $CO_2(t)$  y  $H^+(t)$ . Las dos últimas son calculadas a partir de las ecuaciones (19) y (21), el resto se calculan a partir de las ecuaciones (50), (51) y (52) como el cociente entre los moles o kilogramos de cada componente;  $O_{2t}(t)$ ,  $C_{Tt}(t)$  y  $C_{bt}(t)$ ; y el volumen total de líquido,  $V_l(t)$ . La temperatura,  $T(t)$ , se calcula de forma similar a partir de la cantidad total de calor,  $Q_t(t)$ , en la ecuación (53). Al igual que ocurre en la fase gaseosa el cálculo de las concentraciones depende de la existencia de líquido, ver ecuación (49).

$$eLiq(t) = \begin{cases} true & si V_l(t) > 0 \\ false & si V_l(t) \leq 0 \end{cases} \quad (49)$$

$$O_2(t) = \begin{cases} \frac{O_{2t}(t)}{V_l(t)} & si eLiq(t) = true \\ 0 & si eLiq(t) = false \end{cases} \quad (50)$$

$$C_T(t) = \begin{cases} \frac{C_{Tt}(t)}{V_l(t)} & si eLiq(t) = true \\ 0 & si eLiq(t) = false \end{cases} \quad (51)$$

$$C_b(t) = \begin{cases} \frac{C_{bt}(t)}{V_l(t)} & si eLiq(t) = true \\ 0 & si eLiq(t) = false \end{cases} \quad (52)$$

$$T(t) = \begin{cases} \frac{Q_t(t)}{V_l(t)C_v} & si eLiq(t) = true \\ 0 & si eLiq(t) = false \end{cases} \quad (53)$$

Los flujos de materia que se producen como consecuencia del transporte de líquido con un caudal  $Q_l(t)$  se muestran en las ecuaciones (54), (55) y (56). El flujo de energía calorífica como consecuencia del flujo de materia, líquido, ya fue expuesto anteriormente en la ecuación (36)

$$fO_{2,m}(t) = Q_l(t)O_2(t) \quad (54)$$

$$fC_{T,m}(t) = Q_l(t)C_T(t) \quad (55)$$

$$fC_{b,m}(t) = Q_l(t)C_b(t) \quad (56)$$

Así, el balance de masa y energía en la fase líquida quedará como se plantea en las ecuaciones (57)-(61). Igual que ocurría en la fase gaseosa, los elementos de las ecuaciones podrán estar ausentes o bien pueden aparecer más de una vez en función de la parte del fotobiorreactor que se este modelando y de la configuración del mismo.

$$\frac{dV_l(t)}{dt} = Q_l(t) \quad (57)$$

$$\frac{dO_{2t}(t)}{dt} = fO_{2,m}(t) + fO_{2,gl}(t) + fO_{2,f}(t) \quad (58)$$

$$\frac{dC_{Tt}(t)}{dt} = fC_{T,m}(t) + fCO_{2,gl}(t) + fCO_{2,f}(t) \quad (59)$$

$$\frac{dC_{bt}(t)}{dt} = fC_{b,m}(t) + fC_{b,gl}(t) + fC_{b,f}(t) \quad (60)$$

$$\frac{dQ_t(t)}{dt} = fQ_m(t) + fQ_c(t) + fQ_r(t) \quad (61)$$

### 3. Diseño de la librería

El diseño de la librería se puede describir desde tres perspectivas: los dominios implementados, el esquema de composición de clases y la arquitectura de paquetes.

#### 3.1. Dominios

Se han considerado cuatro dominios, gas, *Gas*; líquido, *Liq*; calor, *Heat*; y líquido con biomasa, *Bio*. Por tanto, los conectores, las interfaces, las clases básicas y algunas de las partes son descritas en función de estos. Además, unos dominios engloban a otros, lo cual se traduce en relaciones de herencia que hacen que las variables de unos estén presentes en otros. Así, el dominio *Heat* está incluido en el dominio *Liq* y éste está incluido en el dominio *Bio*. Esto queda bien representado en los conectores diseñados, cuyas parejas de variables de potencial y de flujo, variables *across* y *through*, se muestran en la Tabla 1.

Tabla 1: Variables de los conectores

Conector	Variable <i>across</i>	Variable <i>through</i>
<i>GasCon</i>	Volumen de gas - $V_g [m^3]$	Caudal de gas - $fV_g [m^3 s^{-1}]$
	Concentración de $O_2$ - $O_{2g} [mol m^{-3}]$	Flujo de $O_2$ - $fO_{2g} [mol s^{-1}]$
	Concentración de $CO_2$ - $CO_{2g} [mol m^{-3}]$	Flujo de $CO_2$ - $fCO_{2g} [mol s^{-1}]$
	Concentración de $N_2$ - $N_{2g} [mol m^{-3}]$	Flujo de $N_2$ - $fN_{2g} [mol s^{-1}]$
<i>HeatCon</i>	Temperatura - $T [K]$	Flujo de calor - $fQ [J s^{-1}]$
<i>LiqCon</i>		
<i>BioCon</i>		
<i>LiqCon</i>	Volumen de líquido - $V_l [m^3]$	Caudal de líquido - $fV_l [m^3 s^{-1}]$
<i>BioCon</i>		
<i>BioCon</i>	Concentración de biomasa - $C_b [Kg m^{-3}]$	Flujo de biomasa - $fC_b [Kg s^{-1}]$
	Concentración de $O_2$ - $O_2 [mol m^{-3}]$	Flujo de $O_2$ - $fO_2 [mol s^{-1}]$
	Concentración de $CO_2$ - $CO_2 [mol m^{-3}]$	Flujo de $CO_2$ - $fCO_2 [mol s^{-1}]$
	Concentración de $C_T$ - $C_T [mol m^{-3}]$	Flujo de $C_T$ - $fC_T [mol s^{-1}]$
	Concentración de $H^+$ - $H^+ [mol m^{-3}]$	Flujo de $H^+$ - $fH^+ [mol s^{-1}]$

#### 3.2. Esquema de composición

El esquema de composición de clases, representado en la Figura 1, se divide en cuatro niveles.

En el nivel 0 encontramos los *conectores* y las *interfaces* creadas a través de los mismos; estas interfaces serán las que describan las conexiones con el exterior de cada una de las clases. Además, en este nivel se sitúan también las representaciones gráficas, *iconos*, y las *ecuaciones* que describen la dinámica de cada clase.

A través de la composición de un conjunto de ecuaciones, una interfaz para la transferencia de información y un icono para su descripción gráfica, se crean cada una de las clases *básicas*.

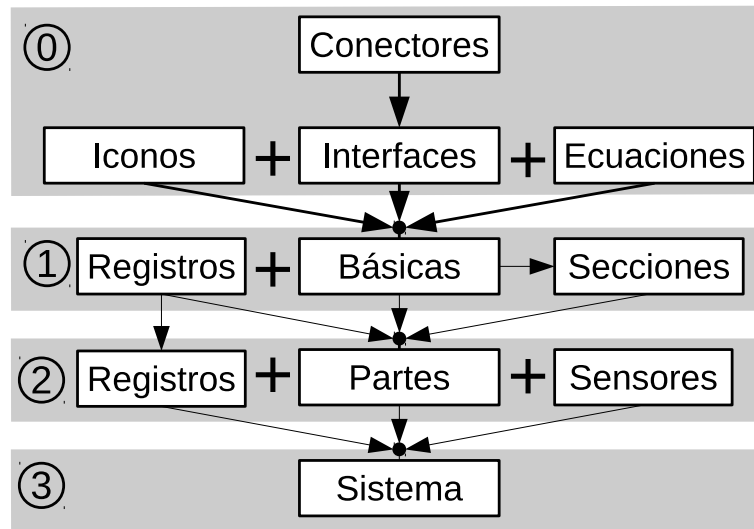


Figura 1: Esquema de composición de clases

Estas clases serán las que marquen los volúmenes de control y los fenómenos de transporte, lo cual queda reflejado en sus iconos, como se puede ver en la Sección 3.6. Dichas clases básicas se encuentran en el nivel 1 junto a las *secciones*, clases compuestas a partir de clases básicas pero que no tienen entidad por si mismas para considerarse partes; y los *registros*, conjuntos de parámetros y constantes. En la Sección 3.6.4 se muestra la composición de una sección.

Para la composición de las *partes* se hará uso de clases básicas, secciones y otras partes, como se muestra en la Sección 3.8. Además, para la configuración de los parámetros se hará uso de conjuntos de registros, los cuales a su vez pueden estar compuestos por conjuntos de registros del nivel anterior. Todo esto, junto a los *sensores*, formará el nivel 2 del esquema de composición. En la Figura 2 se muestran algunas de las partes implementadas.

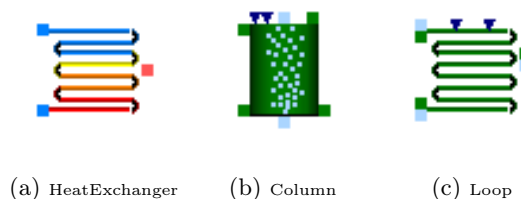


Figura 2: Algunas de las *partes*

Por último, en el nivel 3 del esquema de composición se encuentran las clases que, a partir de la unión de distintas partes, el uso de sensores para la medición de potenciales y flujos, y su configuración con conjuntos de registros, forman sistemas completos equiparables a fotobiorreactores reales. Como ejemplo de sistema completo se ha construido el fotobiorreactor cerrado que se muestra en la Sección 4.

### 3.3. Arquitectura de la librería

A continuación se expone, de forma resumida, el contenido de cada uno de los paquetes principales, ver Figura 3.

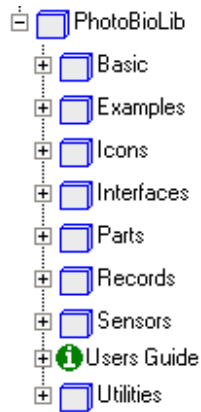


Figura 3: Arquitectura de paquetes de la librería

- *Basic*: Este paquete contiene los elementos básicos.
- *Examples*: Será el paquete objeto a contener los ejemplos de fotobiorreactores que se diseñen haciendo uso de los componentes de la librería, es decir, los sistemas completos como el de la Figura 46.
- *Icons*: Contiene las descripciones gráficas de cada uno de los modelos.
- *Interfaces*: Aquí se encuentran los conectores diseñados, así como el conjunto de modelos parciales que describen las interfaces.
- *Parts*: Dentro de este paquete se encuentran los modelos que más se asimilaran a los componentes físicos reales, es decir, la columna, el lazo, las bombas, los depósitos, etc.
- *Records*: Es donde se almacenan los registros, es decir, clases tipo *record* que contienen las constantes, parámetros y valores iniciales de las clases básicas y las partes.
- *Sensors*: En este paquete se almacenan los componentes que tienen un comportamiento similar al que tendrían los sensores físicos. Se separan del paquete *Parts* porque, a diferencia de estos, no van a modificar el comportamiento dinámico del sistema que se modele, sino que serán una herramienta para extraer información, ya sea para un registro de datos más claro o para el uso en los posibles bucles de control.
- *Users Guide*: Paquete de documentación que contendrá la información más relevante sobre la librería.
- *Utilities*: Clases que servirán como herramientas para la simulación, como por ejemplo para la lectura de ficheros o tratamiento de datos de entrada.

En las próximas secciones se habla de las clases más relevantes que forman la librería.

### 3.4. Conectores

Se han definido una serie de conectores que permitirán la unión de los distintos elementos del sistema. Como ya se ha comentado, dichos conectores se encuentran en el paquete *Interfaces*. En la Tabla 1 se muestran sus variables separadas en variables de potencial y de flujo. Las variables de potencial, variables *across*, serán igualadas en el punto de conexión. Las variables de flujo, variables *through*, sumaran cero en el punto de conexión. En la Figura 4 se muestra la representación gráfica de los distintos conectores implementados

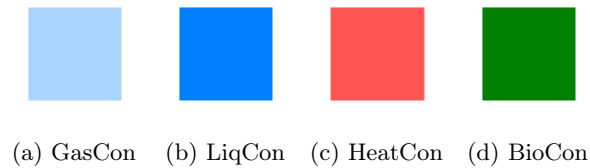


Figura 4: Representación de los conectores

### 3.5. Interfaces

Como se comentó en la Sección 3.2, con el fin de aprovechar las características que ofrece el modelado orientado a objetos, cada una de las clases estará compuesta a su vez por tres componentes diferenciados. Así, sobre la base de las ecuaciones se compone, a través de herencia, con otras dos clases: una que almacena lo referente a la representación gráfica, como pueden ser los iconos; y otra que marcará la interfaz, es decir, el conjunto de conectores que servirán para unir los distintos componentes entre sí.

De esta forma, cualquier conexión entre clases será definida por las interfaces, esto, además de facilitar la implementación y mantenimiento del código, permitirá la reutilización de interfaces para clases que tengan la misma conexión con el exterior. En la Figura 5 se muestran algunos ejemplos de las mismas, para una referencia completa de la misma se puede consultar el Anexo B. Dentro de la librería, las interfaces están en el paquete *Partials*, que a su vez, se encuentra en el paquete *Interfaces*. Las interfaces se construyen a partir de la composición de distintos conectores.

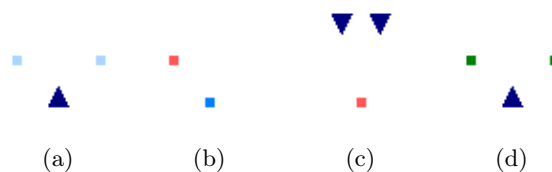


Figura 5: Ejemplos de interfaces

### 3.6. Elementos atómicos, paquete *Basic*

Las clases que se describen en esta sección son las que definieren los volúmenes de control y los fenómenos de transporte. A partir de la composición de estos elementos básicos se crearán el resto

de los componentes, tal y como se muestra más adelante. Como ya se comentó anteriormente, estos elementos se ubican en el paquete *Basic*. Además, dentro de dicho paquete hay otros cuatro paquetes que describen los balances de gas, paquete *Gas*; de líquido, paquete *Liquid*; de temperatura, paquete *Heat*; y de cultivo, paquete *Biomass*.

### 3.6.1. Elementos atómicos de calor, paquete *Basic.Heat*

En este paquete se encuentran los elementos atómicos que hacen referencia al calor. Sin embargo, la transferencia de calor debida a la transferencia de materia será desplazada al paquete *Basic.Liquid*, ya que dicho flujo de calor tiene lugar a través de los conectores de líquido *LiqCon*.

**Conexión con el entorno, modelo *Environment*.** Esta clase se encarga de tratar la temperatura del entorno para hacerla accesible a un conector del tipo *HeatCon* y de convertir la radiación fotosintéticamente activa,  $I_0(t)$ , medida en  $[\mu E m^{-2} s^{-1}]$  a su equivalente en  $[W m^{-2}]$ ,  $I_c(t)$ . Su interfaz está compuesta por dos entradas, una de radiación y otra de temperatura; una salida, de radiación; y un conector de temperatura, *HeatCon*. El icono de este modelo se puede ver en la Figura 6.



Figura 6: Icono de la clase *Environment*

**Transferencia de calor por convección, modelo *HeatConvection*.** Haciendo uso de la ecuación (37) esta clase calcula la transferencia de calor por convección. Las conexiones con el exterior son a través de dos conectores de calor *HeatCon*. Su representación gráfica se muestra en la Figura 7.



Figura 7: Icono de la clase *HeatConvection*

**Transferencia de calor por radiación, modelo *HeatRadiation*.** La transferencia de calor por radiación que en esta clase se modela viene descrita por la ecuación (38). Tiene una entrada de radiación y un conector *HeatCon*. En la Figura 8 se muestra su representación gráfica.

**Transferencia de calor por convección y radiación, modelo *HeatConvRad*.** Mediante la composición de los elementos atómicos de calor ya presentados, ver Figura 9, se crea este



Figura 8: Icono de la clase *HeatRadiation*

modelo. El mismo permite, con la información recibida a través de las entradas de la temperatura exterior y la radiación solar, calcular las transferencias de calor que se producen por radiación y convección con el entorno y dirigir dicho flujo a través de un único conector *HeatCon*. Su icono se muestra en la Figura 10

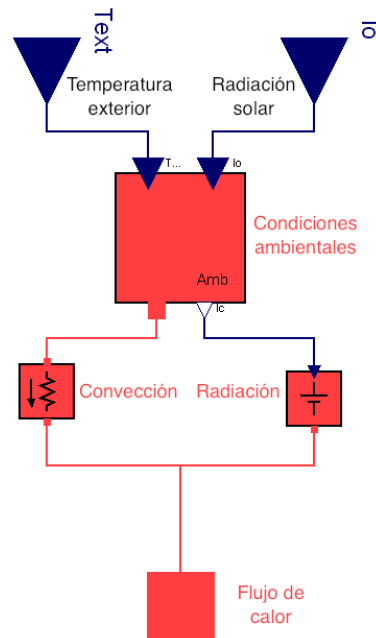


Figura 9: Diagrama de composición de *HeatConvRad*



Figura 10: Icono de la clase *HeatConvRad*

### 3.6.2. Elementos atómicos de líquido, paquete *Basic.Liquid*

La fase líquida está dividida en dos capas, una primera que considera la transferencia y acumulación de líquido y calor, y una segunda que, además de lo anterior, tendrá en cuenta los flujos y concentraciones de: biomasa,  $O_2$ ,  $CO_2$ ,  $C_T$  y  $H^+$ . La primera de las dos capas es la que se modela en el presente paquete. Esta división, aparte de facilitar la comprensión y mantenimiento del código, permitirá que en aquellos casos en los que solo es necesario modelar el balance de masa y energía del líquido y su temperatura, como es el caso del intercambiador de calor, tener menos ecuaciones y, por tanto, un modelo más eficiente.

**Volumen de control de líquido y energía calorífica, modelo *LiqCapacitor*.** Esta clase es la que actúa como volumen de control, acumulador, de líquido y de energía calorífica. Para conectar ambos elementos con el exterior dispone de un conector de líquido, *LiqCon*, y de un conector de calor, *HeatCon*. Es importante recordar, que la transferencia de calor como consecuencia de la transferencia de materia se producirá a través del conector de líquido, y no a través del conector de calor. En lo que se refiere a su formulación, esta clase hace uso de las ecuaciones (53), (57) y (61). Su icono se muestra en la Figura 11.



Figura 11: Icono de la clase *LiqCapacitor*

**Transferencia de líquido y calor por transferencia de materia, modelo *LiqResistor*.** El caudal de transferencia de líquido será marcado por la entrada que posee la interfaz de este modelo, dicho caudal entrará por el conector de líquido izquierdo y saldrá en la misma cantidad por el derecho, con el correspondiente flujo de energía. Este fenómeno responde a la ecuación (36). En la Figura 12 se puede ver su representación gráfica.



Figura 12: Icono de la clase *LiqResistor*

### 3.6.3. Elementos atómicos de gas, paquete *Basic.Gas*

En este paquete se encuentran los elementos atómicos en los que únicamente interfiere el gas. Aquellos elementos en los que se relaciona la fase líquida con la fase gaseosa se encuentran en el paquete *Basic.Biomass*.

**Volumen de control de la fase gaseosa, modelo *GasCapacitor*.** Define el volumen de control, acumulador, de la fase gaseosa por completo. En esta clase se calculan las concentraciones de los distintos elementos en función de las ecuaciones (39), (40) y (41). Además, los flujos se integran para obtener el volumen o cantidad de moles de cada elemento tal y como muestran las ecuaciones (45)-(48). La representación gráfica de esta clase es la que se muestra en la Figura 13.

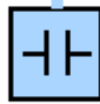


Figura 13: Icono de la clase *GasCapacitor*

**Transferencia de gas, modelo *GasResistor*.** Tal y como ocurre en la transferencia de líquido, la transferencia de gas está marcada por la entrada que posee la interfaz de este modelo. Dicho caudal entrará por el conector de gas izquierdo y saldrá en la misma cantidad por el derecho, desplazando de esta forma las cantidades de moles de cada elemento que se calculan en las ecuaciones (42), (43) y (44). En la Figura 14 se puede ver su representación gráfica.



Figura 14: Icono de la clase *GasResistor*

#### 3.6.4. Elementos atómicos con biomasa, paquete *Basic.Biomass*

Todos aquellos elementos atómicos que hagan uso de conectores del tipo *BioCon*, y afecten por tanto a la dinámica de la biomasa y concentraciones en la fase líquida, están incluidos en el presente paquete. De esta forma, en este paquete se encuentran las clases que modelan la fase líquida y aquellas que marcan la interacción entre la fase líquida y la gaseosa. Además, se incluyen clases que modelan secciones de partes más complejas, las cuales por sí solas no tienen entidad para poder considerarse dentro del paquete *Parts*, como, por ejemplo, una sección de tubería con gas y líquido en su interior,

**Producción de biomasa,  $O_2$  y  $CO_2$ ; modelo *AlgaeSource*.** En el interior de este modelo se calcula la tasa fotosintética, ecuaciones (1), (9) y (11); y la generación de biomasa,  $O_2$  y  $CO_2$ , ecuaciones (12), (13) y (14). Su interfaz está compuesta por una entrada de radiación y por un conector *BioCon*, siendo su representación gráfica la que se muestra en la Figura 15.

**Volumen de control de la fase líquida completa, modelo *BioCapacitor*.** Como ya se ha comentado, esta clase es hija de la clase *LiqCapacitor*, por lo que hereda de la misma las funciones de volumen de control de líquido y de energía calorífica. Además, a lo anterior añade



Figura 15: Icono de la clase *AlgaeSource*

las concentraciones de biomasa,  $O_2$ ,  $CO_2$ ,  $C_T$  y  $H^+$ , las cuales calcula en función de las ecuaciones (50), (51), (52), (19) y (21). Previamente al cálculo de las concentraciones descritas por las ecuaciones anteriores se han de calcular las cantidades totales de cada uno de los componentes, esto se lleva a cabo conforme a las ecuaciones (58), (59) y (60). La comunicación con el exterior se realiza a través del conector *HeatCon* heredado de su clase padre y de un conector *BioCon* que reemplaza al conector *LiqCon* de la clase que hereda. En la Figura 16 se puede ver su icono.

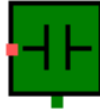


Figura 16: Icono de la clase *BioCapacitor*

**Transferencia de materia en la fase líquida, modelo *BioResistor*.** De la misma forma que la clase *BioCapacitor* hereda de la clase *LiqCapacitor*, esta clase hereda de la clase *LiqResistor*. Por tanto, a las ecuaciones utilizadas en *LiqResistor* hay que añadir las ecuaciones (54), (55) y (56), que definen el flujo de  $O_2$ ,  $C_T$  y biomasa como consecuencia del desplazamiento de líquido. En este caso, los dos conectores de la clase padre son reemplazados por dos conectores *BioCon*, manteniendo la entrada que marca el caudal. La representación gráfica se muestra en la Figura 17.



Figura 17: Icono de la clase *BioResistor*

**Clase parcial para la transferencia de materia, modelo parcial *LiqGasResistor\_Partial*.** En la Sección 2.4 se expone que la transferencia de materia entre la fase gaseosa y la fase líquida tiene pequeñas diferencias en función de qué parte del fotobiorreactor se modele. No obstante, la mayoría de las ecuaciones son comunes, independientemente de como se modele la transferencia de materia. Es por esto que esta clase parcial, la cual no es posible instanciar, servirá como base,

es decir, como padre, para las clases que modelan los diferentes tipos de transferencia de materia. Las ecuaciones que incorpora esta clase son las que van de la (23) a la (32) , ambas incluidas. En la Figura 18 se muestra su icono.



Figura 18: Icono de la clase *LiqGasResistor\_Partial*

**Transferencia de materia en un lazo, modelo *LiqGasResistor\_Loop*.** Esta clase hereda de la clase *LiqGasResistor\_Partial* y añade la ecuación (33). En la versión actual de la librería este modelo servirá para el cálculo de la transferencia de materia en el interior de una sección del lazo de un fotobiorreactor cerrado. No obstante en un futuro se espera reutilizar en otros componentes. Su representación gráfica es también heredada de su clase padre.

**Transferencia de materia en un columna de burbujeo, modelo *LiqGasResistor\_Column*.** Al igual que ocurre con *LiqGasResistor\_Loop* esta clase también hereda de la clase *LiqGasResistor\_Partial* y añade en este caso la ecuación (34). En la versión actual de la librería, este modelo servirá para el cálculo de la transferencia de materia en el interior de una columna de burbujeo de un fotobiorreactor cerrado y, al igual que ocurría con *LiqGasResistor\_Loop*, se espera reutilizar en otro tipo de componentes como, por ejemplo, en el foso de un fotobiorreactor de tipo *raceway*. A la interfaz de su clase padre se añaden dos entradas que marcan las velocidades superficiales del líquido y del gas. Su icono es el que se muestra en la Figura 19.



Figura 19: Icono de la clase *LiqGasResistor\_Column*

**Regulación del flujo de gas, con volumen de líquido constante; modelo *FlowRegulator\_LiqFCons*.** Este modelo es utilizado para el cálculo de la velocidad de desplazamiento del gas en función de la velocidad de desplazamiento del líquido en el interior del lazo de un fotobiorreactor cerrado. Para la implementación de esta clase se considera la simplificación de que el volumen de gas que entra en una sección del lazo no desplaza volumen de líquido. Dicha simplificación es válida debido a la pequeña parte que el volumen de gas representa sobre el volumen total. La interfaz de este modelo está compuesta por un conector de gas, una entrada con la velocidad del líquido a la entrada y dos salidas para marcar las velocidades, caudales, del líquido y del gas. Las ecuaciones (62) y (63) calculan los flujos de líquido y gas, donde:  $Q_{l,in}(t)$  y  $Q_{l,out}(t)$  son los flujos de líquido a la entrada y salida del modelo,  $Q_{g,out}(t)$  es el flujo de gas,  $A_t$

es el área de la sección transversal de una sección de lazo y  $dX$  es la longitud de dicha sección. El icono de esta clase es el mostrado en la Figura 20

$$Q_{l,out}(t) = Q_{l,in}(t) \quad (62)$$

$$Q_{g,out}(t) = \frac{Q_{l,in}(t) V_g(t)}{A_t dX} \quad (63)$$



Figura 20: Icono de la clase *FlowRegulator\_LiqFCons*

**Regulación del flujo de gas, con volumen de líquido variable; modelo *FlowRegulator\_LiqFVar*.** En versiones anteriores de la librería se implementó una versión más compleja que sí consideraba el desplazamiento de líquido. Esta clase no se utilizó en la versión actual ya que tras realizar varios experimentos se vio que las diferencias en los resultados al usar o no la simplificación eran prácticamente inapreciables, un pequeño ruido de sensorización tendría más efecto, mientras que el tiempo de simulación, en el mejor de los casos, se duplicaba. No obstante, por si fuera útil en futuras implementaciones, se mantiene el modelo. En este caso se utilizan las ecuaciones (64) y (65). El icono es el mismo que el de la clase *FlowRegulator\_LiqFCons*.

$$Q_{l,out}(t) = Q_{l,in}(t) \frac{dV_g(t)}{dt} \quad (64)$$

$$Q_{g,out}(t) = \frac{Q_{l,out}(t) V_l(t)}{A_t dX - V_g(t)} \quad (65)$$

**Sección de una columna de burbujeo; modelo *ColumnSection*.** En la Figura 21 se muestra cómo, a partir de elementos atómicos, se crea una sección de columna de burbujeo. La interfaz del modelo está compuesta por: una entrada que marca la temperatura exterior, otra que marca la radiación solar, un conector de calor y dos pares de conectores de fase líquida y de fase gaseosa. Hay que notar que mientras que el gas seguirá un sentido ascendente, el sentido de circulación del líquido será descendente. En lo que se refiere a su representación gráfica ésta se muestra en la Figura 22.

**Sección del lazo de un fotobiorreactor cerrado; modelo *LoopSection*.** Esta clase define una sección de lazo a partir de la composición de elementos atómicos, ver Figura 23. La interfaz consta de dos pares de conectores de fase líquida y gaseosa, y de dos entradas, una para la temperatura y otra para la radiación solar. En la Figura 24 se puede ver su representación gráfica.

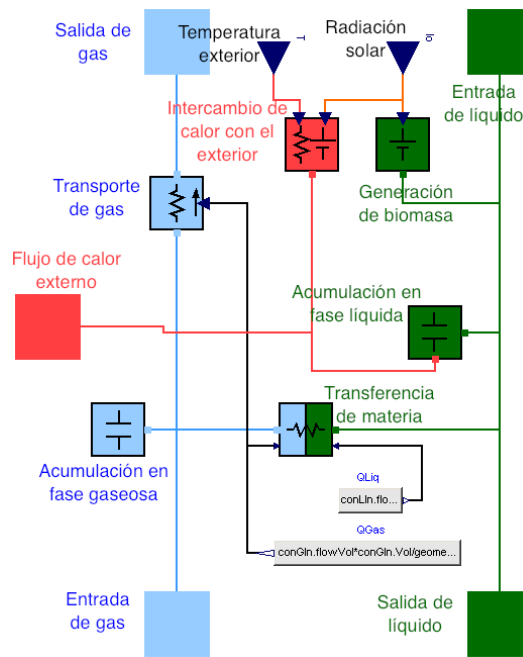


Figura 21: Diagrama de composición de *ColumnSection*

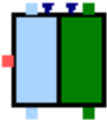


Figura 22: Icono de la clase *ColumnSection*

### 3.7. Colecciones de parámetros, paquete *Records*

Cada uno de los componentes básicos presentados en la sección anterior, así como modelos más complejos como los que contiene el paquete *Parts*, tienen una serie de parámetros, constantes y valores iniciales que han de definirse. Con el fin de tener una implementación más limpia, además de facilitar la introducción de dichos parámetros, y simplificar la transmisión de los mismos cuando se produce herencia o composición, estos se agrupan en colecciones en función de su tipo o su dominio de aplicación. De esta forma se definen los *Records* y los paquetes del mismo tipo de clases que se exponen a continuación:

- *Algae*: Colección con los parámetros que definen el comportamiento de una microalga. En futuras versiones de la librería se espera incorporar un paquete que tenga predefinidas las propiedades de distintos tipos de algas para que el usar una u otra alga en los experimentos sea tan sencillo como arrastrar el tipo de alga que se desea utilizar. En la Figura 25 se muestra la representación gráfica de este *Record*.
- *Constants*: En esta clase se almacenan las constantes físicas utilizadas en el modelado.
- *Geometry*: Este paquete contiene colecciones que marcan los parámetros geométricos de los modelos.

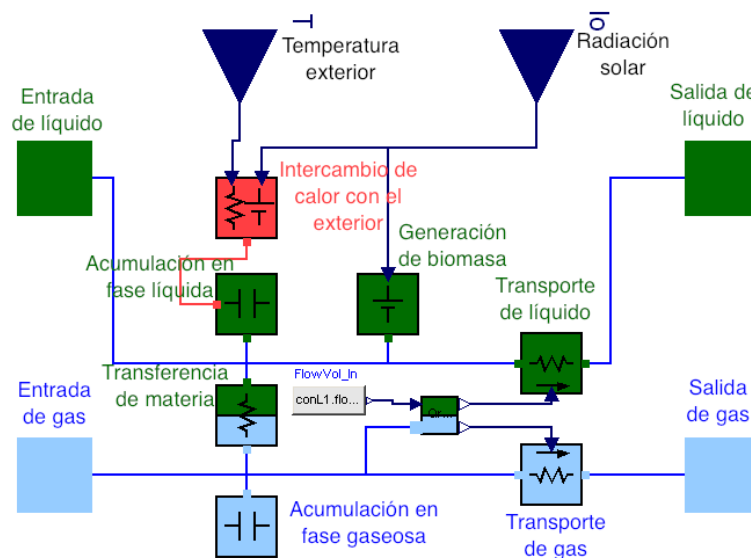


Figura 23: Diagrama de composición de *LoopSection*



Figura 24: Icono de la clase *LoopSection*

- *Heat*: Aquí se almacenan los parámetros que afectan a la transferencia de calor y al cálculo de temperaturas.
- *Initial*: Tanto los modelos atómicos como los modelos compuestos necesitan de valores de inicialización para sus estados. Estos se proporcionan en este paquete, ya sea para los distintos dominios en general o para las partes físicas diferenciadas en particular.
- *LocationAndDate*: En esta versión de la librería esta colección de registros está vacía. En próximas versiones será aquí donde se almacenen los datos de fecha y localización que permitan la simulación de un fotobiorreactor en distintos lugares del mundo y en distintas épocas del año, a través del cálculo de la radiación solar y la temperatura ambiente.
- *MassTransfer*: Paquete con las colecciones de datos que marcarán la transferencia de materia entre fases.
- *Operation*: Aquí se marcan todos los parámetros de operación, que en la versión actual incluyen los valores iniciales de todos los componentes y algunas entradas fijas durante toda la simulación. En futuras versiones en este *Record* se incluirán también aquellos parámetros referentes a la configuración de los controladores.
- *PhysicalPar\_ClosedPhotobioreactor*: En este *Record* se marcan todos los parámetros físicos que necesita un fotobiorreactor cerrado para ser simulado, es decir, los parámetros geométricos, los referentes a la transferencia de calor y los que caracterizan la transferencia de

materia en cada uno de sus componentes. No se incluyen aquí los parámetros del microalga al considerarla una entidad diferenciada.



Figura 25: Icono de la clase *Algae*

Para una descripción más detallada de los parámetros que están incluidos en cada *Record*, así como de sus valores por defecto y de la composición y herencia de estas clases, se puede consultar el Anexo B.

### 3.8. Componentes físicos, paquete *Parts*

Aquellos modelos que representan componentes físicos de los distintos fotobiorreactores son los que se almacenan en este paquete. Esto incluye desde las distintas bombas o depósitos, hasta intercambiadores de calor o las columnas de burbujeo. Sin embargo, como se comentó anteriormente, los sensores, pese a poder ser considerados también componentes físicos de un fotobiorreactor, se incluyen en un paquete diferenciado ya que estos son utilizados únicamente para la extracción de información y no afectan a la dinámica de los sistemas modelados.

#### 3.8.1. Componentes utilizados en el dominio gaseoso, paquete *Parts.Gas*

En este paquete se incluyen aquellos componentes físicos en los que se almacena o por los que se transporta gas. Estos van desde una bomba de gas, hasta un depósito, pasando por una tubería para unir distintas fuentes de gas. En la Figura 26 se muestran los distintos componentes modelados.

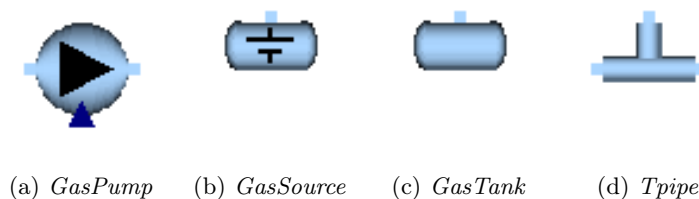


Figura 26: Componentes en el paquete *Parts.Gas*

#### 3.8.2. Componentes utilizados en el dominio líquido, paquete *Parts.Liquid*

Aquellos componentes que almacenan o transportan líquido sin biomasa son los que se incluyen en este paquete. En la versión actual de la librería estos componentes servirán únicamente para el modelado del flujo de líquido que pasa a través del intercambiador de calor. En la Figura 27 se muestran los distintos componentes modelados.

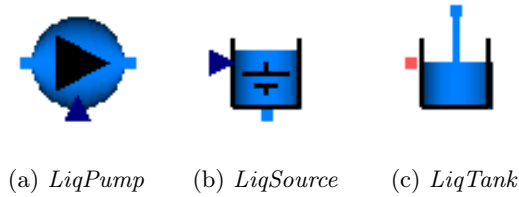


Figura 27: Componentes en el paquete *Parts.Liquid*

### 3.8.3. Componentes relacionados con la biomasa, paquete *Parts.Biomass*

Aquí están los componentes equivalentes a los modelados en *Parts.Liquid* cuando el líquido incluye biomasa. Sus representaciones gráficas se muestran en la Figura 28.

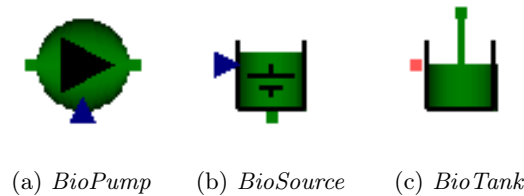


Figura 28: Componentes en el paquete *Parts.Biomass*

### 3.8.4. Intercambiador de calor, clase *HeatExchanger*

Esta clase es la que modela un intercambiador de calor. Igual que ocurre con otros componentes se ha modelado a partir de la composición de distintos elementos atómicos, ver Figura 29. La transferencia de calor producida por el flujo del líquido en el interior del intercambiador tiene lugar a través de un conector de calor *HeatCon*, en lo que se refiera a dicho flujo de líquido este entrará por el conector *LiqCon* inferior y saldrá por el superior del mismo tipo. El icono que lo representa se puede ver en la Figura 30.

### 3.8.5. Columna de burbujeo, clase *Column*

La columna de burbujeo es modelada como una mezcla perfecta, por esto mismo se basa en la utilización de una única instancia de la clase *ColumnSection*.

A través de la composición que se muestra en la Figura 31 se construye una columna de burbujeo. Su interfaz consta de los siguientes componentes: dos conectores *GasCon*, el inferior servirá para la entrada de gas y el superior para la salida del mismo; dos conectores *BioCon* situados a la derecha de la columna, el flujo procedente del lazo entrara por el superior y a través del inferior volverá al mismo; dos conectores *BioCon* situados a la izquierda de la columna, a través del inferior se producirá la entrada de nuevo medio de cultivo y por el superior se producirá el cosechado mediante el desbordamiento de la columna; por ultimo hay dos entradas que sirven para marcar la temperatura exterior y la radiación solar. En la Figura 32 se muestra su icono.

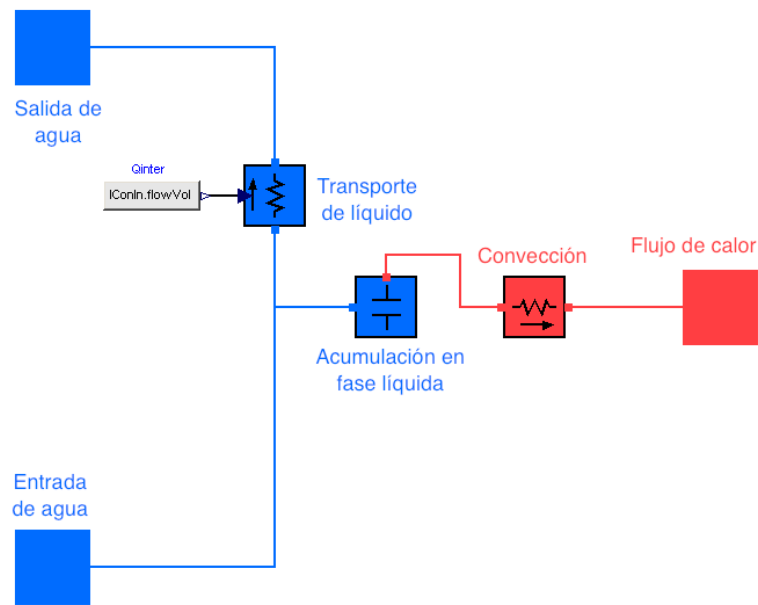


Figura 29: Diagrama de composición de *HeatExchanger*



Figura 30: Icono de la clase *HeatExchanger*

### 3.8.6. Columna con intercambiador de calor, clase *Column\_HeatExchanger*

Esta clase es muy similar a la clase *Column*, la única diferencia, como se puede apreciar en la Figura 33, es la conexión de un intercambiador de calor. Dicho intercambiador hace necesario la inclusión a la interfaz de dos conectores *LiqCon* para la entrada y salida de líquido al intercambiador. En la Figura 34 se muestra su icono.

### 3.8.7. Lazo de un fotobiorreactor cerrado, clase *Loop*

Este lazo es modelado como un flujo pistón, donde el número de secciones en las que se parte el mismo es marcado por el parámetro  $nE$  el cual se incluye en la descripción de su geometría.

La composición de esta clase se muestra en la Figura 35. Su interfaz, aparte de contar con las entradas de temperatura y radiación, tiene también tres parejas de conectores *GasCon* y *BioCon*. La pareja que se encuentra en la parte inferior izquierda es la entrada en el lazo, la pareja superior izquierda es la salida del lazo y la pareja situada a la derecha tiene como finalidad la conexión de sensores de potencial. Su icono es el que se muestra en la Figura 36. En la Figura 35 no se observan conexiones porque éstas se generan de forma dinámica en función del número de secciones en las que se parta el lazo.

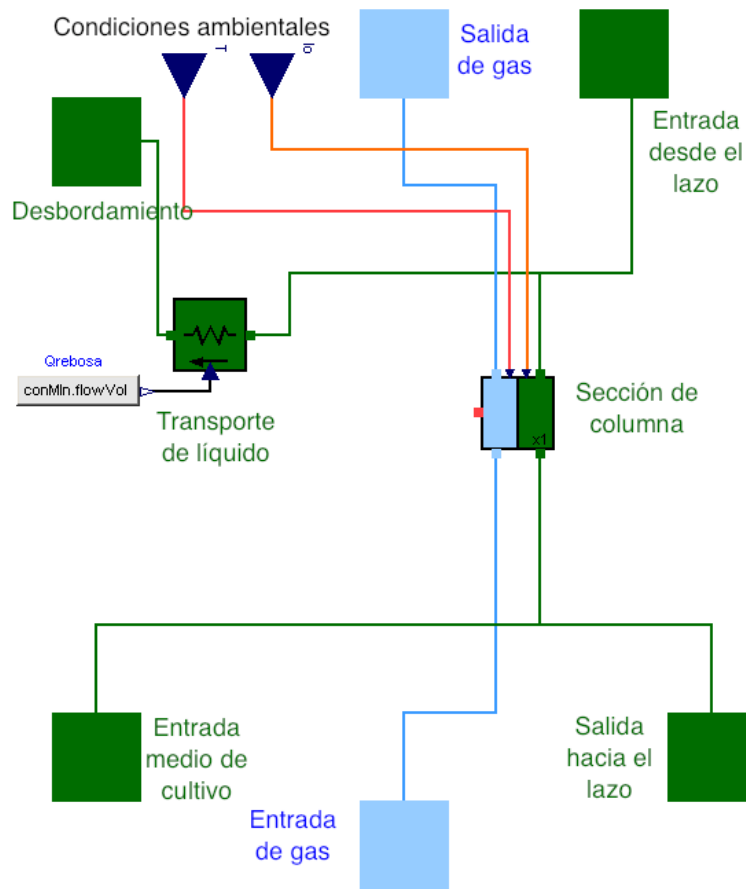


Figura 31: Diagrama de composición de *Column*

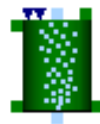


Figura 32: Icono de la clase *Column*

### 3.9. Sensores, paquete *Sensors*

Cuando se analizan los resultados de una simulación solo se requieren los valores de ciertas variables para observar su evolución o para compararlas con otros datos ya almacenados, es decir, se actúa de forma similar a cuando se incorporan sensores a sistemas físicos reales. *Modelica* permite almacenar cada una de las variables que se calculan durante la simulación y, aunque esto, puede ser de utilidad, también se puede convertir en un problema a la hora de buscar la variables que se desea analizar o incluso a la hora de guardar los datos. Esto se hace patente principalmente cuando los modelos implementados tienen la magnitud de los que se desarrollan con la librería que se presenta en este trabajo.

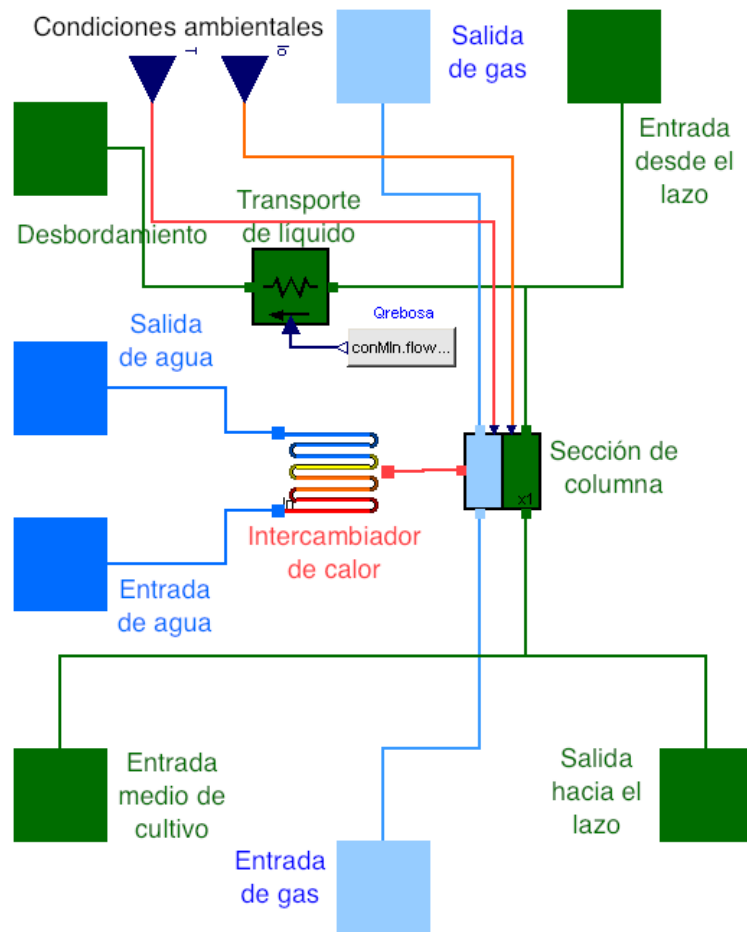


Figura 33: Diagrama de composición de *Column\_HeatExchanger*

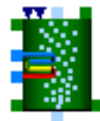


Figura 34: Icono de la clase *Column\_HeatExchanger*

Así, con el uso de sensores se limitan y clasifican las variables que se quieren muestrear, al mismo tiempo que se obtiene un modelo final más fiel a la realidad y se facilita la inclusión de bucles de control que se alimenten de las medidas tomadas por dichos sensores. El procedimiento a seguir para obtener solo la información que se desea de una simulación es tan sencillo como marcar aquellas clases que no son sensores como *protected* y desactivar el registro de dicho tipo de datos. Si por cualquier motivo se quiere acceder a variables protegidas será tan sencillo como volver a activar el registro de las mismas.

Igual que en el resto de paquetes de la librería, los sensores están diferenciados por el dominio en el que realizan las medidas. Dentro de cada uno de los dominios se distingue entre sensores

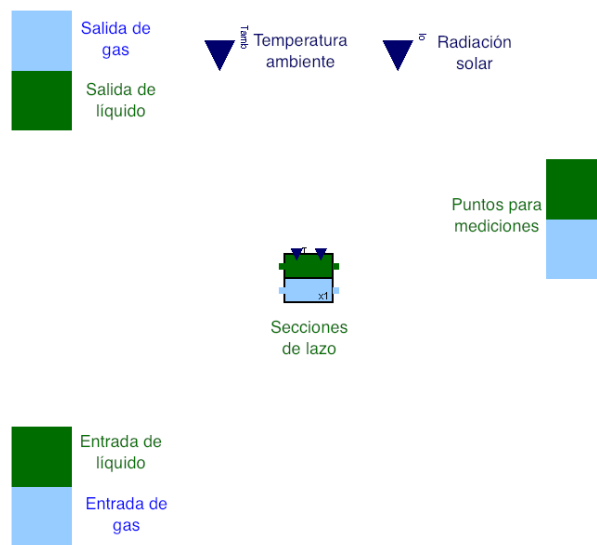


Figura 35: Diagrama de composición de *Loop*.



Figura 36: Icono de la clase *Loop*

de potencial y sensores de flujo. Igual que ocurre en el mundo real, estos sensores se tendrán que conectar en paralelo o en serie en función de si miden potencial o si miden flujo.

**Sensores de gas.** En las Figuras 37 y 38 se muestrann los distintos tipos de sensores utilizados para medir flujos y concentraciones en el gas. En la Tabla 2 se describe que medida proporciona cada una de las salidas.



Figura 37: Icono de la clase *GasFlowSensor*

**Sensores de líquido.** En las Figuras 39 y 40 se muestran los distintos tipos de sensores para el líquido y en la Tabla 3 se describen sus salidas.

Tabla 2: Salidas de los sensores de gas

Sensor	Salida	Medición
<i>GasFlowSensor</i>	1	Flujo de gas - $f_g(t)[m^3 s^{-1}]$
	2	Flujo de $O_2$ - $f_{O_2}(t)[mol s^{-1}]$
	3	Flujo de $CO_2$ - $f_{CO_2}(t)[mol s^{-1}]$
	4	Flujo de $N_2$ - $f_{N_2}(t)[mol s^{-1}]$
<i>GasPotentialSensor</i>	1	Volumen de gas - $V_g(t)[m^3]$
	2	Concentración de $O_2$ - $O_{2g}(t)[mol m^{-3}]$
	3	Concentración de $CO_2$ - $CO_{2g}(t)[mol m^{-3}]$
	4	Concentración de $N_2$ - $N_{2g}(t)[mol m^{-3}]$
	5	Fracción molar de $O_2$ - $y_{O_2}(t)[-]$
	6	Fracción molar de $CO_2$ - $y_{CO_2}(t)[-]$
	7	Fracción molar de $N_2$ - $y_{N_2}(t)[-]$

Tabla 3: Salidas de los sensores de líquido

Sensor	Salida	Medición
<i>LiqFlowSensor</i>	1	Flujo de líquido - $f_g(t)[m^3 s^{-1}]$
	2	Flujo de calor - $f_Q(t)[J s^{-1}]$
<i>LiqPotentialSensor</i>	1	Volumen de líquido - $V_l(t)[m^3]$
	2	Temperatura - $T(t)[K]$
	3	Temperatura - $T(t)[C]$



Figura 38: Icono de la clase *GasPotentialSensor*



Figura 39: Icono de la clase *LiqFlowSensor*



Figura 40: Icono de la clase *LiqPotentialSensor*

**Sensores de líquido y biomasa.** En las Figuras 41 y 42 se muestran los distintos tipos de sensores para el líquido y en la Tabla 4 se describen sus salidas.



Figura 41: Icono de la clase *BioFlowSensor*



Figura 42: Icono de la clase *BioPotentialSensor*

Tabla 4: Salidas de los sensores de líquido y biomasa

Sensor	Salida	Medición
<i>BioFlowSensor</i>	1	Flujo de líquido - $f_g(t)[m^3 s^{-1}]$
	2	Flujo de calor - $f_Q(t)[J s^{-1}]$
	3	Flujo de biomasa - $f_{C_b}(t)[Kg s^{-1}]$
	4	Flujo de $O_2$ - $f_{O_2}(t)[mol s^{-1}]$
	5	Flujo de $CO_2$ - $f_{CO_2}(t)[mol s^{-1}]$
	6	Flujo de $C_T$ - $f_{C_T}(t)[mol s^{-1}]$
	7	Flujo de $H^+$ - $f_{H^+}(t)[mol s^{-1}]$
<i>BioPotentialSensor</i>	1	Volumen de líquido - $V_l(t)[m^3]$
	2	Temperatura - $T(t)[K]$
	3	Temperatura - $T(t)[C]$
	4	Concentración de biomasa - $C_b(t)[Kg m^{-3}]$
	5	Concentración de $O_2$ - $O_2(t)[mol m^{-3}]$
	6	Concentración de $CO_2$ - $CO_2(t)[mol m^{-3}]$
	7	Concentración de $C_T$ - $C_T(t)[mol m^{-3}]$
	8	Concentración de $H^+$ - $H^+(t)[mol m^{-3}]$
	9	Potencial de pH - $pH(t)[-]$

## 4. Ejemplo de uso

Uno de los objetivos de la librería es que pueda ser usada por cualquier usuario sin necesidad de conocimientos de programación, dando la posibilidad de construir los modelos como si se tratara de sistemas físicos reales a partir de sus distintos componentes. Además, se incluye en el paquete *Examples* un fotobiorreactor cerrado completamente operativo y en futuras versiones de la librería se incluirán las partes necesarias para construir otro tipo de fotobiorreactores.

A la hora de modificar los parámetros de los modelos diseñados estos se pueden modificar directamente, pulsando sobre cada uno de los elementos e introduciendo aquellos parámetros que se desea que sean distintos de los valores por defecto. No obstante se recomienda seguir los pasos que a continuación se describen.

El primer paso consistiría en construir el sistema a partir de los componentes deseados, añadiendo las distintas partes y orígenes de datos en el diagrama de composición, tal y como se muestra en la Figura 43. En este punto sería posible establecer los parámetros simplemente pulsando sobre cada elemento y modificando aquellos que se desea que sean diferentes a los valores por defecto, ver Figura 44, aunque no se recomienda esta forma de proceder.

Tras construir el sistema en lugar de marcar directamente los parámetros se añadirá al diagrama de composición aquellas clases *Record* que engloban los parámetros necesarios, por ejemplo la clase *Algae*, ver Figura 45a. Tras incluir el conjunto de parámetros y darle un nombre se incluirá dicho nombre dentro de los parámetros de los componentes, como se puede ver en la Figura 45b. Esta forma de proceder supondrá grandes ventajas, las más destacables son:

- Mayor claridad en la organización de parámetros.
- La posibilidad de reutilizar un mismo conjunto de parámetros para distintas partes del modelo. En este caso tanto el lazo como la columna necesitan los parámetros de la microalga, y estos han de ser, además, iguales. Usando este mecanismo se evita el tener que introducir los datos por duplicado y, además, se asegura la ausencia de errores.
- La facilidad para utilizar conjuntos de datos previamente definidos. Aprovechando esta ventaja se puede crear un paquete con las propiedades de distintas algas en función de sus especies y luego, simplemente, arrastrar la especie deseada al modelo.
- El poder mantener varios conjuntos de datos en un modelo y poder seleccionar de forma ágil y rápida qué conjunto se desea utilizar para la simulación. Esto puede ser útil, por ejemplo, para tener dos conjuntos de valores iniciales y alternar entre los mismos, dejando ambos guardados en el modelo para futuros usos.

Siguiendo las recomendaciones anteriormente expuestas se ha creado el modelo *ClosedPhotobioreactor*, situado en el paquete *Examples* y cuyo diagrama de composición se puede ver en la Figura 46

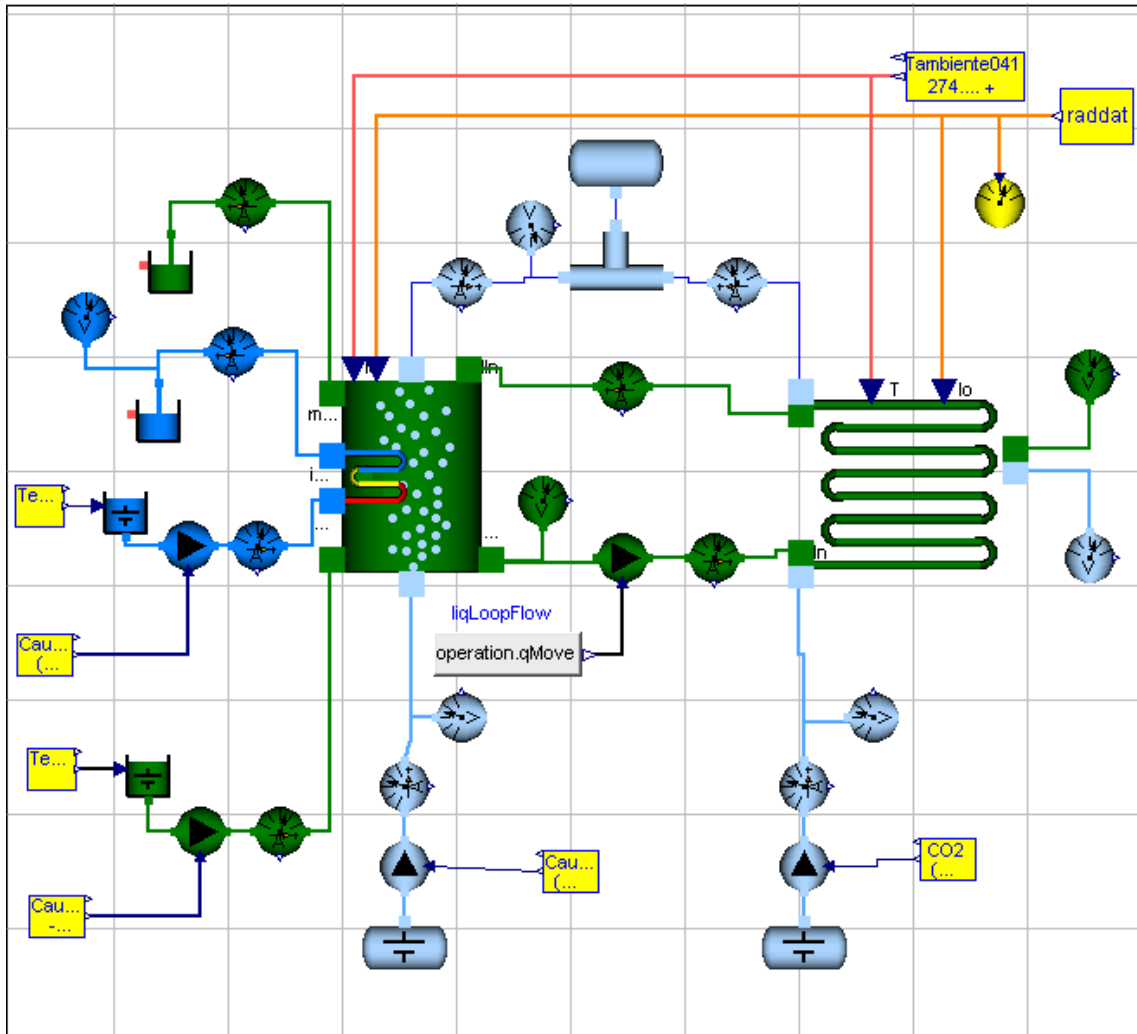


Figura 43: Diagrama de composición de un fotobiorreactor cerrado

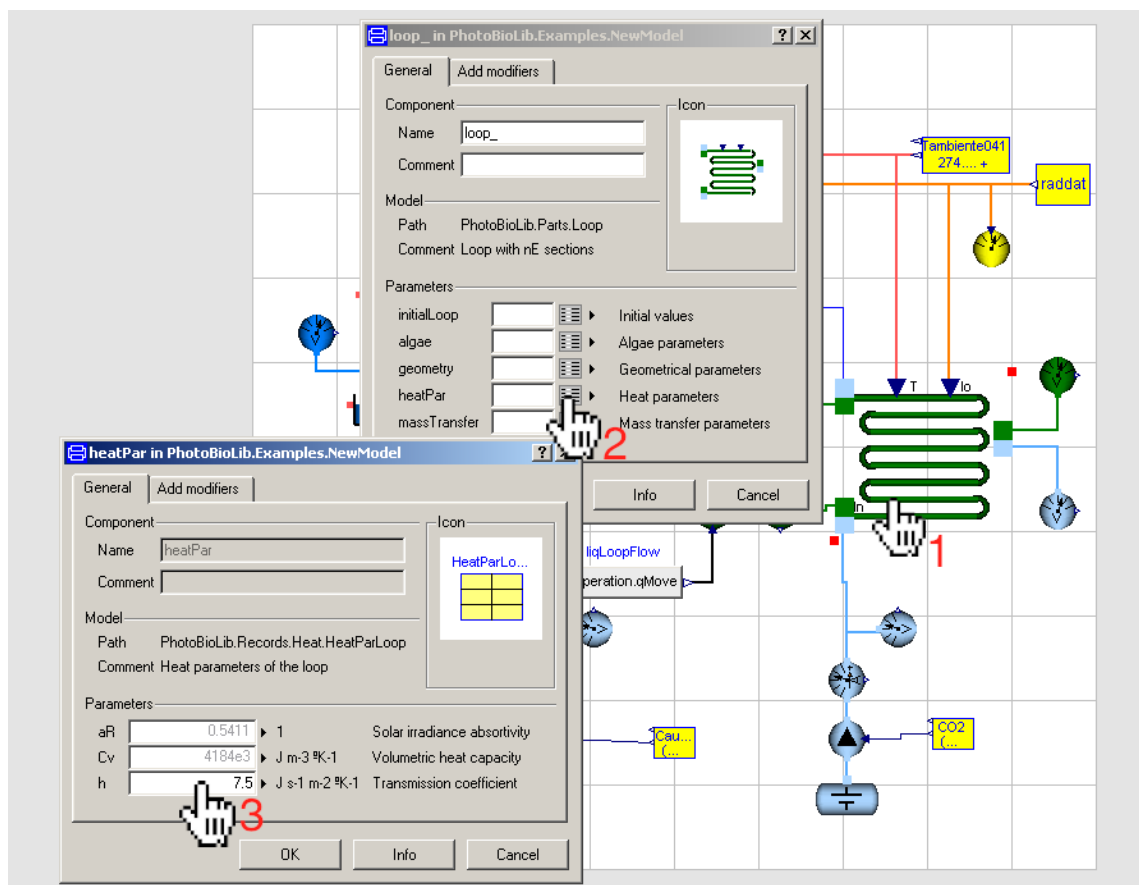
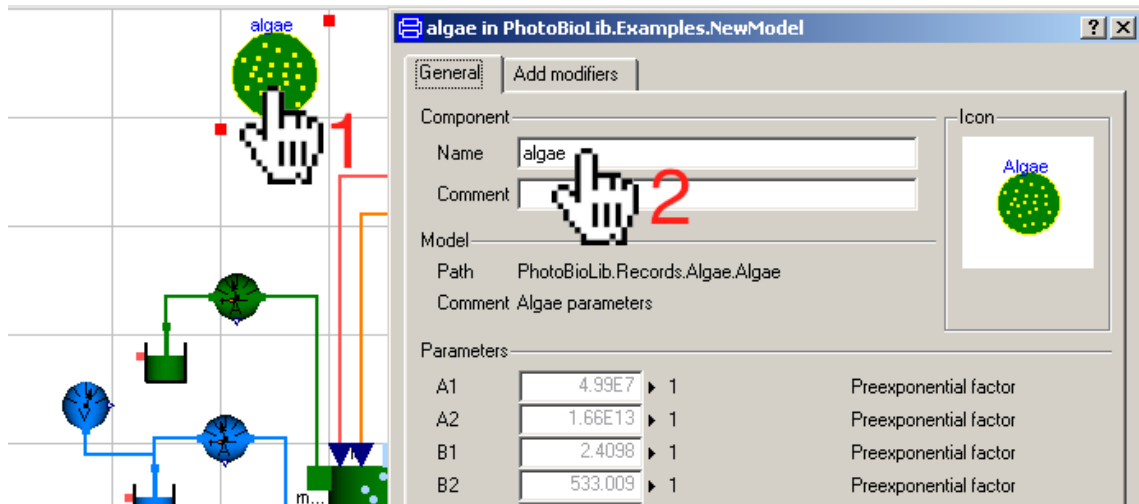
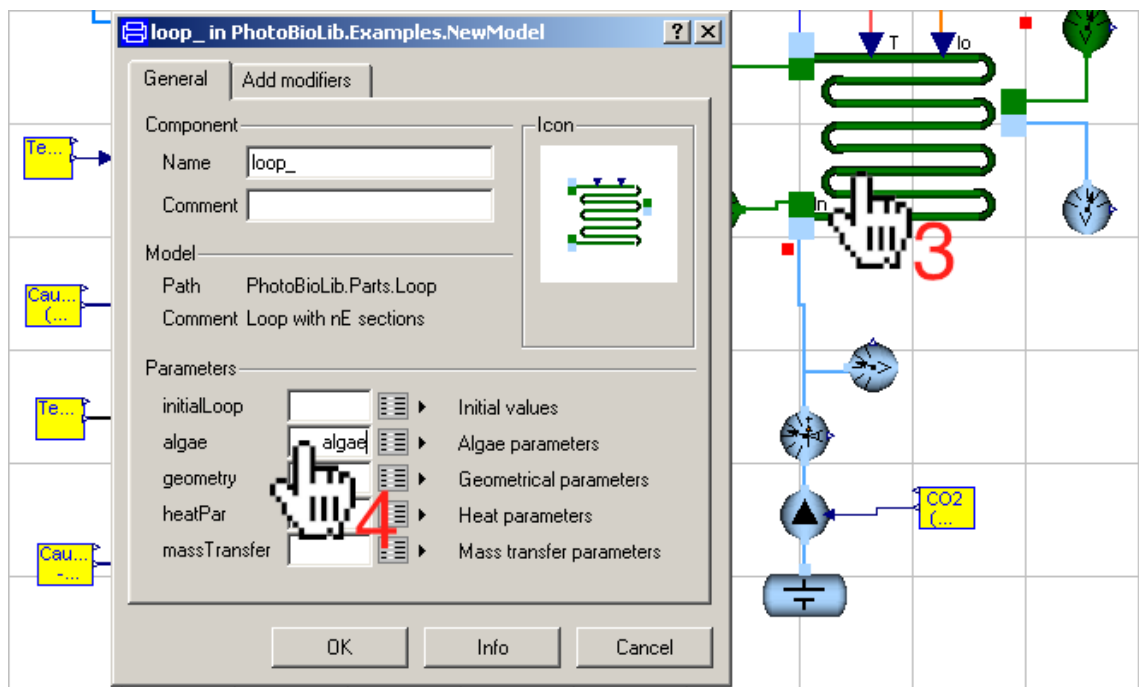


Figura 44: Cambio de un parámetro del modelo



(a) Pasos 1 y 2



(b) Pasos 3 y 4

Figura 45: Pasos para la modificación de parámetros

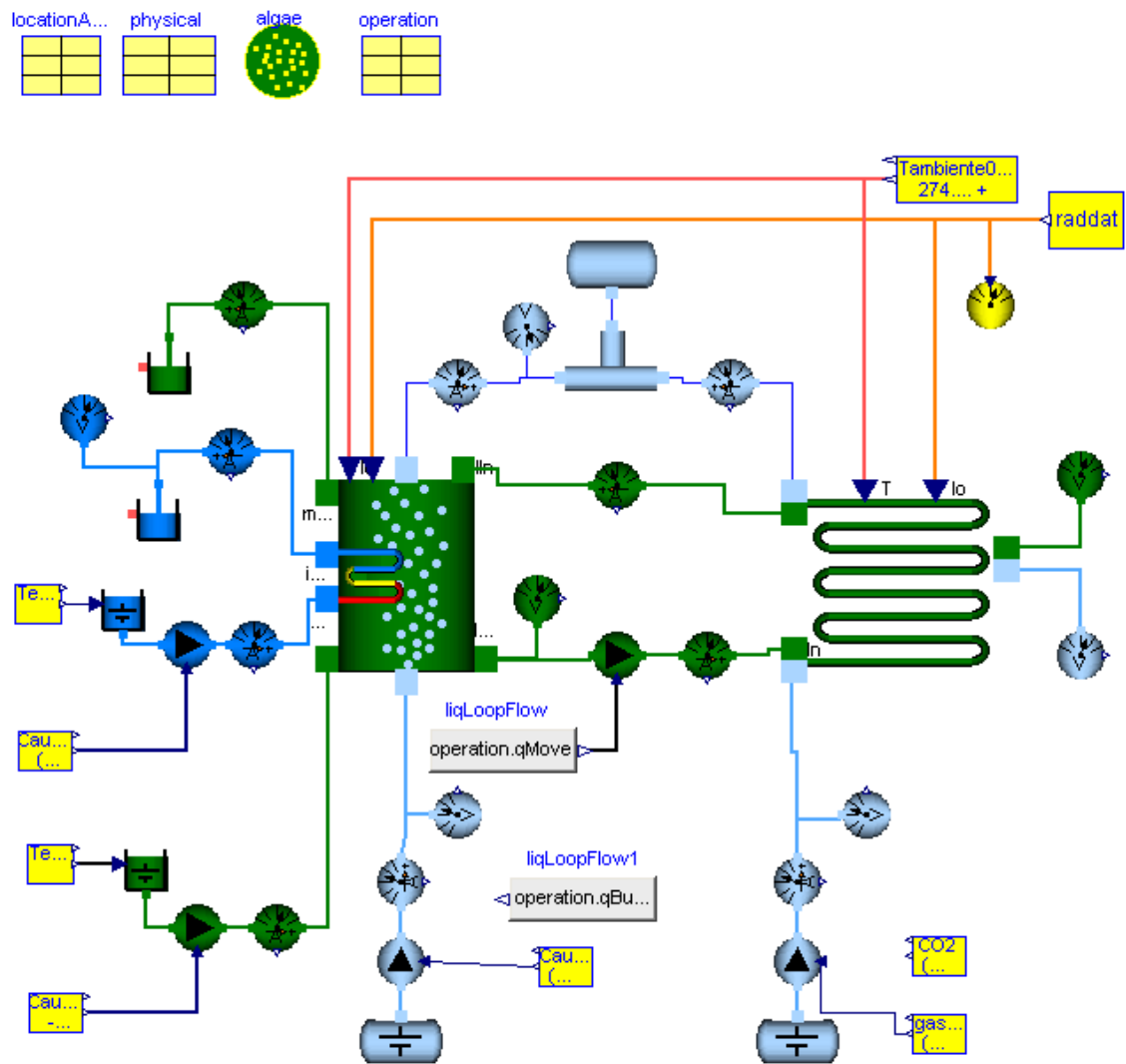


Figura 46: Diagrama de composición de *ClosedPhotobioreactor*

## 5. Resultados

En la Figura 46 se muestra la composición de un fotobiorreactor cerrado, el cual se corresponde con el descrito en [12] y representa a un sistema real que se encuentra en la *Estación Experimental de las Palmerillas*, en Almería.

La planta anteriormente mencionada está formada por una columna de burbujeo, un intercambiador de calor, un lazo, distintas bombas, inyectores de gas y sensores. La columna de burbujeo, además de mezclar el cultivo y extraer parte del oxígeno del mismo, a través de la inyección de aire en su base, es el punto en donde se inyecta nuevo medio de cultivo y de donde se extrae la biomasa. La inyección de medio de cultivo se realiza en la base y el cosechado tiene lugar por desbordamiento en la parte superior. Dentro la columna se encuentra el intercambiador de calor, encargado de calentar o enfriar el cultivo en función del caudal y temperatura del agua que pase por su interior. A la entrada y salida de la columna está conectado el lazo, formado por una tubería serpenteante en cuyo inicio de la misma se produce una inyección de  $CO_2$  que alimenta el proceso de fotosíntesis que da como resultado la generación de nueva biomasa y  $O_2$ .

### 5.1. Tratamiento de datos

Tanto para las entradas al modelo como para la comprobación de las salidas se van a utilizar datos reales de sensores. Todas las señales han sido filtradas con un filtro paso bajo con una frecuencia de corte de  $1/2\pi 60Hz$ , además de eliminar aquellos valores sin sentido, como pueden ser los de radiación negativa. Posteriormente se han interpolado para cambiar el tiempo de muestro de  $1s$  a  $60s$ . No obstante, no se han considerado problemas como posibles errores de sensorización o *offset* en las medidas, ya que no era el objetivo de este trabajo. Sin embargo, como se verá a continuación, esto no es inconveniente para comprobar que el modelo sigue de forma correcta la dinámica del sistema.

### 5.2. Entradas del sistema y perturbaciones

Las entradas y perturbaciones del sistema se pueden dividir en tres grupos: radiación, caudales y temperaturas. La diferenciación entre entradas o perturbaciones irá en función de si se puede o no actuar sobre las mismas, lo cual dependerá a su vez de los actuadores y controladores que se incorporen al sistema, por tanto para simplificar se consideraran todas por igual.

En la Figura 47 se muestra la evolución de la radiación solar, medida en  $[\mu E m^{-2} s^{-1}]$ , a lo largo de un día completo. Los datos corresponden con la radiación registrada un 4 de Febrero. Como ya se ha comentado anteriormente, los datos por debajo de 0 han sido eliminados al no tener sentido físico. Dicha radiación solar, entre otros factores, provocará la variación de la temperatura ambiente, tal y como se ve en la Figura 48.

Para la recepción de radiación solar en el mayor área posible por parte de las microalgas, al mismo tiempo reciben una inyección de  $CO_2$ , se hace circular el cultivo a través del lazo. El caudal de circulación a través del lazo en este caso se ha marcado por un valor fijo igual a  $5,553 \cdot 10^{-3} [m^3 s^{-1}]$ .

Para mantener la temperatura de cultivo en niveles óptimos para las microalgas, la columna de burbujeo dispone en su interior de un intercambiador de calor. El flujo de agua que pasa por

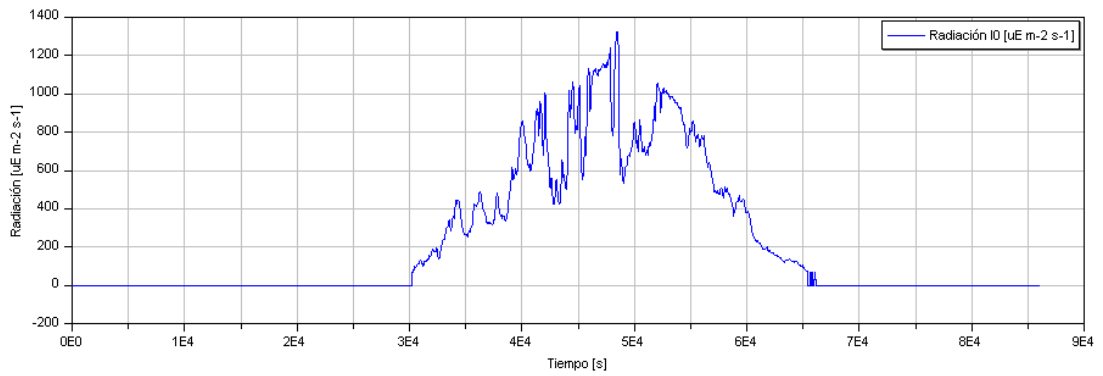


Figura 47: Evolución de la radiación solar

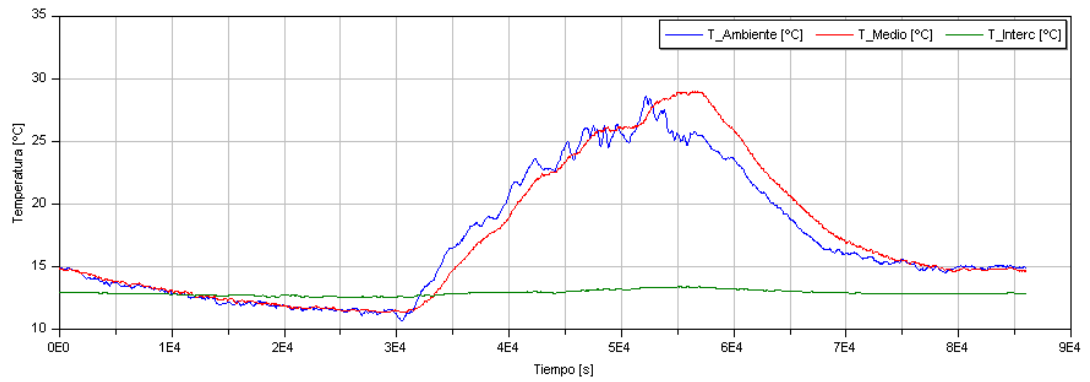


Figura 48: Temperaturas de entrada

su interior se muestra en la Figura 49. Por otro lado, la temperatura del agua a la entrada del intercambiador se describe, junto a otras temperaturas, en la Figura 48.

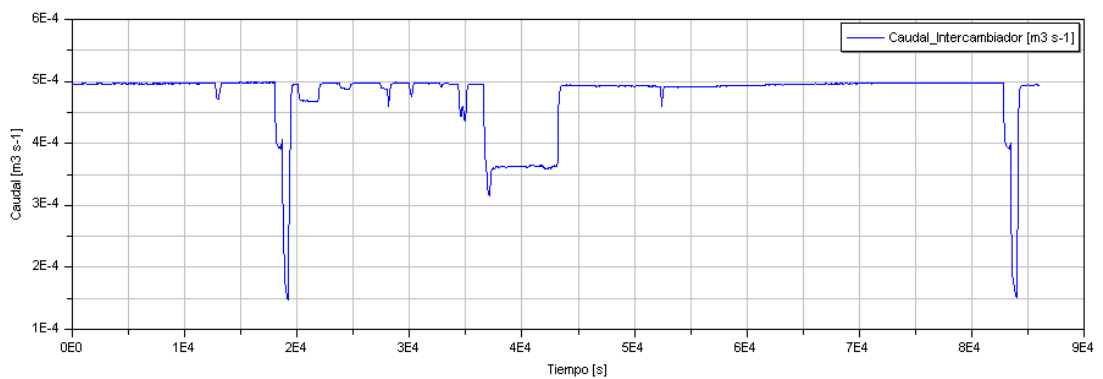


Figura 49: Caudal de líquido en el interior del intercambiador de calor

A través de la base de la columna de burbujeo se inyecta nuevo medio de cultivo sin biomasa, a su vez dicho volumen adicional provoca un desbordamiento en la parte superior de la columna que sirve como medio para realizar el cosechado. Por tanto, ambos volúmenes, el de medio de cultivo y de cosechado serán equivalentes. Se puede ver su evolución en la Figura 50. En la Figura 48 se muestra la temperatura a la que se encuentra el medio de cultivo a la hora de inyectarse en la columna.

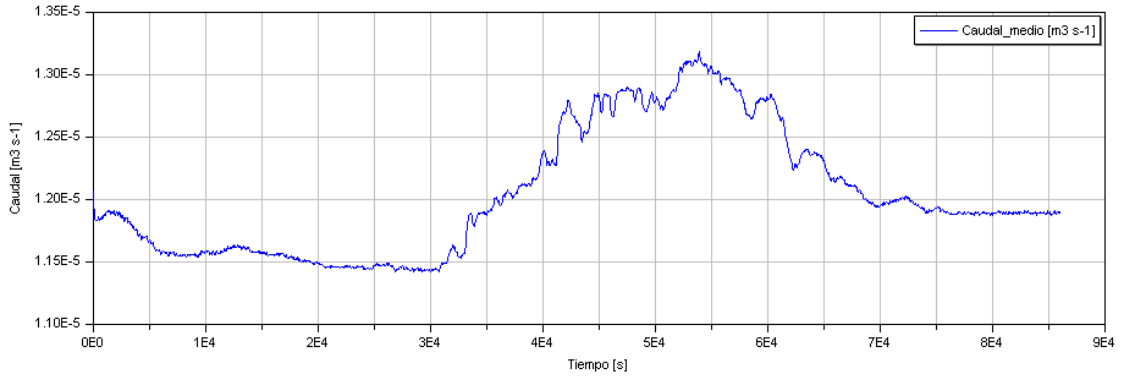


Figura 50: Caudal del medio de cultivo

Con el fin de modificar las concentraciones de  $O_2$  y  $CO_2$  disueltos en el medio de cultivo y a su vez mejorar el mezclado del mismo se producen dos inyecciones de gas en el fotobiorreactor. La primera de ellas se produce en la columna, donde se inyecta aire con concentraciones de gases iguales a las encontradas en el ambiente, ver Figura 51. La segunda se produce al inicio del lazo, el gas que aquí se inyecta tiene una alta concentración de  $CO_2$  y su caudal se puede ver en la Figura 52.

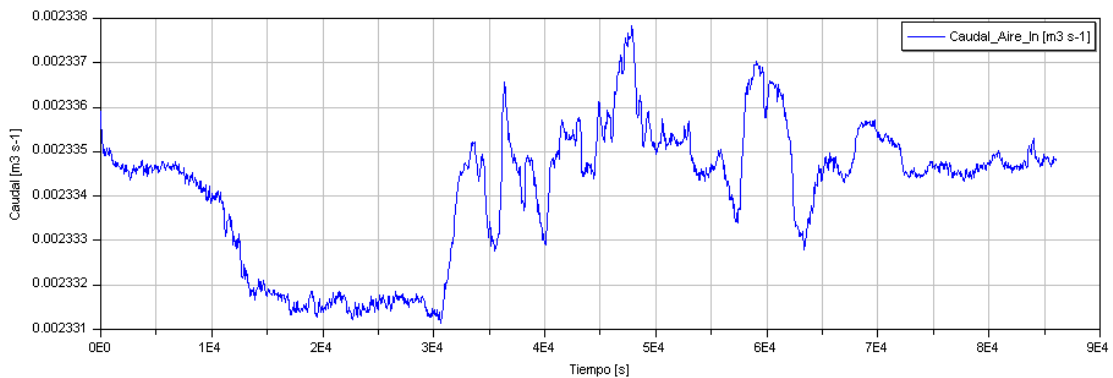


Figura 51: Caudal de inyección de aire en la columna de burbujeo

### 5.3. Salidas medibles y validación

Para la validación del modelo construido en la Sección 4 se disponen de medidas de sensores de temperatura, concentración de  $O_2$  disuelto y de  $pH$ . Pese a que el seguimiento de la dinámica parece bastante bueno, se pueden observar errores achacables a tres motivos: ruidos en las

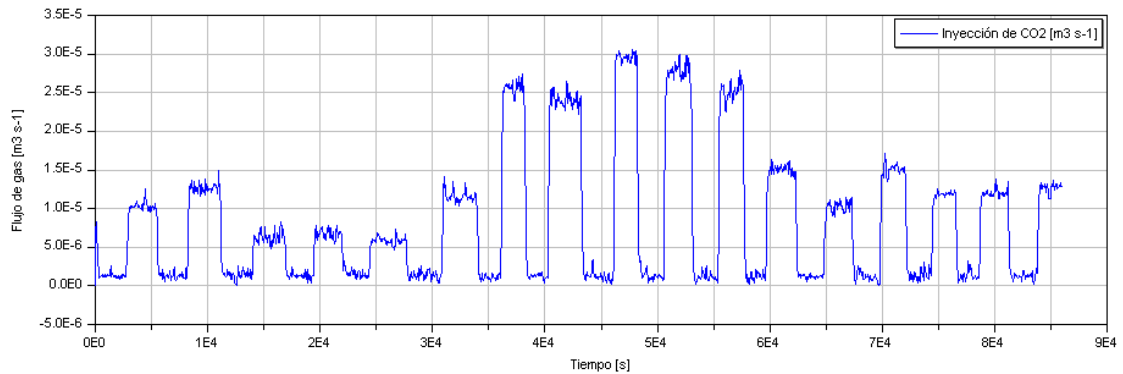


Figura 52: Caudal de inyección de  $CO_2$  en el lazo

medidas, errores en la calibración de los sensores y errores en la calibración del modelo. Este último se pretende resolver en futuras versiones de la librería incluyendo un mecanismo para la calibración de los modelos diseñados a partir de medidas de sus equivalente reales. El resto de errores no se ha considerado su resolución ya que no era el objetivo del trabajo que se presenta. Para esta simulación se han utilizado valores extraídos de la bibliografía utilizada con pequeñas modificaciones introducidas de forma manual.

En las Figuras 53 y 54 se muestra la variación de la concentración de  $O_2$  disuelto en el medio a la entrada y a la salida del lazo. Se puede observar como, a pesar del *offset*, el seguimiento de la dinámica es bastante bueno y refleja el efecto de la radiación solar en la producción de  $O_2$  por parte de las microalgas.

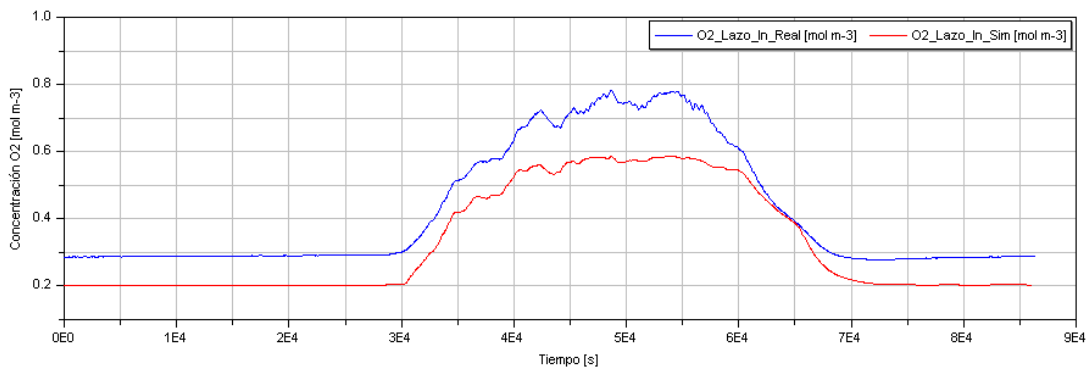


Figura 53: Concentración de  $O_2$  disuelto a la entrada del lazo

En lo que se refiere al  $pH$  se dispone también de medidas del mismo a la entrada y a la salida del lazo, tal y como se muestra en las Figuras 55 y 56

Para la validación de la transferencia de calor se muestran las temperaturas medidas y simuladas a la entrada y salida del lazo en las Figuras 57 y 58. Además, en la Figura 59 se muestra la temperatura del agua a la salida del intercambiador, la cual refleja la absorción de calor en las horas de sol.

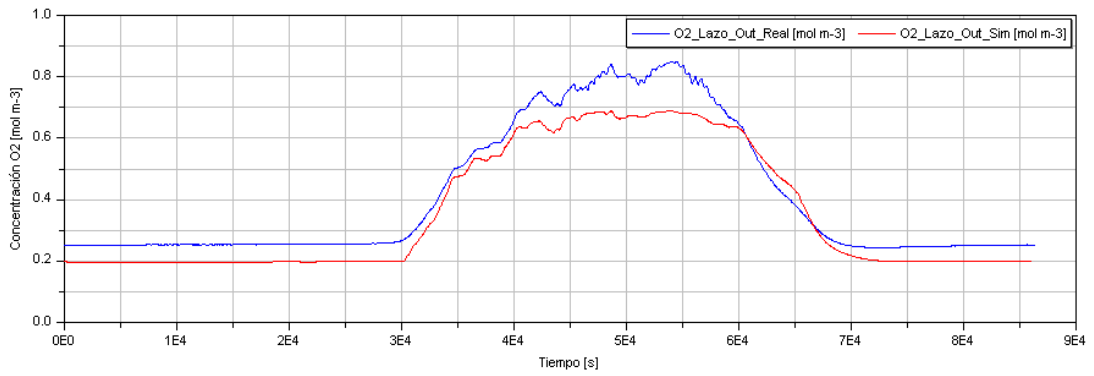


Figura 54: Concentración de  $O_2$  disuelto a la salida del lazo

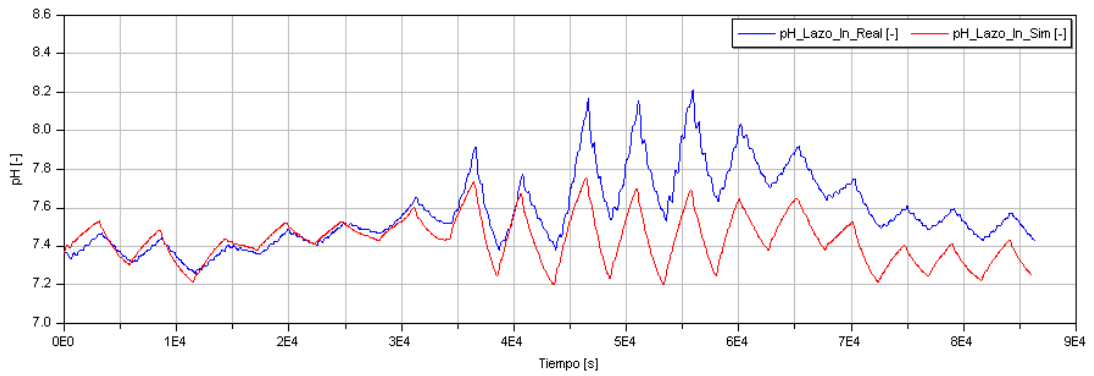


Figura 55: pH a la entrada del lazo

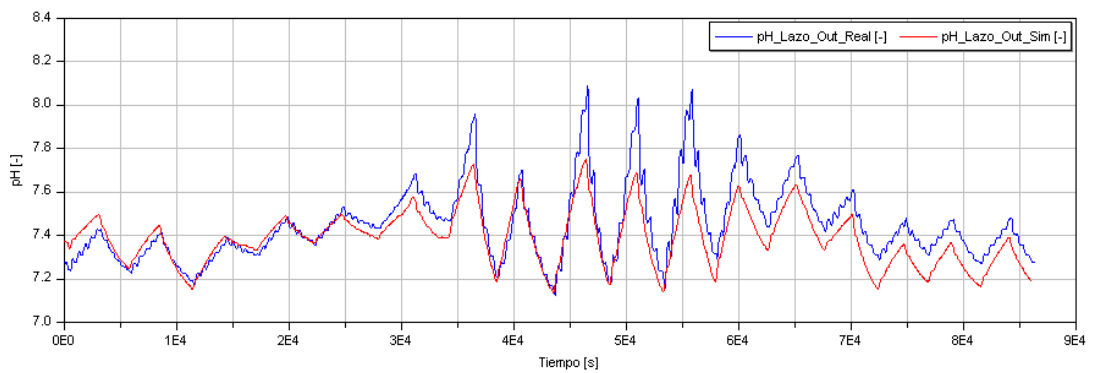


Figura 56: pH a la salida del lazo

#### 5.4. Salidas no medibles

Uno de los grandes potenciales de la librería diseñada es que puede proporcionar medidas sobre variables que no se han considerado o no se pueden medir en el sistema real, ya sea en lo referente a las magnitudes o a las posiciones donde se realizan dichas mediciones. Además, el uso de los sensores virtuales diseñados permite simplificar el registro de los datos y colocar sensores

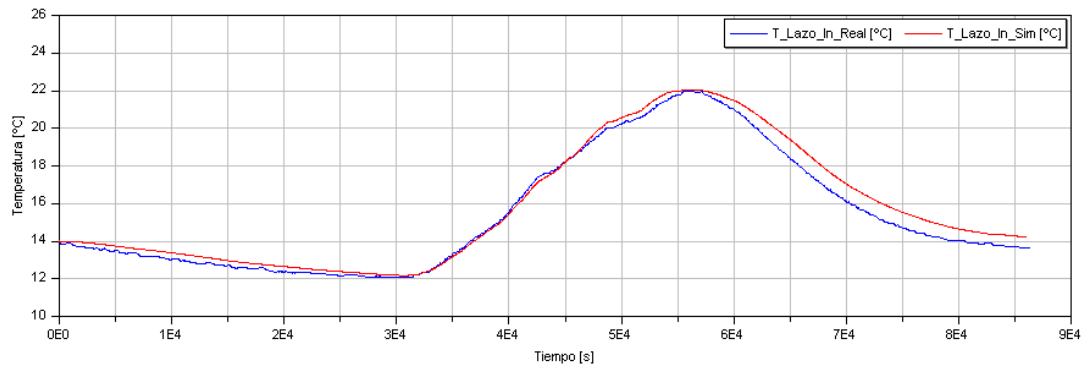


Figura 57: Temperatura del cultivo a la entrada del lazo

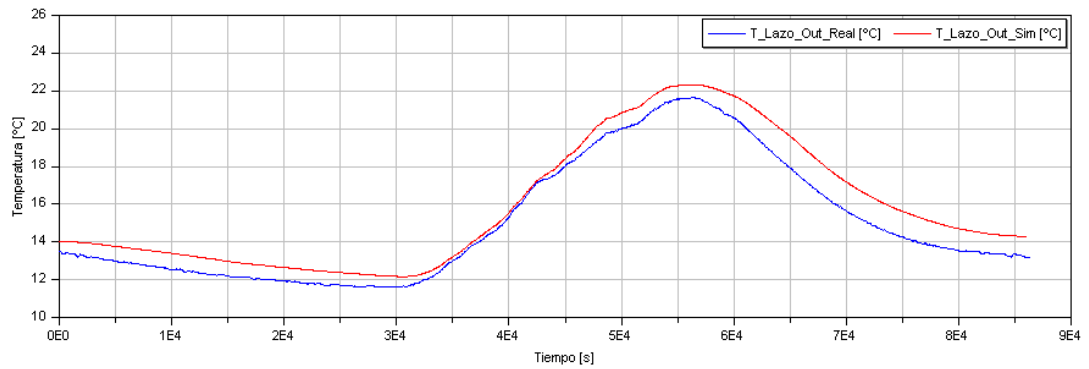


Figura 58: Temperatura del cultivo a la salida del lazo

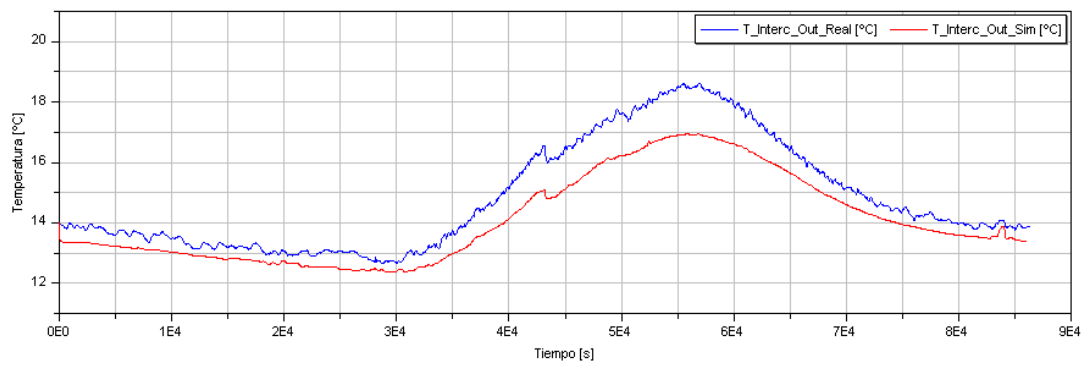


Figura 59: Temperatura del líquido a la salida del intercambiador

como se colocarían en un sistema real. Permitiendo además facilitar las decisiones sobre en que puntos es mejor colocar nuevos sensores en el sistema real.

Como ejemplo de lo anteriormente expuesto se muestran las medidas de la concentración de biomasa a la entrada y a la salida del lazo. En la Figura 60 se observa una tendencia de general en la caída de la concentración, motivada por el cosechado y la inyección de nuevo medio de

cultivo de biomasa, amortiguada con la generación de biomasa que se produce en las horas de sol.

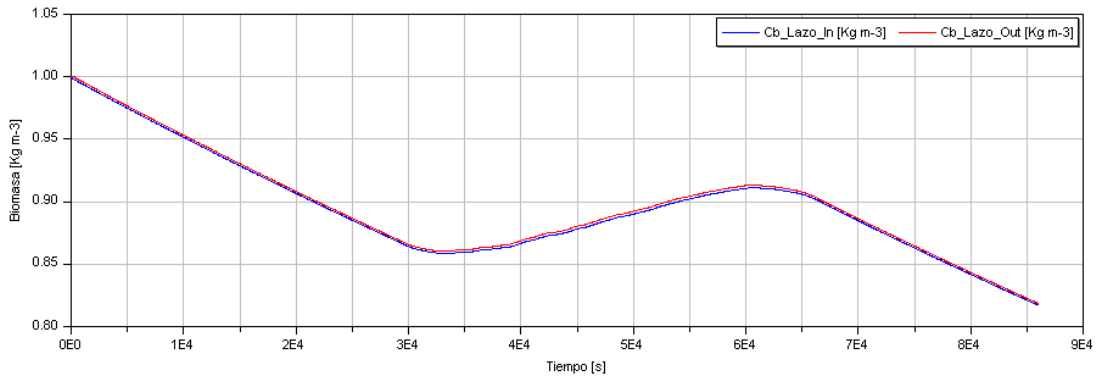


Figura 60: Evolución de la concentración de biomasa

Por último, en las Figuras 61 y 62 se muestran las fracciones molares de  $O_2$  y de  $CO_2$  en el gas que es liberado por el fotobiorreactor. Como era de esperar, la fracción molar de  $O_2$ ,  $yO_2(t)$ , aumenta en las horas de sol coincidiendo con la fotosíntesis de las microalgas, por otro lado también se observa como, pese a las inyecciones de  $CO_2$  en fase gaseosa en el lazo, éste es prácticamente absorbido por el cultivo y, por tanto, su fracción molar a la salida,  $yCO_2(t)$ , es mínima.

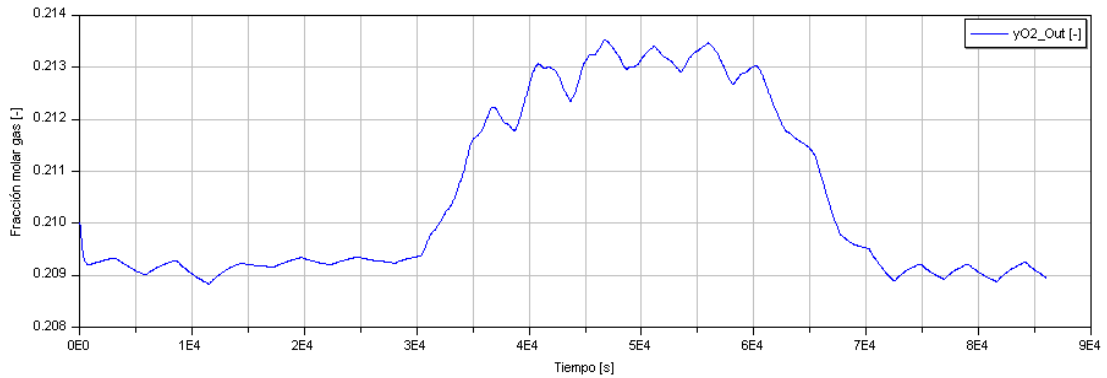


Figura 61: Fracción molar de  $O_2$  en el gas de salida

## 5.5. Eficiencia de la librería

La librería presentada, además de permitir una construcción y configuración de modelos muy sencilla y potente, permitiendo además la ampliación con otras librerías, y tener una gran capacidad para la medición de cualquier variable en cualquier punto, permite realizar simulaciones con una cantidad considerable de datos de entrada en tiempos bastante reducidos.

En la Tabla 5 se muestran los tiempos que se han obtenido al simular el ejemplo presentado en la Sección 4 haciendo uso de distintos algoritmos. Todas las simulaciones se han realizado en

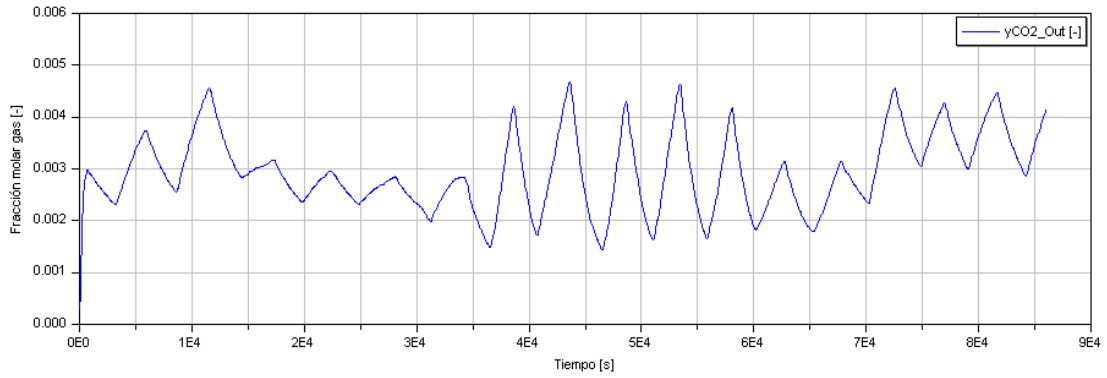


Figura 62: Fracción molar de  $CO_2$  en el gas de salida

la versión 6.1 de *Dymola*, sobre una máquina virtual de *Windows XP*, a la cual solo se le permite el acceso a un único núcleo del procesador. La maquina virtual corre sobre un ordenador portatil *MacBook Pro* con un procesador *i7* de primera generación.

Tabla 5: Tiempos de simulación en función del algoritmo y la sensibilidad

Algoritmo	Sensibilidad	Tiempo de simulación
<i>Dassl</i>	$10^{-5}$	125,00 s
	$10^{-10}$	300,00 s
<i>Dopri45 - order 5</i>	$10^{-5}$	2,61 s
	$10^{-10}$	10,09 s
<i>Dopri853 - order 8</i>	$10^{-5}$	3,76 s
	$10^{-10}$	10,23 s
<i>Esdirk45a - order 5 stiff</i>	$10^{-5}$	48,34 s
	$10^{-10}$	155,00 s
<i>Lsodar</i>	$10^{-5}$	3,19 s
	$10^{-10}$	9,42 s
<i>Radau lla - order 5 stiff</i>	$10^{-5}$	39,76 s
	$10^{-10}$	119,14 s

Todos los resultados de la Tabla 5 han obtenido, al menos con una simple visualización de su evolución, las mismas salidas, además de detectar el mismo número de eventos de estado. Las gráficas de simulación que se muestran en esta sección se han obtenido utilizando el algoritmo *Dopri45* con una sensibilidad de  $10^{-10}$ .

## 6. Conclusiones y líneas futuras de trabajo

En las secciones anteriores se ha presentado la librería diseñada para el modelado y simulación de fotobiorreactores *PhotoBioLib*, las principales ventajas que aporta el uso de esta librería sobre otras opciones son:

- Modelos basados en primeros principios. Lo cual aporta ventajas sobre modelos basados en funciones de transferencia, cajas negras u otras estrategias.
- Gran potencial de configuración. A partir de las partes preconstruidas y las clases básicas se podrá construir, sencilla y rápidamente, cualquier tipo de fotobiorreactor.
- Facilidad de uso. Puede ser utilizado por cualquier usuario sin necesidad de tener conocimientos previos de programación, arrastrando y uniendo las distintas partes.
- Gran parecido de los modelos con la realidad. Se pueden construir modelos añadiendo partes y sensores como si se tratara de un sistema real. Esto por un lado permite reproducir fácilmente plantas reales ya existentes y, por otro, el crear plantas o probar modificaciones de las mismas en simulación antes de implementarlo en la realidad.
- Velocidad de simulación. El uso del lenguaje *Modelica*, y más concretamente del entorno *Dymola*, permiten que modelos con miles de ecuaciones y tiempos largos de simulación, con pequeños muestreos, como el diseñado en la Figura 46, puedan simular días completos en menos de 3 segundos. Esto es posible debido a que la herramienta *Dymola* realiza un pretratamiento de las ecuaciones diferenciales para posteriormente traducir el modelo a lenguaje *C*, siendo esto transparente para el usuario.
- Gran facilidad para la interconexión con otros modelos o librerías. A los modelos creados con la librería *PhotoBioLib* se pueden incluir otros componentes ya disponibles en *Modelica* como bloques para el tratamiento de señales o controladores, o otras librerías como, por ejemplo, alguna que modele la temperatura dentro de un invernadero para simular el comportamiento de un fotobiorreactor dentro del mismo.

Respecto a las posibles mejoras que se pueden incluir en la librería se destacan las siguientes:

- Creación de componentes y ejemplos para la simulación de otros tipos de fotobiorreactores. En la actualidad ya está en desarrollo la ampliación de la librería para la simulación de fotobiorreactores abiertos del tipo *raceway*.
- Inclusión de modelos para la simulación de la radiación solar y la temperatura de cualquier parte del mundo en cualquier fecha deseada. En la próxima versión de la librería ya se va a incluir un modelo para la simulación de la radiación en función de la fecha, la longitud y la latitud.
- Implementación de un paquete de controladores. Especialmente de control predictivo basado en modelo.
- Posibilidad de sintonizar los parámetros y validar los modelos a partir de datos registrados de sistemas reales y de una forma más o menos automática.

## **Agradecimientos**

El autor agradece el apoyo financiero del Ministerio de Economía y Competitividad en virtud de los proyectos DPI2011-27818-C02-01 y DPI2011-27818-C02-02, de la beca FPI enmarcada en este último y del proyecto CENIT VIDA financiado por el Ministerio de Economía y Competitividad y el CDTI.

## Referencias

- [1] <http://www.aspentech.com/products/aspent-plus.aspx>.
- [2] <http://www.comsol.com/comsol-multiphysics>.
- [3] <http://www.ni.com/labview/esa/>.
- [4] <http://www.ansys.com/Products/Simulation+Technology/Fluid+Dynamics/Fluid+Dynamics+Products/ANSYS+Fluent>.
- [5] <http://www.mathworks.es/products/>.
- [6] <http://meteonorm.com/products/meteonorm-software/>.
- [7] [http://www.intelligen.com/superpro\\_overview.html](http://www.intelligen.com/superpro_overview.html).
- [8] <http://www.lambdares.com/tracepro>.
- [9] K. Cheenkachorn, N. Choosri, A. Chutrapukdeekul, and T. Kangsadan. Computational Modeling of Microalgae Culture Using a Helical Photobioreactor. In *Recent Advances in Fluid Mechanics and Heat & Mass Transfer*, volume 2, pages 300–305, 2011.
- [10] T. A. Costache, F. G. Acién Fernández, M. M. Morales, J. M. Fernández-Sevilla, I. Stamatina, and E. Molina. Comprehensive model of microalgae photosynthesis rate as a function of culture conditions in photobioreactors. *Applied microbiology and biotechnology*, 97(17):7627–37, Sept. 2013.
- [11] R. Davis, A. Aden, and P. T. Pienkos. Techno-economic analysis of autotrophic microalgae for fuel production. *Applied Energy*, 88(10):3524–3531, Oct. 2011.
- [12] I. Fernández, F. G. Acién, J. M. Fernández, J. L. Guzmán, J. J. Magán, and M. Berenguel. Dynamic model of microalgal production in tubular photobioreactors. *Bioresource technology*, 126:172–81, Dec. 2012.
- [13] V. Goetz, F. Le Borgne, J. Pruvost, G. Plantard, and J. Legrand. A generic temperature model for solar photobioreactors. *Chemical Engineering Journal*, 175:443–449, Nov. 2011.
- [14] P. Iancu, V. Ple, and S. Velea. Flue Gas CO<sub>2</sub> Capture by Microalgae in Photobioreactor : a Sustainable Technology. *Chemical Engineering Transactions*, 29(2006):799–804, 2012.
- [15] J. Miñón Martínez. *Modelo de biomasa algal para la captura de dióxido de carbono y su desarrollo en un software de evaluación*. PhD thesis, Universidad de Valladolid, 2012.
- [16] V. Papáček, V. Štumbauer, D. Štys, K. Petera, and C. Matonoha. Growth impact of hydrodynamic dispersion in a Couette–Taylor bioreactor. *Mathematical and Computer Modelling*, 54(7-8):1791–1795, Oct. 2011.
- [17] K. J. Sink. *Design and Construction of a Lighting System to Illuminate a Photobioreactor*. PhD thesis, Ohio University, 2011.
- [18] B. Tamburic, F. W. Zemichael, P. Crudge, G. C. Maitland, and K. Hellgardt. Design of a novel flat-plate photobioreactor system for green algal hydrogen production. *International Journal of Hydrogen Energy*, 36(11):6578–6591, June 2011.
- [19] L. B. Wu, Z. Li, and Y. Z. Song. Hydrodynamic conditions in designed spiral photobioreactors. *Bioresource technology*, 101(1):298–303, Jan. 2010.

## A. Parámetros y variables

Tabla 6: Parámetros y variables

Parámetro / Variable	Descripción	Valor y unidades
$\alpha$	Factor de distribución	[—]
$A_1$	Factor preexponencial	[—]
$A_2$	Factor preexponencial	[—]
$B_1$	Factor preexponencial	[—]
$B_2$	Factor preexponencial	[—]
$aR$	Absortividad de radiación solar	[—]
$C_1$	Energía de activación	[—]
$C_2$	Energía de activación	[—]
$C_b(t)$	Concentración de biomasa	[Kg m <sup>-3</sup> ]
$C_{bt}(t)$	Cantidad total de biomasa	[Kg]
$CO_2(t)$	Concentración de $CO_2$ en la fase líquida	[mol m <sup>-3</sup> ]
$CO_{2t}(t)$	Moles totales de $CO_2$ en la fase líquida	[mol]
$CO_{2g}(t)$	Concentración de $CO_2$ en la fase gaseosa	[mol m <sup>-3</sup> ]
$CO_{2gt}(t)$	Moles totales de $CO_2$ en la fase gaseosa	[mol]
$CO_2^*(t)$	Concentración en equilibrio de $CO_2$ con la fase gaseosa	[mol m <sup>-3</sup> ]
$C_T(t)$	Concentración de carbono inorgánico total en la fase líquida	[mol m <sup>-3</sup> ]
$C_{Tt}(t)$	Moles totales de carbono inorgánico total en la fase líquida	[mol]
$C_v$	Capacidad calorífica volumétrica	[Jm <sup>-3</sup> K <sup>-1</sup> ]
$d_t$	Trayectoria de la luz	[m]
$Ea_1$	Energía de activación	[mol J <sup>-1</sup> ]
$Ea_2$	Energía de activación	[mol J <sup>-1</sup> ]
$eRad(t)$	Existencia de radiación solar	[—]
$eGas(t)$	Existencia de gas	[—]
$eLiq(t)$	Existencia de líquido	[—]
$\epsilon(t)$	Hold-up	[—]
$fC_{b,f}(t)$	Flujo de biomasa por la fotosíntesis	[Kg s <sup>-1</sup> ]
$fC_{b,m}(t)$	Flujo de biomasa por un flujo de líquido	[Kg s <sup>-1</sup> ]
$fO_{2,f}(t)$	Flujo de $O_2$ por la fotosíntesis	[mol s <sup>-1</sup> ]
$fO_{2,m}(t)$	Flujo de $O_2$ por un flujo de líquido	[mol s <sup>-1</sup> ]
$fO_{2,gl}(t)$	Flujo de $O_2$ por la transferencia de materia entre fases	[mol s <sup>-1</sup> ]
$fO_{2g,m}(t)$	Flujo de $O_2$ por un flujo de gas	[mol s <sup>-1</sup> ]

Parámetro / Variable	Descripción	Valor y unidades
$fCO_{2,f}(t)$	Flujo de $CO_2$ por la fotosíntesis	$[mol\ s^{-1}]$
$fCO_{2,m}(t)$	Flujo de $CO_2$ por un flujo de líquido	$[mol\ s^{-1}]$
$fCO_{2,gl}(t)$	Flujo de $O_2$ por la transferencia de materia entre fases	$[mol\ s^{-1}]$
$fCO_{2g,m}(t)$	Flujo de $CO_2$ por un flujo de gas	$[mol\ s^{-1}]$
$fN_{2g,m}(t)$	Flujo de $N_2$ por un flujo de gas	$[mol\ s^{-1}]$
$h$	Coefficiente de transmisión calorífica	$[Js^{-1}m^{-2}K^{-1}]$
$H_{O_2}$	Constante de Henry para el $O_2$ en el agua a 20	$1,07 [mol\ atm^{-1}m^{-3}]$
$H_{CO_2}$	Constante de Henry para el $CO_2$ en el agua a 20°.	$38,36 [mol\ atm^{-1}m^{-3}]$
$I_{av}(t)$	Radiación media en cada punto del reactor	$[\mu E\ m^{-2}\ s^{-1}]$
$I_c(t)$	Radiación solar	$[W\ m^{-2}]$
$I_0(t)$	Radiación solar en la superficie horizontal sin obstáculos	$[\mu E\ m^{-2}\ s^{-1}]$
$K_a$	Coefficiente de extinción de biomasa	$[m^2Kg^{-1}]$
$K_i$	Parametro de forma	$[uE\ m^{-2}s^{-1}]$
$K_{la,O_2}(t)$	Coefficiente de transferencia de masa volumetrico para el $O_2$	$[s^{-1}]$
$K_{la,CO_2}(t)$	Coefficiente de transferencia de masa volumetrico para el $CO_2$	$[s^{-1}]$
$K_{O_2}$	Constante de inhibición de oxigeno	$0,7202 [mol\ m^{-3}]$
$K_w$	Constante de equilibrio	$10^{-14}[-]$
$K_1$	Constante de equilibrio	$10^{-6,381}[-]$
$K_2$	Constante de equilibrio	$10^{-10,377}[-]$
$m$	Parámetro de forma	$[-]$
$MO_2$	Peso molar del $O_2$	$3,2 \cdot 10^{-2} [Kg\ mol^{-1}]$
$M_{CO_2}$	Peso molar del $CO_2$	$4,4 \cdot 10^{-2} [Kg\ mol^{-1}]$
$n$	Exponente de forma	$[-]$
$N_{2g}(t)$	Concentración de $N_2$ en la fase gaseosa	$[mol\ m^{-3}]$
$N_{2gt}(t)$	Moles totales de $N_2$ en la fase gaseosa	$[mol]$
$O_2(t)$	Concentración de $O_2$ en la fase líquida	$[mol\ m^{-3}]$
$O_{2t}(t)$	Moles totales de $O_2$ en la fase líquida	$[mol]$
$O_{2g}(t)$	Concentración de $O_2$ en la fase gaseosa	$[mol\ m^{-3}]$
$O_{2gt}(t)$	Moles totales de $O_2$ en la fase gaseosa	$[mol]$
$O_2^*(t)$	Concentración en equilibrio de $O_2$ con la fase gaseosa	$[mol\ m^{-3}]$
$PO_2(t)$	Producción de $O_2$ , en función de la biomasa	$[s^{-1}]$
$PO_{2,max}$	Tasa máxima de fotosíntesis	$[s^{-1}]$
$PCO_2(t)$	Producción de $CO_2$ , en función de la biomasa	$[s^{-1}]$

Parámetro / Variable	Descripción	Valor y unidades
$pH(t)$	Potencial de pH	[-]
$P_T$	Presión total	[ <i>atm</i> ]
$Q(t)$	Flujo de calor	[ <i>J s</i> <sup>-1</sup> ]
$Q_t(t)$	Calor total	[ <i>J</i> ]
$Q_g(t)$	Flujo de gas	[ <i>m</i> <sup>3</sup> <i>s</i> <sup>-1</sup> ]
$Q_l(t)$	Flujo de líquido	[ <i>m</i> <sup>3</sup> <i>s</i> <sup>-1</sup> ]
$r$	Tasa de respiración	[-]
$R$	Constante universal de los gases ideales	8,314472 [ <i>JK</i> <sup>-1</sup> <i>mol</i> <sup>-1</sup> ]
$S_{cond}$	Superficie de contacto en transferencia de calor	[ <i>m</i> <sup>2</sup> ]
$S_{rad}$	Superficie donde incide la radiación solar	[ <i>m</i> <sup>2</sup> ]
$T(t)$	Temperatura del líquido	[ <i>K</i> ]
$V_g(t)$	Volumen de gas	[ <i>m</i> <sup>-3</sup> ]
$V_l(t)$	Volumen de líquido	[ <i>m</i> <sup>3</sup> ]
$Y_{bo}$	Coefficiente de rendimiento de biomasa	[-]
$y_{O_2}(t)$	Fracción molar de <i>O</i> <sub>2</sub> en la fase gaseosa	[-]
$y_{CO_2}(t)$	Fracción molar de <i>CO</i> <sub>2</sub> en fase gaseosa	[-]
$y_{N_2}(t)$	Fracción molar de <i>N</i> <sub>2</sub> en fase gaseosa	[-]
$y_T(t)$	Suma de las fracciones molares	[-]
$z$	Parámetro de forma	[-]

## B. Documentación

En las páginas a continuación de ésta se incluye la documentación de referencia de la librería *PhotoBioLib*. Hay que tener en consideración que es una librería en pleno desarrollo, la librería será objeto de una tesis doctoral del mismo autor que este trabajo. Por esto, en la documentación se pueden encontrar comentarios en el código, así como clases y paquetes a los que no se hacen referencia y forman parte de futuras ampliaciones de la librería.

## PhotoBioLib

Package for modeling photobioreactors. TFM version

### Package Content

Name	Description
<a href="#">Basic</a>	Basic elements
<a href="#">Examples</a>	Examples
<a href="#">Icons</a>	Icons package
<a href="#">Interfaces</a>	Interfaces package
<a href="#">Parts</a>	Parts package
<a href="#">Records</a>	Records package
<a href="#">Sensors</a>	Sensors package
<a href="#">UsersGuide</a>	Users Guide
<a href="#">Utilities</a>	Utilities package

## PhotoBioLib.Basic

Basic elements

### Package Content

Name	Description
<a href="#">Biomass</a>	Basic biomass elements
<a href="#">Gas</a>	Basic gas elements
<a href="#">Heat</a>	Basic heat elements
<a href="#">Liquid</a>	Basic liquid elements

## PhotoBioLib.Basic.Biomass

Basic biomass elements

### Package Content

Name	Description
<a href="#">AlgaeSource</a>	Algae activity
<a href="#">BioCapacitor</a>	Liquid capacitor
<a href="#">BioResistor</a>	Liquid resistor
<a href="#">ColumnSection</a>	Column Section
<a href="#">FlowRegulator_LiqFCns</a>	Flow regulator with constant liquid volume
<a href="#">FlowRegulator_LiqFVar</a>	Flow regulator with variable liquid volume
<a href="#">LiqGasResistor_Column</a>	Mass transfer in the column
<a href="#">LiqGasResistor_Loop</a>	Resistor de fase líquida a gaseosa, lazo
<a href="#">LiqGasResistor_Partial</a>	Mass transfer
<a href="#">LoopSection</a>	Loop section

## PhotoBioLib.Basic.Biomass.AlgaeSource

Algae activity



Parameters

Type	Name	Default	Description
<a href="#">Geometry</a>	geometry		Geometrical parameters
Real	alpha	geometry.alpha	Distribution solar factor [1]
Real	dt	geometry.dt	Total diameter [m]
<a href="#">Algae</a>	algae		Algae parameters
Real	A1	algae.A1	Preexponential factor [1]

Real	A2	algae.A2	Preexponential factor [1]
Real	B1	algae.B1	Preexponential factor [1]
Real	B2	algae.B2	Preexponential factor [1]
Real	C1	algae.B1	Activation energie [1]
Real	C2	algae.C2	Activation energie [1]
Real	Ea1	algae.Ea1	Activation energie [mol J-1]
Real	Ea2	algae.Ea2	Activation energie [mol J-1]
Real	Ka	algae.Ka	Extinction coefficient [m2 Kg-1]
Real	Ki	algae.Ki	Form parameter [uE m-2 s-1]
Real	KO2	algae.KO2	Oxygen inhibition constant [mol m-3]
Real	m	algae.m	Form parameter [1]
Real	n	algae.n	Form exponent [1]
Real	nO2	algae.nO2	Form parameter [1]
Real	PO2max	algae.PO2max	Maximum photosynthesis rate [KgO2 KgB-1 s-1]=1/s]
Real	r	algae.r	Respiration factor [1]
Real	R	algae.R	Gas constant [J K-1 mol-1]
Real	Ybo	algae.Ybo	Biomass yield coefficient [KgB KgO2-1]
Real	z	algae.z	Form parameter [1]
Real	epsAlgae	15	

Connectors

Type	Name	Description
<a href="#">BioCon</a>	lCon	Liquid connector
input ReallInput	lo	Input radiation [uE m-2 s-1]

Modelica definition

```
model AlgaeSource "Algae activity"
// Icon and connectors
extends PhotoBioLib.Interfaces.Partial.Biomass.BioRadl;
extends PhotoBioLib.Icons.Basic.Biomass.AlgaeSourceIcon;

// Constants and math functions
import Modelica.Math.log10;
import Modelica.Math.exp;
import PhotoBioLib.Records.Constants "Constants";
constant Real MO2(unit="Kg mol-1") = Constants.MO2
  "Molecular weight of oxygen";
constant Real MCO2(unit="Kg mol-1") = Constants.MCO2
  "Molecular weight of carbon dioxide";

// Parameters
//

// Geometrical parameters - Cambiar
parameter PhotoBioLib.Records.Geometry.Geometry geometry
  "Geometrical parameters";
parameter Real alpha(unit="1") = geometry.alpha "Distribution solar factor";
parameter Real dt(unit="m") = geometry.dt "Total diameter";

// Algae parameters
parameter PhotoBioLib.Records.Algae.Algae algae "Algae parameters";
parameter Real A1(unit="1") = algae.A1 "Preexponential factor";
parameter Real A2(unit="1") = algae.A2 "Preexponential factor";
parameter Real B1(unit="1") = algae.B1 "Preexponential factor";
parameter Real B2(unit="1") = algae.B2 "Preexponential factor";
parameter Real C1(unit="1") = algae.B1 "Activation energie";
parameter Real C2(unit="1") = algae.C2 "Activation energie";
parameter Real Ea1(unit="mol J-1") = algae.Ea1 "Activation energie";
parameter Real Ea2(unit="mol J-1") = algae.Ea2 "Activation energie";
parameter Real Ka(unit="m2 Kg-1") = algae.Ka "Extinction coefficient";
parameter Real Ki(unit="uE m-2 s-1") = algae.Ki "Form parameter";
parameter Real KO2(unit="mol m-3") = algae.KO2 "Oxygen inhibition constant";
parameter Real m(unit="1") = algae.m "Form parameter";
parameter Real n(unit="1") = algae.n "Form exponent";
parameter Real nO2(unit="1") = algae.nO2 "Form parameter";
parameter Real PO2max(unit="KgO2 KgB-1 s-1)=1/s") = algae.PO2max
  "Maximum photosynthesis rate";
parameter Real r(unit="1") = algae.r "Respiration factor";
parameter Real R(unit="J K-1 mol-1") = algae.R "Gas constant";
parameter Real Ybo(unit="KgB KgO2-1") = algae.Ybo "Biomass yield coefficient";
parameter Real z(unit="1") = algae.z "Form parameter";

// Variables
//
Real Iav(unit="uE m-2 s-1") "Average solar irradiance";
Real PO2(unit="KgO2 KgB-1 s-1") "Photosynthesis rate";
Real PCO2(unit="KgCO2 KgB-1 s-1") "Carbon dioxide consuption rate";
Real pH(unit="1") "pH";

// Event variables
Boolean eRad "Availability of radiation";
Boolean eO2 "Availability of oxygen";

Real aux;
```

```

parameter Real epsAlgae = 15;//15;

initial equation
eRad = Io>epsAlgae;
eO2 = lCon.O2>0;

equation
when {pre(eRad) and Io < epsAlgae, not pre(eRad) and Io>epsAlgae} then //< <=
eRad = Io>epsAlgae;
end when;

when {pre(eO2) and lCon.O2 <= 0, not pre(eO2) and lCon.O2>0} then
eO2 = lCon.O2 >0;
end when;

lCon.flowQ = 0;

if eRad then
//PO2 = (Io*alpha)/(Ka*lCon.Cb*dt)*(1 - exp(-Ka*dt*lCon.Cb));
pH = -log10(lCon.H);
aux = noEvent(if lCon.O2>0 then (1-(lCon.O2/KO2)^z) else 1);
//aux = 1-(lCon.O2/KO2)^z;
PO2 = (PO2max*Iav^n)/(Ki*exp(Iav*m) + Iav^n) * aux *(B1*exp(-C1/pH) -B2*exp(-C2/pH))
*(A1*exp(-Ea1/(R*(lCon.T))) -A2*exp(-Ea2/(R*(lCon.T)))) -r*PO2max;//*(1-exp(-lCon.O2*nO2));

PCO2 = -PO2;
else
Iav = 0;
pH = 0;
aux=0;
//PO2 = noEvent(if lCon.O2 >0 then -r*PO2max else 0);
//PO2 = -r*PO2max;
PO2 = -r*PO2max;//*(1-exp(-lCon.O2*nO2));//(1-(1E-10)^lCon.O2);
//PO2 = if eO2 then -r*PO2max else 0;
PCO2 = -PO2;
end if;

-lCon.flowCb = lCon.Vol*PO2*lCon.Cb*Ybo;
-lCon.flowO2 = lCon.Vol*PO2*lCon.Cb/MO2;
-lCon.flowCt = lCon.Vol*PCO2*lCon.Cb/MCO2;

lCon.flowVol = 0;
lCon.flowCO2 = 0;
lCon.flowH = 0;
end AlgaeSource;

```

## PhotoBioLib.Basic.Biomass.BioCapacitor

### Liquiq capacitor



### Parameters

Type	Name	Default	Description
replaceable class	con	<a href="#">LiqHeatI</a>	
replaceable class	icon	<a href="#">LiqCapacitorICon</a>	lCon
replaceable class	initialValues	<a href="#">InitialIq</a>	
<a href="#">InitialBio</a>	initialLiq	extends PhotoBioLib.Records....	Initial liquid values
<a href="#">HeatPar</a>	heatPar		Heat parameters
Real	Cv	heatPar.Cv	Volumetric heat capacity [J m-3 °K-1]
Real	Volini	initialLiq.Volini	Initial liquid volume [m3]
Real	Tini	initialLiq.Tini	Initial temperature [°K]
Real	Cbini	initialLiq.Cbini	Initial biomass concentration [Kg m-3]
Real	O2ini	initialLiq.O2ini	Initial oxygen concentration [mol m-3]
Real	CO2ini	initialLiq.CO2ini	Initial carbon dioxide concetration [mol m-3]
Real	Ctini	initialLiq.Ctini	Initial total inorganic carbon concentration [mol m-3]
Real	Hini	initialLiq.Hini	Initial hydrogen concentration [mol m3-]

### Connectors

Type	Name	Description
replaceable class	con	
<a href="#">BioCon</a>	lCon	Liquid connector
<a href="#">HeatCon</a>	hCon	Heat connector
replaceable class	icon	
replaceable class	initialValues	

### Modelica definition

```

model BioCapacitor "Liquiq capacitor"
/* Pendiente
No se considera que el volumen puede ser 0 o bajar. Útil para tanques vacios

```

```

*/
extends PhotoBioLib.Basic.Liquid.LiqCapacitor(
redeclare class icon = PhotoBioLib.Icons.Basic.Biomass.BioCapacitorICon,
redeclare class con = PhotoBioLib.Interfaces.Partial.Biomass.BioHeatI,
redeclare class initialValues = PhotoBioLib.Records.Initial.InitialBio);

import Modelica.Math.Log10;
import PhotoBioLib.Records.Constants;

// Equilibrium constants
constant Real Kw(unit="1") = Constants.Kw "Equilibrium constant";
constant Real K1(unit="1") = Constants.K1 "Equilibrium constant";
constant Real K2(unit="1") = Constants.K2 "Equilibrium constant";

// Parámetros para marcar potenciales iniciales
parameter Real Cbini(unit="Kg m-3") = initialLiq.Cbini
"Initial biomass concentration";
parameter Real O2ini(unit="mol m-3") = initialLiq.O2ini
"Initial oxygen concentration";
parameter Real CO2ini(unit="mol m-3") = initialLiq.CO2ini
"Initial carbon dioxide concetration";
parameter Real Ctini(unit="mol m-3") = initialLiq.Ctini
"Initial total inorganic carbon concentration";
parameter Real Hini(unit="mol m3-") = initialLiq.Hini
"Initial hydrogen concentration";

// Variables
Real Cbt(unit="Kg",start=Cbini*Volini,fixed=false)
"Total kilograms of biomass";
Real O2t(unit="mol",start=O2ini*Volini,fixed=false) "Total moles of oxygen";
Real Ctt(unit="mol",start=Ctini*Volini,fixed=false)
"Total moles of inorganic carbon";
Real pH(unit="1") "pH";

initial equation
lCon.H =Hini;
lCon.CO2 =CO2ini;

equation

when O2t <0 then
reinit(O2t,0);
end when;

when Ctt<0 then
reinit(Ctt,0);
end when;

// Integración de componentes
der(Cbt) = lCon.flowCb;
der(O2t) = lCon.flowO2;
der(Ctt) = lCon.flowCt;

if eVol then
lCon.Cb = Cbt/lCon.Vol;
lCon.O2 = O2t/lCon.Vol;
lCon.Ct = Ctt/lCon.Vol;
else
lCon.Cb = 0;
lCon.O2 = 0;
lCon.Ct = 0;
end if;

pH = -log10(lCon.H);
// Cálculo de CO2 e H
der(lCon.Ct) = (1 + K1/lCon.H + K1*K2/lCon.H^2)*der(lCon.CO2) - lCon.CO2*(K1/lCon.H^2
+ 2*K1*K2/lCon.H^3)*der(lCon.H);
der(lCon.H) = (K1/lCon.H + 2*K1*K2/lCon.H^2)/(1 + Kw/lCon.H^2 + K1*lCon.CO2/lCon.H^2
+ 4*2*K1*K2/lCon.H^3)*der(lCon.CO2);// + lCon.flowH;

end BioCapacitor;

```

## PhotoBioLib.Basic.Biomass.BioResistor

### Liquid resistor



### Parameters

Type	Name	Default	Description
replaceable class	con	<a href="#">Liq2FlowI</a>	
replaceable class	icon	<a href="#">LiqResistorICon</a>	
<a href="#">HeatPar</a>	heatPar		Heat parameters
Real	Cv	heatPar.Cv	Volumetric heat capacity [J m-3 °K-1]

### Connectors

Type	Name	Description
replaceable class	con	
<a href="#">BioCon</a>	con1	Liquid connector on the left

<a href="#">BioCon</a>	con2	Liquid connector on the right
input ReallInput	qLiq	Input liquid flow [m3 s-1]
replaceable class icon		

### Modelica definition

```

model BioResistor "Liquid resistor"
  extends PhotoBioLib.Basic.Liquid.LiqResistor(redeclare class icon =
    PhotoBioLib.Icons.Basic.Biomass.BioResistorIcon, redeclare class con =
    PhotoBioLib.Interfaces.Partial.Biomass.Bio2Flow1);
equation
  con1.flowO2 = con1.Q2*con1.flowVol;
  con2.flowO2 = -con1.flowO2;
  con1.flowCt = con1.Ct*con1.flowVol;
  con2.flowCt = -con1.flowCt;
  con1.flowCb = con1.Cb*con1.flowVol;
  con2.flowCb = -con1.flowCb;

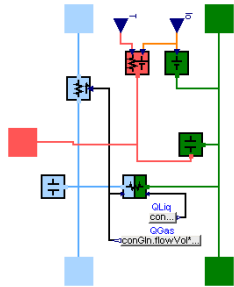
  con1.flowH = 0;
  //con1.flowH = con1.H*con1.flowVol;
  con2.flowH = -con1.flowH;

  con2.flowCO2 = -con1.flowCO2;
  con2.flowCO2 = 0;
end BioResistor;

```

## PhotoBioLib.Basic.Biomass.ColumnSection

### Column Section



### Parameters

Type	Name	Default	Description
<a href="#">GeometryColumn</a>	geometry		Geometry parameters
<a href="#">HeatParColumn</a>	heatPar		Heat parameters
<a href="#">MassTransferColumn</a>	massTransfer		Mass transfer parameters
<a href="#">InitialGas</a>	initialGas		Initial gas values
<a href="#">InitialBio</a>	initialLiq		Initial liq values
<a href="#">Algae</a>	algae		Algae parameters

### Connectors

Type	Name	Description
<a href="#">BioCon</a>	conLin	Liquid connector on the left
<a href="#">BioCon</a>	conLout	Liquid connector on the right
<a href="#">GasCon</a>	conGOut	Gas connector on the left
<a href="#">GasCon</a>	conGIn	Gas connector on the right
input ReallInput	Io	Input radiation [uE m-2 s-1]
input ReallInput	T	Input temperature [°K]
<a href="#">HeatCon</a>	hCon	Heat connector

### Modelica definition

```

model ColumnSection "Column Section"
  extends PhotoBioLib.Interfaces.Partial.Biomass.Bio2Gas2Rad1Heat1_V;
  extends PhotoBioLib.Icons.Basic.Biomass.ColumnSectionIcon;

  parameter PhotoBioLib.Records.Geometry.GeometryColumn geometry
    "Geometry parameters";
  parameter PhotoBioLib.Records.Heat.HeatParColumn heatPar "Heat parameters";

```

```

parameter PhotoBioLib.Records.MassTransfer.MassTransferColumn massTransfer
  "Mass transfer parameters";

parameter PhotoBioLib.Records.Initial.InitialGas initialGas
  "Initial gas values";
parameter PhotoBioLib.Records.Initial.InitialBio initialBio
  "Initial liq values";
parameter PhotoBioLib.Records.Algae.Algae algae "Algae parameters";

PhotoBioLib.Basic.Biomass.AlgaeSource algaeSource(algae=algae, geometry=
  geometry);
PhotoBioLib.Basic.Gas.GasCapacitor gasCapacitor(initialGas=initialGas);
PhotoBioLib.Basic.Gas.GasResistor gasResistor;
PhotoBioLib.Basic.Biomass.BioCapacitor liqCapacitor(
  VolIn=geometry.Vol,
  initialLiq=initialLiq,
  heatPar=heatPar);
LiqGasResistor_Column liqGasResistor_Column(
  geometry=geometry,
  massTransfer=massTransfer);
Modelica.Blocks.Sources.RealExpression QLiq(
  y=conLin.flowVol);
Modelica.Blocks.Sources.RealExpression QGas(
  y=conGIn.flowVol*conGIn.Vol/geometry.Vol);
PhotoBioLib.Basic.Heat.HeatConvRad heatConvRad(geometry=geometry, heatPar=
  heatPar);

```

```

equation
  connect(conGOut, gasResistor.con2);
  connect(gasResistor.con1, conGIn);
  connect(gasCapacitor.con, gasResistor.con1);
  connect(liqGasResistor_Column.conG, gasCapacitor.con);
  connect(QGas.y, liqGasResistor_Column.Qgas);
  connect(QGas.y, gasResistor.qGas);
  connect(QLiq.y, liqGasResistor_Column.Qliq);
  connect(conLout, liqGasResistor_Column.conL);
  connect(Io, algaeSource.Io);
  connect(Io, heatConvRad.Io);
  connect(T, heatConvRad.Text);
  connect(liqCapacitor.lCon, conLin);
  connect(liqCapacitor.lCon, conLout);
  connect(algaeSource.lCon, liqCapacitor.lCon);
  connect(heatConvRad.hCon, liqCapacitor.hCon);
  connect(hCon, liqCapacitor.hCon);
end ColumnSection;

```

## PhotoBioLib.Basic.Biomass.FlowRegulator\_LiqFCons

### Flow regulator with constant liquid volume



### Parameters

Type	Name	Default	Description
<a href="#">Geometry</a>	geometry		Geometrical parameters
Real	At	geometry.At	Section area [m2]
Real	dX	geometry.dX	Length [m]

### Connectors

Type	Name	Description
input ReallInput	Qlin	Input liquid flow [m3 s-1]
output ReallOutput	Qlout	Output liquid flow [m3 s-1]
output ReallOutput	Qgout	Output gas flow [m3 s-1]
<a href="#">GasCon</a>	gasCon	Gas connector

### Modelica definition

```

model FlowRegulator_LiqFCons
  "Flow regulator with constant liquid volume"
  extends PhotoBioLib.Interfaces.Partial.Biomass.Bio1GasIn_Vel_InOut;
  extends PhotoBioLib.Icons.Basic.Biomass.FlowRegulatorIcon;

  parameter PhotoBioLib.Records.Geometry.Geometry geometry
    "Geometrical parameters";
  parameter Real At(unit="m2")= geometry.At "Section area";
  parameter Real dX(unit="m")=geometry.dX "Length";

  /* Boolean eVol;

  initial equation
    eVol = gasCon.Vol>0;*/

  equation
    /*when {pre(eVol) and gasCon.Vol <=0, not pre(eVol) and gasCon.Vol >0} then
      eVol = gasCon.Vol>0;
    end when;*/

```

```

Qlout = Qlin;
Qgout = Qlin/At * gasCon.Vol/dX;
//Qgout = if eVol then Qlin/At * gasCon.Vol/dX else 0;

gasCon.flowO2 = 0;
gasCon.flowCO2 = 0;
gasCon.flowN2 = 0;
gasCon.flowVol = 0;

```

```
end FlowRegulator_LiqFCons;
```

## PhotoBioLib.Basic.Biomass.FlowRegulator\_LiqFVar

Flow regulator with variable liquid volume



### Parameters

Type	Name	Default	Description
<a href="#">Geometry</a>	geometry		Geometrical parameters
Real	At	geometry.At	Section area [m2]
Real	dX	geometry.dX	Length [m]

### Connectors

Type	Name	Description
input ReaInput	Qlin	Input liquid flow [m3 s-1]
output ReaOutput	Qlout	Output liquid flow [m3 s-1]
output ReaOutput	Qgout	Output gas flow [m3 s-1]
<a href="#">GasCon</a>	gasCon	Gas connector

### Modelica definition

```

model FlowRegulator_LiqFVar
  "Flow regulator with variable liquid volume"
  extends PhotoBioLib.Interfaces.Partial.Biomass.BioGasIn_Vel_InOut;
  extends PhotoBioLib.Icons.Basic.Biomass.FlowRegulatorIcon;

  parameter PhotoBioLib.Records.Geometry.Geometry geometry
    "Geometrical parameters";
  parameter Real At(unit="m2")= geometry.At "Section area";
  parameter Real dX(unit="m")=geometry.dX "Length";
equation
  //Qlout = Qlin;
  //Qgout = Qlin/sArea * gasCon.Vol/dX;
  Qlout = Qlin+der(gasCon.Vol);
  Qgout = Qlout*gasCon.Vol/(At*dX-gasCon.Vol);

  // No hay flujo, solo calculos de velocidades
  gasCon.flowO2 = 0;
  gasCon.flowCO2 = 0;
  gasCon.flowN2 = 0;
  gasCon.flowVol = 0;
end FlowRegulator_LiqFVar;

```

## PhotoBioLib.Basic.Biomass.LiqGasResistor\_Column

Mass transfer in the column



### Parameters

Type	Name	Default	Description
<a href="#">Geometry</a>	geometry		Geometrical parameters
Real	At	geometry.At	Section area [m2]
<a href="#">MassTransfer</a>	massTransfer		Mass transfer parameters
Real	a	massTransfer.a	Form parameter [1]
Real	b	massTransfer.b	Form parameter [1]
Real	KCO2	massTransfer.KCO2	Transfer coefficient for CO2 [1]
Real	eps	0	
Real	limInfGas	eps	

Real	limSupGas	eps	
Real	Vinf	massTransfer.Vinf	Bubble accession rate [m s-1]
Real	C0	massTransfer.C0	Drift flux model parameter [1]

### Connectors

Type	Name	Description
<a href="#">BioCon</a>	conL	Liquid connector
<a href="#">GasCon</a>	conG	Gas connector
input ReaInput	Qliq	Input liquid flow
input ReaInput	Qgas	Input gas flow

### Modelica definition

```

model LiqGasResistor_Column "Mass transfer in the column"
  extends LiqGasResistor_Partial;
  extends PhotoBioLib.Interfaces.Partial.Others.Flow2;

  // En un futuro ponerle entradas
  Real Vgas(unit="m s-1") "Superficial velocity of gas";// = 0.0186;
  Real Vliq(unit="m s-1") "Superficial velocity of liquid";// = 0.0441;

  parameter Real Vinf(unit="m s-1") = massTransfer.Vinf "Bubble accession rate";//0.651;
  parameter Real C0(unit="1") = massTransfer.C0 "Drift flux model parameter";//0.996;
equation

  if gas then
    Vgas = Qgas/At;
    Vliq = Qliq/At;
    epsilon = Vgas/((C0*Vgas+Vliq) + Vinf);
  else
    Vgas = 0;
    Vliq = 0;
    epsilon = 0;
  end if;
end LiqGasResistor_Column;

```

## PhotoBioLib.Basic.Biomass.LiqGasResistor\_Loop

Resistor de fase líquida a gaseosa, lazo



### Parameters

Type	Name	Default	Description
<a href="#">Geometry</a>	geometry		Geometrical parameters
Real	At	geometry.At	Section area [m2]
<a href="#">MassTransfer</a>	massTransfer		Mass transfer parameters
Real	a	massTransfer.a	Form parameter [1]
Real	b	massTransfer.b	Form parameter [1]
Real	KCO2	massTransfer.KCO2	Transfer coefficient for CO2 [1]
Real	eps	0	
Real	limInfGas	eps	
Real	limSupGas	eps	

### Connectors

Type	Name	Description
<a href="#">BioCon</a>	conL	Liquid connector
<a href="#">GasCon</a>	conG	Gas connector

### Modelica definition

```

model LiqGasResistor_Loop "Resistor de fase líquida a gaseosa, lazo"
  extends LiqGasResistor_Partial;

equation
  if gas then
    epsilon = if conG.Vol>0 then conG.Vol/(conG.Vol + conL.Vol) else 0; //(1-exp(-conG.Vol*1000000000));
  else
    epsilon = 0;
  end if;
end LiqGasResistor_Loop;

```

## PhotoBioLib.Basic.Biomass.LiqGasResistor\_Partial

### Mass transfer



### Parameters

Type	Name	Default	Description
<a href="#">Geometry</a>	geometry		Geometrical parameters
Real	At	geometry.At	Section area [m2]
<a href="#">Mass Transfer</a>	massTransfer		Mass transfer parameters
Real	a	massTransfer.a	Form parameter [1]
Real	b	massTransfer.b	Form parameter [1]
Real	KCO2	massTransfer.KCO2	Transfer coefficient for CO2 [1]
Real	cps	0	
Real	limInfGas	cps	
Real	limSupGas	cps	

### Connectors

Type	Name	Description
<a href="#">BioCon</a>	conL	Liquid connector
<a href="#">GasCon</a>	conG	Gas connector

### Modelica definition

```

partial model LiqGasResistor_Partial "Mass transfer"
  extends PhotoBioLib.Interfaces.Partial.Biomass.BioGasI;
  extends PhotoBioLib.Icons.Basic.Biomass.LiqGasResistorIcon;

  // Constants
  import PhotoBioLib.Records.Constants;
  constant Real H2O2=Constants.H2O2;
  constant Real HCO2=Constants.HCO2;
  constant Real Pt=Constants.Pt;
  constant Real Vmol=Constants.Vmol;

  // Parameters
  parameter PhotoBioLib.Records.Geometry.Geometry geometry
    "Geometrical parameters";
  parameter Real At(unit="m2")= geometry.At "Section area";

  parameter PhotoBioLib.Records.MassTransfer.MassTransfer massTransfer
    "Mass transfer parameters";
  //parameter PhotoBioLib.Records.InitialGas.InitialGas initialGas;
  parameter Real a(unit="1")= massTransfer.a "Form parameter";
  parameter Real b(unit="1")= massTransfer.b "Form parameter";
  parameter Real KCO2(unit="1")= massTransfer.KCO2
    "Transfer coefficient for CO2";

  // Variables
  Real O2sat(unit="mol m-3")
    "Equilibrium concentration with gas phase for oxygen";
  Real CO2sat(unit="mol m-3")
    "Equilibrium concentration with gas phase for carbon dioxide";
  Real KlaO2(unit="s-1")
    "Volumetric gas-liquid mass transfer coefficient for oxygen";
  Real KlaCO2(unit="s-1")
    "Volumetric gas-liquid mass transfer coefficient for carbon dioxide";
  Real yO2(unit="1") "Oxygen molar fraction";
  Real yCO2(unit="s-1") "Carbon dioxide molar fraction";
  Real epsilon(unit="1") "Hold-up";

  Boolean gas "Gas availability";

  // Parametros para limites
  parameter Real eps= 0;//1E-7;
  parameter Real limInfGas = eps;// 1E-10;
  parameter Real limSupGas = eps;//1E-10;*10

  //Real restaO2;
  //Real restaCO2;

  initial equation
    gas = conG.Vol>limSupGas;

  equation
  when (pre(gas) and conG.Vol<limInfGas, not pre(gas) and conG.Vol>limSupGas) then
    gas = conG.Vol>limSupGas;//if gas then false else true;//conG.Vol>limSupGas;
  end when;

  conL.flowQ = 0;
  //restaO2 = (O2sat - conL.O2);
  //restaCO2 = (CO2sat - conL.CO2);
  if gas then
    yO2 = conG.O2/(conG.O2 + conG.CO2 + conG.N2);

```



```

yCO2 = conG.CO2/(conG.O2 + conG.CO2 + conG.N2);

conG.flowO2 = conL.Vol*KlaO2*(O2sat - conL.O2);//*(1-exp(-conG.O2*10));
conG.flowCO2 = conL.Vol*KlaCO2*(CO2sat - conL.CO2);//*(1-exp(-conG.CO2*10));

KlaO2 = noEvent(if epsilon>0 then a*epsilon^b else 0);
//KlaO2 = a*epsilon^b;
//KlaO2 = if epsilon>0 then a*epsilon^b else 0;
//KlaO2 = a * (epsilon*(1-exp(-epsilon))) ^b;
KlaCO2 = KCO2*KlaO2;
O2sat = H2O2*Pt*yO2;
CO2sat = HCO2*Pt*yCO2;
conL.flowO2 = -conG.flowO2;
conL.flowCt = -conG.flowCO2;
conG.flowVol = (conG.flowO2 + conG.flowCO2)*Vmol;
else
  yO2 = 0;
  yCO2 = 0;
  conG.flowO2 = 0;
  conG.flowCO2 = 0;

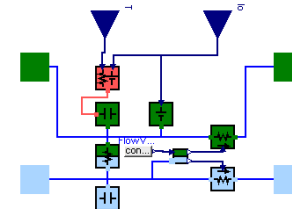
  KlaO2 = 0;
  KlaCO2 = 0;
  O2sat = 0;
  CO2sat = 0;
  conL.flowO2 = 0;
  conL.flowCt = 0;
  conG.flowVol = 0;
end if;

conG.flowN2 = 0;
conL.flowH = 0;
conL.flowCO2 = 0;
conL.flowCb = 0;
conL.flowVol = 0;
end LiqGasResistor_Partial;

```

## PhotoBioLib.Basic.Biomass.LoopSection

### Loop section



### Parameters

Type	Name	Default	Description
<a href="#">Algae</a>	algae		Algae parameters
<a href="#">InitialGas</a>	initialGas		Initial gas values
<a href="#">InitialBio</a>	initialLiq		Initial liquid values
<a href="#">Geometry</a>	geometry		Geometrical parameters
<a href="#">HeatPar</a>	heatPar		Heat parameters
<a href="#">MassTransfer</a>	massTransfer		Mass transfer parameters

### Connectors

Type	Name	Description
<a href="#">BioCon</a>	conL1	Liquid connector on the left
<a href="#">BioCon</a>	conL2	Liquid connector on the right
<a href="#">GasCon</a>	conG1	Gas connector on the left
<a href="#">GasCon</a>	conG2	Gas connector on the right
input ReallInput	Io	Input radiation [uE m-2 s-1]
input ReallInput	T	Input temperatura [°K]

### Modelica definition

```

model LoopSection "Loop section"
  extends PhotoBioLib.Interfaces.Partial.Biomass.Bio2Gas2RadIT1;
  extends PhotoBioLib.Icons.Basic.Biomass.LoopSectionIcon;
  parameter PhotoBioLib.Records.Algae.Algae algae "Algae parameters";

  parameter PhotoBioLib.Records.Initial.InitialGas initialGas
    "Initial gas values";
  parameter PhotoBioLib.Records.Initial.InitialLiq initialLiq
    "Initial liquid values";

```



```

parameter PhotoBioLib.Records.Geometry.Geometry geometry
"Geometrical parameters";
parameter PhotoBioLib.Records.Heat.HeatPar heatPar "Heat parameters";
parameter PhotoBioLib.Records.MassTransfer.MassTransfer massTransfer
"Mass transfer parameters";



PhotoBioLib.Basic.Biomass.BioCapacitor liqCapacitor(
  Volini=geometry.Vol,
  initialLiq=initialLiq,
  heatPar=heatPar);
PhotoBioLib.Basic.Biomass.BioResistor liqResistor(heatPar=heatPar);
PhotoBioLib.Basic.Gas.GasCapacitor gasCapacitor(initialGas=initialGas);
PhotoBioLib.Basic.Gas.GasResistor gasResistor;
PhotoBioLib.Basic.Biomass.AlgaeSource algaeSourceRad(algae=algae);
PhotoBioLib.Basic.Biomass.FlowRegulator.LiqFCona equilibrioCaudalCons(
  geometry=geometry);
Modelica.Blocks.Sources.RealExpression FlowVol_In(
  y=conL1.flowVol);
LiqGasResistor_Loop liqGasResistor_Loop(
  geometry=geometry,
  massTransfer=massTransfer);
PhotoBioLib.Basic.Heat.HeatConvRad heatConvRad(geometry=geometry, heatPar=
  heatPar);
equation
connect(liqResistor.con1, liqCapacitor.lCon);
connect(gasResistor.con1, gasCapacitor.con);
connect(conL1, liqCapacitor.lCon);
connect(conG1, gasCapacitor.con);
connect(liqResistor.con2, conL2);
connect(gasResistor.con2, conG2);
connect(equilibrioCaudalCons.Outlet, liqResistor.qLiq);
connect(equilibrioCaudalCons.Outlet, gasResistor.qGas);
connect(equilibrioCaudalCons.gasCon, gasCapacitor.con);
connect(FlowVol_In.y, equilibrioCaudalCons.Qlin);
connect(liqCapacitor.lCon, liqGasResistor_Loop.conL);
connect(liqGasResistor_Loop.conG, gasCapacitor.con);
connect(algaeSourceRad.lCon, liqCapacitor.lCon);
connect(heatConvRad.hCon, liqCapacitor.hCon);
connect(heatConvRad.Io, Io);
connect(T, heatConvRad.Text);
connect(algaeSourceRad.Io, Io);
end LoopSection;

```

## PhotoBioLib.Basic.Gas

Basic gas elements

### Package Content

Name	Description
 GasCapacitor	Gas capacitor
 GasResistor	Gas resistor

## PhotoBioLib.Basic.Gas.GasCapacitor

Gas capacitor



### Parameters

Type	Name	Default	Description
InitialGas	initialGas		Initial gas values
Real	O2ini	initialGas.O2ini	Initial oxygen concentration [mol m-3]
Real	CO2ini	initialGas.CO2ini	Initial carbon dioxide concentration [mol m-3]
Real	N2ini	initialGas.N2ini	Initial nitrogen concentration [mol m-3]
Real	Volini	initialGas.Volini	Initial gas volume [m3]
Real	eps	0	
Real	eps2	10*eps	

### Connectors

Type	Name	Description
GasCon	con	Gas connector

### Modelica definition

```

model GasCapacitor "Gas capacitor"
// Icon and connectors
extends PhotoBioLib.Interfaces.PartialGas.Gas2Flow;
replaceable class icon =
  PhotoBioLib.Icons.Basic.Gas.GasCapacitorIcon "Icon";
extends icon;

// Constants and math functions

```

```

import PhotoBioLib.Records.Constants "Constants";
constant Real Vmol(unit="m3 mol-1") = Constants.Vmol "Molar volumen";

// Parameters
parameter PhotoBioLib.Records.Initial.InitialGas initialGas
"Initial gas values";
parameter Real O2ini(unit="mol m-3") = initialGas.O2ini
"Initial oxygen concentration";
parameter Real CO2ini(unit="mol m-3") = initialGas.CO2ini
"Initial carbon dioxide concentration";
parameter Real N2ini(unit="mol m-3") = initialGas.N2ini
"Initial nitrogen concentration";
parameter Real Volini(unit="m3") = initialGas.Volini "Initial gas volume";

Real yO2p;

// Variables
Real O2t(unit="mol",start=O2ini*Volini,fixed=false) "Total moles of oxygen";
Real CO2t(unit="mol",start=CO2ini*Volini,fixed=false)
"Total moles of carbon dioxide";
Real N2t(unit="mol",start=N2ini*Volini,fixed=false) "Total moles of nitrogen";

// Event Variables
//Boolean eO2 "Availability of oxygen";
//Boolean eCO2 "Availability of carbon dioxide";
//Boolean eN2 "Availability of nitrogen";
Boolean eVol "Availability of gas";

parameter Real eps=0;//1E-30;
parameter Real eps2=10*eps;//1E-5;

initial equation
eVol = con.Vol>0;

equation
when {pre(eVol) and con.Vol <=0, not pre(eVol) and con.Vol >0} then
  eVol = con.Vol>0;
end when;

der(O2t) = con.flowO2;
der(CO2t) = con.flowCO2;
der(N2t) = con.flowN2;

con.Vol = (O2t+CO2t+N2t)*Constants.Vmol;
if eVol then
  con.O2 = O2t/con.Vol;
  con.CO2 = CO2t/con.Vol;
  con.N2 = N2t/con.Vol;
  //con.Vol = (O2t+CO2t+N2t)*Constants.Vmol;
  yO2p = O2t/(O2t+CO2t+N2t);
else
  con.O2 = 0;//con.O2;
  con.CO2 = 0;//con.CO2;
  con.N2 = 0;//con.N2;
  //con.Vol = 0;
  yO2p=0;
end if;

end GasCapacitor;

```

## PhotoBioLib.Basic.Gas.GasResistor

Gas resistor



### Connectors

Type	Name	Description
GasCon	con1	Gas connector on the left
GasCon	con2	Gas connector on the right
input RealInput	qGas	Input gas flow [m3 s-1]

### Modelica definition

```

model GasResistor "Gas resistor"
import Modelica.Math.exp;
extends PhotoBioLib.Interfaces.PartialGas.Gas2Flow;
replaceable class icon =
  PhotoBioLib.Icons.Basic.Gas.GasResistorIcon;
extends icon;

//parameter Real eps = 1e-8;
//Real nFlow;
equation
//con1.flowVol = if con1.Vol>eps then qGas else 0;
//nFlow = (1-exp(-con1.Vol*1/1000000000000000));
//con1.flowVol = qGas*nFlow;
con1.flowVol = qGas;
con2.flowVol = -con1.flowVol;

con1.flowO2 = con1.O2*con1.flowVol;
con2.flowO2 = -con1.flowO2;

```



```

con1.flowCO2 = con1.CO2*con1.flowVol;
con2.flowCO2 = -con1.flowCO2;
con1.flowN2 = con1.N2*con1.flowVol;
con2.flowN2 = -con1.flowN2;





/*
con1.flowO2 = if con1.Vol*con1.O2 > eps then con1.O2*con1.flowVol else 0;
con2.flowO2 = -con1.flowO2;
con1.flowCO2 = if con1.Vol*con1.CO2 > eps then con1.CO2*con1.flowVol else 0;
con2.flowCO2 = -con1.flowCO2;
con1.flowN2 = if con1.Vol*con1.N2 > eps then con1.N2*con1.flowVol else 0;
con2.flowN2 = -con1.flowN2;
*/
end GasResistor;

```

## PhotoBioLib.Basic.Heat

Basic heat elements

Package Content

Name	Description
 Environment	Environment
 HeatConvection	Convection heat transfer
 HeatConvRad	Convection and radiation heat transfers
 HeatRadiation	Radiation heat transfer

## PhotoBioLib.Basic.Heat.Environment

Environment



Connectors

Type	Name	Description
HeatCon	hCon	Heat connector
input RealInput	Io	Input radiation [uE m-2 s-1]
input RealInput	Text	Temperature [°K]
output RealOutput	Ic	Output radiation [W m-2]

Modelica definition

```

model Environment "Environment"
extends PhotoBioLib.Interfaces.Partial.Heat.HeatRadT1;
extends PhotoBioLib.Icons.Basic.Heat.EnvironmentIcon;

equation
Ic = Io/2;
hCon.T = Text;
end Environment;

```

## PhotoBioLib.Basic.Heat.HeatConvection

Convection heat transfer



Parameters

Type	Name	Default	Description
Geometry	geometry		Geometry parameters
HeatPar	heatPar		Heat parameters
Real	h	heatPar.h	Transmission coefficient [J s-1 m-2 °K-1]
Real	S	geometry.S	Surface area [m2]

Connectors

Type	Name	Description
HeatCon	hCon1	Heat connector on the left
HeatCon	hCon2	Heat connector on the right

Modelica definition

```

model HeatConvection "Convection heat transfer"
import Modelica.Constants.pi;
extends PhotoBioLib.Interfaces.Partial.Heat.Heat2;
extends PhotoBioLib.Icons.Basic.Heat.HeatConvectionIcon;

parameter PhotoBioLib.Records.Geometry.Geometry geometry
"Geometry parameters";
parameter PhotoBioLib.Records.Heat.HeatPar heatPar "Heat parameters";
parameter Real h(unit="J s-1 m-2 °K-1") = heatPar.h
"Transmission coefficient";
parameter Real S(unit="m2") = geometry.S "Surface area";

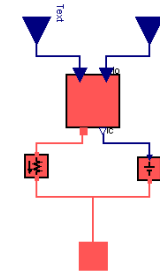
equation
hCon1.flowQ = h*S*(hCon1.T-hCon2.T);
hCon1.flowQ = -hCon2.flowQ;

end HeatConvection;

```

## PhotoBioLib.Basic.Heat.HeatConvRad

Convection and radiation heat transfers



Parameters

Type	Name	Default	Description
Geometry	geometry		Geometry parameters
HeatPar	heatPar		Heat parameters

Connectors

Type	Name	Description
HeatCon	hCon	Heat connector
input RealInput	Io	Radiation [uE m-2 s-1]
input RealInput	Text	Temperature [°K]

Modelica definition

```

model HeatConvRad "Convection and radiation heat transfers"
import Modelica.Constants.pi;
extends PhotoBioLib.Interfaces.Partial.Heat.HeatRadT1;
extends PhotoBioLib.Icons.Basic.Heat.HeatConvRadIcon;

parameter PhotoBioLib.Records.Geometry.Geometry geometry
"Geometry parameters";
parameter PhotoBioLib.Records.Heat.HeatPar heatPar "Heat parameters";

PhotoBioLib.Basic.Heat.HeatConvection heatConvection(geometry=geometry,
heatPar=heatPar);
PhotoBioLib.Basic.Heat.HeatRadiation heatRad(geometry=geometry, heatPar=
heatPar);
PhotoBioLib.Basic.Heat.Environment ambiente;

equation
connect(heatRad.hCon, hCon);
connect(heatConvection.hCon2, hCon);
connect(ambiente.hCon, heatConvection.hCon1);
connect(ambiente.Ic, heatRad.Ic);
connect(Text, ambiente.Text);
connect(Io, ambiente.Io);
end HeatConvRad;

```

## PhotoBioLib.Basic.Heat.HeatRadiation

Radiation heat transfer





## Parameters

Type	Name	Default	Description
<a href="#">Geometry</a>	geometry		Geometry parameters
<a href="#">HeatPar</a>	heatPar		Heat parameters
Real	alpha	geometry.alpha	Distribution solar factor [1]
Real	aR	heatPar.aR	Solar irradiance absorptivity [1]
Real	S	geometry.S	Surface area [m2]

## Connectors

Type	Name	Description
<a href="#">HeatCon</a>	hCon	Heat connector
input RealInput	Ic	Radiation [W m-2]

## Modelica definition

```

model HeatRadiation "Radiation heat transfer"
import Modelica.Constants.pi;
extends PhotoBioLib.Interfaces.Partial.Heat.HeatRad1;
extends PhotoBioLib.Icons.Basic.Heat.HeatRadiationIcon;



parameter PhotoBioLib.Records.Geometry.Geometry geometry
  "Geometry parameters";
parameter PhotoBioLib.Records.Heat.HeatPar heatPar "Heat parameters";
parameter Real alpha(unit="1") = geometry.alpha "Distribution solar factor";
parameter Real aR(unit="1") = heatPar.aR "Solar irradiance absorptivity";
parameter Real S(unit="m2") = geometry.S "Surface area";
equation
hCon.flowQ = -alpha*aR*S*Ic/4.184;
// Se divide por 4.184 por diferencia de unidades
end HeatRadiation;

```

## PhotoBioLib.Basic.Liquid

### Basic liquid elements

### Package Content

Name	Description
 <a href="#">LiqCapacitor</a>	Liquiq capacitor
 <a href="#">LiqResistor</a>	Liquid resistor

## PhotoBioLib.Basic.Liquid.LiqCapacitor

### Liquiq capacitor



## Parameters

Type	Name	Default	Description
<a href="#">InitialLiq</a>	initialLiq	extends PhotoBioLib.Records...	Initial liquid values
<a href="#">HeatPar</a>	heatPar		Heat parameters
Real	Cv	heatPar.Cv	Volumetric heat capacity [J m-3 °K-1]
Real	Volini	initialLiq.Volini	Initial liquid volume [m3]
Real	Tini	initialLiq.Tini	Initial temperature [°K]

## Connectors

Type	Name	Description
<a href="#">LiqCon</a>	lCon	Liquid connector
<a href="#">HeatCon</a>	hCon	Heat connector

## Modelica definition

```

model LiqCapacitor "Liquiq capacitor"
/* Pendiente

```

```

*/ No se considera que el volumen puede ser 0 o bajar. Útil para tanques vacíos

```

```

import Modelica.Math.log10;
import PhotoBioLib.Records.Constants;
replaceable class con =
  PhotoBioLib.Interfaces.Partial.Liquid.LiqHeat1;
extends con;

replaceable class icon =
  PhotoBioLib.Icons.Basic.Liquid.LiqCapacitorIcon "Icon";
extends icon;

replaceable class initialValues =
  PhotoBioLib.Records.Initial.InitialLiq;

parameter initialValues initialLiq "Initial liquid values";
parameter PhotoBioLib.Records.Heat.HeatPar heatPar "Heat parameters";
parameter Real Cv(unit="J m-3 °K-1")= heatPar.Cv "Volumetric heat capacity";

parameter Real Volini(unit="m3") = initialLiq.Volini "Initial liquid volume";
// Calor
parameter Real Tini(unit="°K") = initialLiq.Tini "Initial temperature";

Real Qt(unit="J",start=Cv*Volini*Tini,fixed=false) "Total heat";

// Event variables

Boolean eVol "Availability of liquid";

initial equation
lCon.Vol = Volini;

eVol = lCon.Vol>0;

equation

when {pre(eVol) and lCon.Vol<=0, not pre(eVol) and lCon.Vol>0} then
  eVol = lCon.Vol>0;
end when;

// Heat
der(Qt) = lCon.flowQ + hCon.flowQ;
hCon.T = lCon.T;

// Integración de componentes
der(lCon.Vol) = lCon.flowVol;

if eVol then
  lCon.T = Qt/(lCon.Vol*Cv);
else
  lCon.T = 0;
end if;

end LiqCapacitor;

```

## PhotoBioLib.Basic.Liquid.LiqResistor

### Liquid resistor



## Parameters

Type	Name	Default	Description
<a href="#">HeatPar</a>	heatPar		Heat parameters
Real	Cv	heatPar.Cv	Volumetric heat capacity [J m-3 °K-1]

## Connectors

Type	Name	Description
<a href="#">LiqCon</a>	con1	Liquid connector on the left
<a href="#">LiqCon</a>	con2	Liquid connector on the right
input RealInput	qLiq	Input liquid flow [m3 s-1]

## Modelica definition

```

model LiqResistor "Liquid resistor"
replaceable class con =
  PhotoBioLib.Interfaces.Partial.Liquid.Liq2Flow1;
extends con;

replaceable class icon =
  PhotoBioLib.Icons.Basic.Liquid.LiqResistorIcon;
extends icon;

parameter PhotoBioLib.Records.Heat.HeatPar heatPar "Heat parameters";
parameter Real Cv(unit="J m-3 °K-1")= heatPar.Cv "Volumetric heat capacity";

```



```

equation
con1.flowVol = qLiq;
con2.flowVol = -con1.flowVol;

con1.flowQ = con1.flowVol*Cv*con1.T;
con2.flowQ = -con1.flowQ;
end LiqResistor;

```

## PhotoBioLib.Examples

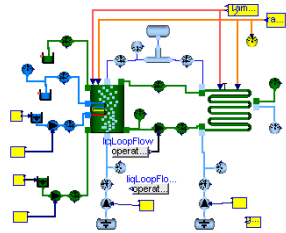
### Examples

#### Package Content

Name	Description
<a href="#">ClosedPhotobioreactor</a>	Closed photobioreactor example
<a href="#">ClosedPhotobioreactor_2</a>	Closed photobioreactor example
<a href="#">NewModel</a>	Closed photobioreactor example
<a href="#">Validation</a>	Real variables

## PhotoBioLib.Examples.ClosedPhotobioreactor

### Closed photobioreactor example



### Modelica definition

```

model ClosedPhotobioreactor "Closed photobioreactor example"
//*****
// Data
//*****
public
Records.LocationAndDate locationAndDate;
PhotoBioLib.Records.PhysicalPar_ClosedPhotobioreactor physical;

PhotoBioLib.Records.Algae.Algae algae;
Records.Operation operation(initialLiq(initialLiq(Ctini=4, O2ini=0.2)),
initialColumn(initialLiq(Ctini=4, O2ini=0.2)));
//*****

protected
Modelica.Blocks.Sources.RealExpression liqLoopFlow(y=operation.qMove);
//*****
// Parts
//*****
protected
PhotoBioLib.Parts.Loop loop(
algae=algae,
geometry=physical.geometryLoop,
initialLoop=operation.initialLoop,
heatPar=physical.heatParLoop,
massTransfer=physical.massTransferLoop);
PhotoBioLib.Parts.Column.HeatExchanger column(
algae=algae,
geometry=physical.geometryColumn,
heatPar=physical.heatParColumn,
massTransfer=physical.massTransferColumn,
geometryExchanger=physical.geometryExchanger,
heatParExchanger=physical.heatParExchanger,
initialColumn=operation.initialColumn,
initialExchanger=operation.initialExchanger);

protected
PhotoBioLib.Parts.Liquid.LiqSource liqSourceExchanger(initialLiq=operation.initialLiqTank);
PhotoBioLib.Parts.Liquid.LiqPump liqPumpExchanger;

protected
PhotoBioLib.Parts.Biomass.BioTank liqTankOverflow(

```

```

Tini=13 + 274.15,
initialLiq=operation.initialMedium,
Volini=1e-10);
PhotoBioLib.Parts.Liquid.LiqTank liqTankExchanger(initialLiq=operation.initialLiqTank);
PhotoBioLib.Parts.Biomass.BioSource liqSourceMedium(initialLiq=operation.initialMedium,
Tini=13 + 274.15);
PhotoBioLib.Parts.Gas.GasSource gasTankAir(initialGas=operation.initialAirInjection);
PhotoBioLib.Parts.Gas.GasSource gasTankCO2(initialGas=operation.initialCO2Injection);
PhotoBioLib.Parts.Biomass.BioPump liqPumpMove;
PhotoBioLib.Parts.Biomass.BioPump liqPumpMedium;
PhotoBioLib.Parts.Gas.GasPump gasPumpAir;
PhotoBioLib.Parts.Gas.GasPump gasPumpCO2;
Parts.Gas.GasTank gasTank_air;
Parts.Gas.Tpipe Column_air;

//*****
//*****
// Sensors
//*****
public
PhotoBioLib.Sensors.GasPotentialSensor Pgas_Loop_In;
PhotoBioLib.Sensors.GasPotentialSensor Pgas_Column;
PhotoBioLib.Sensors.GasPotentialSensor Pgas_Loop_Out;

PhotoBioLib.Sensors.GasFlowSensor Fgas_Column_In;
PhotoBioLib.Sensors.GasFlowSensor Fgas_Loop_In;

PhotoBioLib.Sensors.RadSensor Frad;

Sensors.LiqFlowSensor Flq_Exchange_In;
Sensors.LiqPotentialSensor Flq_Exchange_Out;
Sensors.BioPotentialSensor Pbio_Loop_In;
Sensors.BioPotentialSensor Pbio_Loop_Out;
Sensors.BioFlowSensor Fbio_Loop_In;
Sensors.BioFlowSensor Fbio_Medium_In;
Sensors.BioFlowSensor_ext Fbio_Column_Out_ext;
Sensors.BioFlowSensor_ext Fbio_Medium_Out_ext;
Sensors.LiqFlowSensor_ext Flq_Exchange_Out_ext;
Sensors.GasPotentialSensor Pgas_Column_out;

//*****
//*****
// Inputs
//*****
Utilities.ReadVar Flow_rad(tableName="raddat", file="/data/interpolado.mat");
Utilities.ReadVar Plus_Tambiente(tableName="Tambiente041");
Utilities.ReadVar Plus_Tmedio(tableName="TentradaMedio");
Utilities.ReadVar Plus_T_exchanger_in(tableName="TentradaAgua");
Utilities.ReadVar Prod_Flow_Medium(tableName="CaudalMedioInput", prod=(1e-4)/6);
Utilities.ReadVar Prod_Flow_Water_Exchange(tableName="CaudalAguaInput", prod=(1e-4)/6);
//*****
//*****
// Experiment
//*****
//*****

Sensors.GasFlowSensor_ext Fgas_Column_out;
Sensors.GasFlowSensor_ext Fgas_Loop_out;
Utilities.ReadVar Prod_Flow_Air(tableName="CaudalAireInput", prod=(1e-4)/6);
Utilities.ReadVar Prod_Flow_Air1(prod=(1e-4)/6, tableName="CO2");
protected
Modelica.Blocks.Sources.RealExpression liqLoopFlow1(y=operation.qBubble);
public
Utilities.ReadVar Prod_Flow_Air2(prod=(1e-4)/6, tableName="gasdat");
equation
connect(gasPumpCO2.con1, gasTankCO2.con);
connect(gasPumpAir.con1, gasTankAir.con);
connect(loop._conSprbde,Pgas_Loop_Out.con);
connect(Fgas_Column_In.con1, gasPumpAir.con2);
connect(column.conLOut, liqPumpMove.con1);
connect(liqSourceExchanger.lCon, liqPumpExchanger.con1);
connect(Fgas_Loop_In.con1, gasPumpCO2.con2);
connect(Pgas_Loop_In.con,Pgas_Loop_In.con2);
connect(Fgas_Loop_In.con2, loop._conGIn);
connect(Flow_rad.y, Frad.Io);
connect(Flow_rad.y, loop._Io);
connect(Flow_rad.y, column.Io);
connect(Tambiente.y_sum, loop._Tamb);
connect(Tambiente.y_sum, column.T);
connect(Tmedio.y_sum, liqSourceMedium.T);
connect(Flq_Exchange_In.con2, column.lConIntIn);
connect(Pbio_Loop_In.con2, loop._conLn);
connect(liqPumpMove.con2, Pbio_Loop_In.con1);
connect(liqPumpMedium.con2, Fbio_Medium_In.con1);
connect(liqLoopFlow.y, liqPumpMove.qLiq);
connect(loop._conSprbde, Pbio_Loop_Out.lCon);
connect(T_exchanger_in.y_sum, liqSourceExchanger.T);
connect(liqPumpExchanger.con2, Flq_Exchange_In.con1);
connect(Flq_Exchange_Out.lCon, liqTankExchanger.lCon);
connect(Pbio_Medium_In.con2, column.conMIn);
connect(liqSourceMedium.lCon, liqPumpMedium.con1);
connect(column.conGIn, Pgas_Column.con);
connect(Pgas_Column_In.con2, column.conGIn);
connect(Pbio_Loop_In.lCon, column.conLOut);
connect(Pbio_Column_Out_ext.con1, loop._conLOut);

```

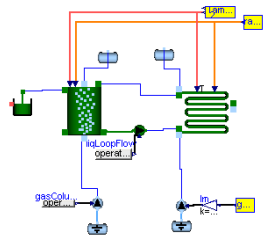
```

connect(Fbio_Column_Out_ext.con2, column.conLin);
connect(Fbio_Medium_Out_ext.con1, column.conMOut);
connect(Fbio_Medium_Out_ext.con2, liqTankOverflow.lCon);
connect(Pliq_Exchange_Out_ext.con2, liqTankExchanger.lCon);
connect(Pliq_Exchange_Out_ext.con1, column.lConIntOut);
connect(gasTank_air.con, Column_air.con3);
connect(Pgas_Column_out.con, Column_air.con1);
connect(Fgas_Column_Out_ext.con2, Column_air.con1);
connect(Column_air.con2, Fgas_Loop_out.con2);
connect(Fgas_Column_out.con1, column.conGOut);
connect(Fgas_Loop_out.con1, loop_.conGOut);
connect(Flow_Medium.y_prod, liqPumpMedium.qLiq);
connect(Flow_Water_Exchange.y_prod, liqPumpExchanger.qLiq);
connect(Flow_Air.y_prod, gasPumpAir.qGas);
connect(gasPumpCO2.qGas, Flow_Air1.y_prod);
end ClosedPhotobioreactor;

```

## PhotoBioLib.Examples.ClosedPhotobioreactor\_2

### Closed photobioreactor example



### Modelica definition

```

model ClosedPhotobioreactor_2 "Closed photobioreactor example"
//*****
// Data
//*****
protected
  PhotoBioLib.Records.PhysicalPar_ClosedPhotobioreactor physical(
    geometryLoop(alpha=0.4),
    heatParExchanger(h=0),
    massTransferColumn(ka=0.03));
  Records_LocationAndDate locationAndDate;
  PhotoBioLib.Records.Algae.Algae algae;
//*****

protected
  Modelica.Blocks.Sources.RealExpression liqLoopFlow(y=operation.qMove);
  Modelica.Blocks.Math.Gain lm_to_m3s(k=0.001/60);
  Modelica.Blocks.Sources.RealExpression gasColumnFlow(y=operation.qBubble);
//*****
// Parts
//*****
protected
  PhotoBioLib.Parts.Loop loop_(
    algae=algae,
    geometryPhysical.geometryLoop,
    initialLoop=operation.initialLoop,
    heatPar=physical.heatParLoop,
    massTransfer=physical.massTransferLoop);
  PhotoBioLib.Parts.Column column(
    algae=algae,
    geometryPhysical.geometryColumn,
    heatPar=physical.heatParColumn,
    massTransfer=physical.massTransferColumn,
    initialColumn=operation.initialColumn);

  PhotoBioLib.Parts.Gas_GasTank gasTankColumn;
  PhotoBioLib.Parts.Gas_GasSource gasTankAir(initialGas=operation.initialAirInjection);
  PhotoBioLib.Parts.Gas_GasSource gasTankCO2(initialGas=operation.initialCO2Injection);
  PhotoBioLib.Parts.Gas_GasTank gasTankLoop;
  PhotoBioLib.Parts.Biomass.BioPump liqPumpMove;
  PhotoBioLib.Parts.Gas_GasPump gasPumpAir;
  PhotoBioLib.Parts.Gas_GasPump gasPumpCO2;
//*****
//*****
// Sensors
//*****
//*****

protected
  Records.Operation operation(initialLiq(Tini=13 + 274.15, O2ini=

```

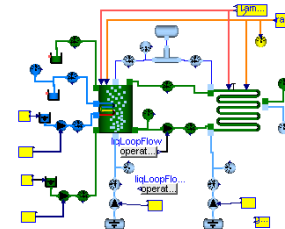
```

0.28)), initialColumn(initialLiq(Tini=13 + 274.15, O2ini=0.28)));
  Utilities.ReadVar readVar(tableName="raddat", file="/data/interpolado.mat");
  Utilities.ReadVar readVar1(tableName="gasdat", file="/data/interpolado.mat");
  Utilities.ReadVar Plus Tambiente(tableName="Tambiente041");
public
  PhotoBioLib.Parts.Biomass.BioTank liqTank;
equation
  connect(gasPumpCO2.con1, gasTankCO2.con);
  connect(gasPumpAir.con1, gasTankAir.con);
  connect(liqLoopFlow.y, liqPumpMove.qLiq);
  connect(column.conLOut, liqPumpMove.con1);
  connect(gasColumnFlow.y, gasPumpAir.qGas);
  connect(lm_to_m3s.y, gasPumpCO2.qGas);
  connect(readVar.y, loop_.Io);
  connect(readVar1.y, column.Io);
  connect(readVar1.y, lm_to_m3s.u);
  connect(Tambiente.y_sum, loop_.Tamb);
  connect(Tambiente.y_sum, column.T);
  connect(column.conGIn, gasPumpAir.con2);
  connect(loop_.conLin, liqPumpMove.con2);
  connect(loop_.conLOut, column.conLin);
  connect(gasTankColumn.con, column.conGOut);
  connect(gasTankLoop.con, loop_.conGOut);
  connect(gasPumpCO2.con2, loop_.conGIn);
  connect(liqTank.lCon, column.conMOut);
end ClosedPhotobioreactor_2;

```

## PhotoBioLib.Examples.NewModel

### Closed photobioreactor example



### Modelica definition

```

model NewModel "Closed photobioreactor example"
//*****
// Data
//*****
//*****

protected
  Modelica.Blocks.Sources.RealExpression liqLoopFlow(y=operation.qMove);
//*****
// Parts
//*****
protected
  PhotoBioLib.Parts.Loop loop_(
    algae=algae,
    geometryPhysical.geometryLoop,
    initialLoop=operation.initialLoop,
    heatPar=physical.heatParLoop,
    massTransfer=physical.massTransferLoop);
  PhotoBioLib.Parts.Column_HeatExchanger column(
    algae=algae,
    geometryPhysical.geometryColumn,
    heatPar=physical.heatParColumn,
    massTransfer=physical.massTransferColumn,
    geometryExchanger=physical.geometryExchanger,
    heatParExchanger=physical.heatParExchanger,
    initialColumn=operation.initialColumn,
    initialExchanger=operation.initialExchanger);

protected
  PhotoBioLib.Parts.Liquid.LiqSource liqSourceExchanger(initialLiq=operation.initialLiqTank);
  PhotoBioLib.Parts.Liquid.LiqPump liqPumpExchanger;

protected
  PhotoBioLib.Parts.Biomass.BioTank liqTankOverflow(
    Tini=13 + 274.15,
    initialLiq=operation.initialMedium,
    Volini=1e-10);
  PhotoBioLib.Parts.Liquid.LiqTank liqTankExchanger(initialLiq=operation.initialLiqTank);
  PhotoBioLib.Parts.Biomass.BioSource liqSourceMedium(initialLiq=operation.initialMedium,
    Tini=13 + 274.15);
  PhotoBioLib.Parts.Gas_GasSource gasTankAir(initialGas=operation.initialAirInjection);
  PhotoBioLib.Parts.Gas_GasSource gasTankCO2(initialGas=operation.initialCO2Injection);
  PhotoBioLib.Parts.Biomass.BioPump liqPumpMove;
  PhotoBioLib.Parts.Biomass.BioPump liqPumpMedium;
  PhotoBioLib.Parts.Gas_GasPump gasPumpAir;

```

```

PhotoBioLib.Parts.Gas.GasPump gasPumpCO2;
Parts.Gas.GasTank gasTank_air;
Parts.Gas.Pipeme Column_air;

//*****
// Sensors
//*****
public
  PhotoBioLib.Sensors.GasPotentialSensor Pgas_Loop_In;
  PhotoBioLib.Sensors.GasPotentialSensor Pgas_Column;
  PhotoBioLib.Sensors.GasPotentialSensor Pgas_Loop_Out;

  PhotoBioLib.Sensors.GasFlowSensor Fgas_Column_In;
  PhotoBioLib.Sensors.GasFlowSensor Fgas_Loop_In;

  PhotoBioLib.Sensors.RadSensor Frad;

  Sensors.LiqFlowSensor Pliq_Exchange_In;
  Sensors.LiqPotentialSensor Pliq_Exchange_Out;
  Sensors.BioPotentialSensor Pbio_Loop_In;
  Sensors.BioPotentialSensor Pbio_Loop_Out;
  Sensors.BioFlowSensor Pbio_Loop_In;
  Sensors.BioFlowSensor Pbio_Medium_In;
  Sensors.BioFlowSensor_ext Pbio_Column_Out_ext;
  Sensors.BioFlowSensor_ext Pbio_Medium_Out_ext;
  Sensors.LiqFlowSensor_ext Pliq_Exchange_Out_ext;
  Sensors.GasPotentialSensor Pgas_Column_out;

//*****
// Inputs
//*****

Utilities.ReadVar Flow_rad(tableName="raddat", file="/data/interpolado.mat");
Utilities.ReadVar Plus_Tambiente(tableName="Tambiente041");
Utilities.ReadVar Plus_Tmedio(tableName="TentradMedio");
Utilities.ReadVar Plus_T_exchanger_in(tableName="TentradAgua");
Utilities.ReadVar Prod_Flow_Medium(tableName="CaudalMedioInput", prod=-1*(
  1e-4)/6);
Utilities.ReadVar Prod_Flow_Water_Exchange(tableName="CaudalAguaInput", prod=(
  1e-4)/6);

//*****
// Experiment
//*****

Sensors.GasFlowSensor_ext Fgas_Column_out;
Sensors.GasFlowSensor_ext Fgas_Loop_out;
Utilities.ReadVar Prod_Flow_Air(tableName="CaudalAireInput", prod=(1e-4)/6);
Utilities.ReadVar Prod_Flow_Air1(prod=(1e-4)/6, tableName="CO2");
protected
  Modelica.Blocks.Sources.RealExpression liqLoopFlow1(y=operation.qBuble);
public
  Utilities.ReadVar Prod_Flow_Air2(prod=(1e-4)/6, tableName="gasdat");
equation
  connect(gasPumpCO2.con1, gasTankCO2.con);
  connect(gasPumpAir.con1, gasTankAir.con);
  connect(loop_.conProbe, Pgas_Loop_Out.con);
  connect(Fgas_Column_In.con1, gasPumpAir.con2);
  connect(column.conLOut, liqPumpMove.con1);
  connect(liqSourceExchanger.lCon, liqPumpExchanger.con1);
  connect(Fgas_Loop_In.con1, gasPumpCO2.con2);
  connect(Fgas_Loop_In.con.Fgas_Loop_In.con2);
  connect(Fgas_Loop_In.con2, loop_.conGIn);
  connect(Flow_rad.y, Frad.Io);
  connect(Flow_rad.y, loop_.Io);
  connect(Flow_rad.y, column.Io);
  connect(Tambiente.y_sum, loop_.Tamb);
  connect(Tambiente.y_sum, column.T);
  connect(Tmedio.y_sum, liqSourceMedium.T);
  connect(Pliq_Exchange_In.con2, column.lConIntIn);
  connect(Pbio_Loop_In.con2, loop_.conLIn);
  connect(liqPumpMove.con2, Pbio_Loop_In.con1);
  connect(liqPumpMedium.con2, Pbio_Medium_In.con1);
  connect(liqLoopFlow.y, liqPumpMove.qLiq);
  connect(loop_.conProbe, Pbio_Loop_Out.lCon);
  connect(T_exchanger_in.y_sum, liqSourceExchanger.T);
  connect(liqPumpExchanger.con2, Pliq_Exchange_In.con1);
  connect(Pliq_Exchange_Out.lCon, liqTankExchanger.lCon);
  connect(Pbio_Medium_In.con2, column.conMIn);
  connect(liqSourceMedium.lCon, liqPumpMedium.con1);
  connect(column.conGIn, Pgas_Column.con);
  connect(Fgas_Column_In.con2, column.conGIn);
  connect(Pbio_Loop_In.lCon, column.conLOut);
  connect(Pbio_Column_Out_ext.con1, loop_.conLOut);
  connect(Pbio_Column_Out_ext.con2, column.conLIn);
  connect(Pbio_Medium_Out_ext.con1, column.conMOut);
  connect(Pbio_Medium_Out_ext.con2, liqTankOverflow.lCon);
  connect(Pliq_Exchange_Out_ext.con2, liqTankExchanger.lCon);
  connect(Pliq_Exchange_Out_ext.con1, column.lConIntOut);
  connect(gasTank_air.con, Column_air.con3);
  connect(Fgas_Column_out.con, Column_air.con1);
  connect(Fgas_Column_out.con2, Column_air.con1);
  connect(Column_air.con2, Fgas_Loop_out.con2);
  connect(Fgas_Column_out.con1, column.conGOut);
  connect(Fgas_Loop_out.con1, loop_.conGOut);

```

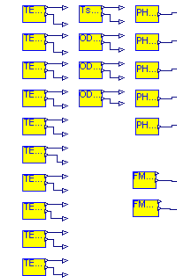
```

connect(Flow_Medium.y_prod, liqPumpMedium.qLiq);
connect(Flow_Water_Exchange.y_prod, liqPumpExchanger.qLiq);
connect(Flow_Air.y_prod, gasPumpAir.qGas);
connect(gasPumpCO2.qGas, Flow_Air1.y_prod);
end NewModel;

```

## PhotoBioLib.Examples.Validation

### Real variables



### Connectors

Type	Name	Description
output RealOutput	TEMP0411	[°C]
output RealOutput	TEMP0411_K	[°K]
output RealOutput	TEMP0412	[°C]
output RealOutput	TEMP0412_K	[°K]
output RealOutput	TEMP0413	[°C]
output RealOutput	TEMP0413_K	[°K]
output RealOutput	TEMP0421	[°C]
output RealOutput	TEMP0421_K	[°K]
output RealOutput	TEMP0431	[°C]
output RealOutput	TEMP0431_K	[°K]
output RealOutput	TEMP0432	[°C]
output RealOutput	TEMP0432_K	[°K]
output RealOutput	TEMP0441	[°C]
output RealOutput	TEMP0441_K	[°K]
output RealOutput	TEMP0451	[°C]
output RealOutput	TEMP0451_K	[°K]
output RealOutput	TEMP0452	[°C]
output RealOutput	TEMP0452_K	[°K]
output RealOutput	TEMP0453	[°C]
output RealOutput	TEMP0453_K	[°K]
output RealOutput	TsalidaAgua	[°C]
output RealOutput	TsalidaAgua_K	[°K]
output RealOutput	OD0412	
output RealOutput	OD0412_C	[mol m-3]
output RealOutput	OD0432	
output RealOutput	OD0432_C	[mol m-3]
output RealOutput	OD0452	
output RealOutput	OD0452_C	[mol m-3]
output RealOutput	PH0411	[I]
output RealOutput	PH0421	[I]
output RealOutput	PH0431	[I]
output RealOutput	PH0441	[I]
output RealOutput	PH0451	[I]
output RealOutput	yO2	[I]
output RealOutput	yCO2	[I]

### Modelica definition

```
model Validation "Real variables"
```

```
protected
```

```
Utilities.ReadVar Plus_TEMP1(tableName="TEMP0411");
```

```





Utilities.ReadVar Plus TEMP2(tableName="TEMP0412");
Utilities.ReadVar Plus TEMP3(tableName="TEMP0413");
Utilities.ReadVar Plus TEMP4(tableName="TEMP0421");
Utilities.ReadVar Plus TEMP5(tableName="TEMP0431");
Utilities.ReadVar Plus TEMP6(tableName="TEMP0432");
Utilities.ReadVar Plus TEMP7(tableName="TEMP0441");
Utilities.ReadVar Plus TEMP8(tableName="TEMP0451");
Utilities.ReadVar Plus TEMP9(tableName="TEMP0452");
Utilities.ReadVar Plus TEMP10(tableName="TEMP0453");
Utilities.ReadVar Plus TEMP11(tableName="TsalidaAgua");
Utilities.ReadVar Prod O2(tableName="OD0412");
Utilities.ReadVar Prod O22(tableName="OD0432");
Utilities.ReadVar Prod O23(tableName="OD0452");
Utilities.ReadVar pH(tableName="PH0411");
Utilities.ReadVar pH1(tableName="PH0421");
Utilities.ReadVar pH2(tableName="PH0431");
Utilities.ReadVar pH4(tableName="PH0441");
Utilities.ReadVar pH5(tableName="PH0451");
Utilities.ReadVar Prod FMO2(tableName="FMO2", prod=1/100);
Utilities.ReadVar Prod FMO2(tableName="FMO2", prod=1/100);
public
Modelica.Blocks.Interfaces.RealOutput TEMP0411(unit="oC");
Modelica.Blocks.Interfaces.RealOutput TEMP0411_R(unit="oK");
Modelica.Blocks.Interfaces.RealOutput TEMP0412(unit="oC");
Modelica.Blocks.Interfaces.RealOutput TEMP0412_R(unit="oK");
Modelica.Blocks.Interfaces.RealOutput TEMP0413(unit="oC");
Modelica.Blocks.Interfaces.RealOutput TEMP0413_R(unit="oK");
Modelica.Blocks.Interfaces.RealOutput TEMP0421(unit="oC");
Modelica.Blocks.Interfaces.RealOutput TEMP0421_R(unit="oK");
Modelica.Blocks.Interfaces.RealOutput TEMP0431(unit="oC");
Modelica.Blocks.Interfaces.RealOutput TEMP0431_R(unit="oK");
Modelica.Blocks.Interfaces.RealOutput TEMP0432(unit="oC");
Modelica.Blocks.Interfaces.RealOutput TEMP0432_R(unit="oK");
Modelica.Blocks.Interfaces.RealOutput TEMP0441(unit="oC");
Modelica.Blocks.Interfaces.RealOutput TEMP0441_R(unit="oK");
Modelica.Blocks.Interfaces.RealOutput TEMP0451(unit="oC");
Modelica.Blocks.Interfaces.RealOutput TEMP0451_R(unit="oK");
Modelica.Blocks.Interfaces.RealOutput TEMP0452(unit="oC");
Modelica.Blocks.Interfaces.RealOutput TEMP0452_R(unit="oK");
Modelica.Blocks.Interfaces.RealOutput TEMP0453(unit="oC");
Modelica.Blocks.Interfaces.RealOutput TEMP0453_R(unit="oK");
Modelica.Blocks.Interfaces.RealOutput TsalidaAgua(unit="oC");
Modelica.Blocks.Interfaces.RealOutput TsalidaAgua_K(unit="oK");
Modelica.Blocks.Interfaces.RealOutput OD0412;
Modelica.Blocks.Interfaces.RealOutput OD0412_C(unit="mol m-3");
Modelica.Blocks.Interfaces.RealOutput OD0432;
Modelica.Blocks.Interfaces.RealOutput OD0432_C(unit="mol m-3");
Modelica.Blocks.Interfaces.RealOutput OD0452;
Modelica.Blocks.Interfaces.RealOutput OD0452_C(unit="mol m-3");
Modelica.Blocks.Interfaces.RealOutput PH0411(unit="1");
Modelica.Blocks.Interfaces.RealOutput PH0421(unit="1");
Modelica.Blocks.Interfaces.RealOutput PH0431(unit="1");
Modelica.Blocks.Interfaces.RealOutput PH0441(unit="1");
Modelica.Blocks.Interfaces.RealOutput PH0451(unit="1");
Modelica.Blocks.Interfaces.RealOutput yO2(unit="1");
Modelica.Blocks.Interfaces.RealOutput yCO2(unit="1");
equation
connect(TEMP1.y, TEMP0411);
connect(TEMP0411_K, TEMP0411_K);
connect(TEMP1.y_sum, TEMP0411_K);
connect(TEMP2.y, TEMP0412);
connect(TEMP2.y_sum, TEMP0412_K);
connect(TEMP3.y, TEMP0413);
connect(TEMP3.y_sum, TEMP0413_K);
connect(TEMP4.y, TEMP0421);
connect(TEMP4.y_sum, TEMP0421_K);
connect(TEMP5.y, TEMP0431);
connect(TEMP5.y_sum, TEMP0431_K);
connect(TEMP6.y, TEMP0432);
connect(TEMP6.y_sum, TEMP0432_K);
connect(TEMP7.y, TEMP0441);
connect(TEMP7.y_sum, TEMP0441_K);
connect(TEMP8.y, TEMP0451);
connect(TEMP8.y_sum, TEMP0451_K);
connect(TEMP9.y, TEMP0452);
connect(TEMP9.y_sum, TEMP0452_K);
connect(TEMP10.y, TEMP0453);
connect(TEMP10.y_sum, TEMP0453_K);
connect(TEMP11.y, TsalidaAgua);
connect(TEMP11.y_sum, TsalidaAgua_K);
connect(O2.y, OD0412);
connect(O2.y_prod, OD0412_C);
connect(O22.y, OD0432);
connect(O22.y_prod, OD0432_C);
connect(O23.y, OD0452);
connect(O23.y_prod, OD0452_C);
connect(pH.y, PH0411);
connect(pH1.y, PH0421);
connect(pH2.y, PH0431);
connect(pH4.y, PH0441);
connect(pH5.y, PH0451);
connect(FMO2.y_prod, yO2);
connect(FMO2.y_prod, yCO2);
end Validation;

```

## PhotoBioLib.Icons

Icons package






Package Content

Name	Description
 <a href="#">Basic</a>	Basic elements icons
 <a href="#">Parts</a>	Parts icons
 <a href="#">Records</a>	Records icons
 <a href="#">Sensors</a>	Sensors icons

## PhotoBioLib.Icons.Basic

Basic elements icons









Package Content

Name	Description
 <a href="#">Biomass</a>	Basic biomass elements
 <a href="#">Gas</a>	Basic gas elements
 <a href="#">Heat</a>	Basic heat elements
 <a href="#">Liquid</a>	Basic liquid elements
 <a href="#">Liquid2</a>	Basic biomass elements

## PhotoBioLib.Icons.Basic.Biomass

Basic biomass elements

Package Content

Name	Description
 <a href="#">AlgaeSourceIcon</a>	Algae activity icon
 <a href="#">BioCapacitorIcon</a>	Biomass capacitor icon
 <a href="#">BioGasResistorIcon</a>	BioGasResistor icon
 <a href="#">BioResistorIcon</a>	Biomass resistor icon
 <a href="#">ColumnSectionIcon</a>	Column section icon
 <a href="#">FlowRegulatorIcon</a>	Flow regulator icon
 <a href="#">LiqGasResistorIcon</a>	LiqGasResistor icon
 <a href="#">LoopSectionIcon</a>	Loop section icon

## PhotoBioLib.Icons.Basic.Biomass.AlgaeSourceIcon

Algae activity icon

Modelica definition

```
partial model AlgaeSourceIcon "Algae activity icon"
```

```
end AlgaeSourceIcon;
```

## PhotoBioLib.Icons.Basic.Biomass.BioCapacitorIcon

Biomass capacitor icon

Modelica definition

```
partial model BioCapacitorIcon "Biomass capacitor icon"
```

```
equation
```

```
end BioCapacitorIcon;
```

## PhotoBioLib.Icons.Basic.Biomass.BioGasResistorIcon

BioGasResistor icon

Modelica definition

```
partial model BioGasResistorIcon "BioGasResistor icon"
```

```
equation
```

```
end BioGasResistorIcon;
```



## [PhotoBioLib.Icons.Basic.Biomass.BioResistorIcon](#)

Biomass resistor icon

**Modelica definition**

```
partial model BioResistorIcon "Biomass resistor icon"
equation
end BioResistorIcon;
```



## [PhotoBioLib.Icons.Basic.Biomass.ColumnSectionIcon](#)

Column section icon

**Modelica definition**

```
partial model ColumnSectionIcon "Column section icon"
equation
end ColumnSectionIcon;
```



## [PhotoBioLib.Icons.Basic.Biomass.FlowRegulatorIcon](#)

Flow regulator icon

**Modelica definition**

```
partial model FlowRegulatorIcon "Flow regulator icon"
equation
end FlowRegulatorIcon;
```



## [PhotoBioLib.Icons.Basic.Biomass.LiqGasResistorIcon](#)

LiqGasResistor icon

**Modelica definition**

```
partial model LiqGasResistorIcon "LiqGasResistor icon"
equation
end LiqGasResistorIcon;
```



## [PhotoBioLib.Icons.Basic.Biomass.LoopSectionIcon](#)

Loop section icon

**Modelica definition**


```
partial model LoopSectionIcon "Loop section icon"
equation
end LoopSectionIcon;
```



## [PhotoBioLib.Icons.Basic.Gas](#)

Basic gas elements

**Package Content**

Name	Description
 <a href="#">GasCapacitorIcon</a>	Gas capacitor icon
 <a href="#">GasResistorIcon</a>	Gas resistor icon

## [PhotoBioLib.Icons.Basic.Gas.GasCapacitorIcon](#)

Gas capacitor icon

**Modelica definition**

```
partial model GasCapacitorIcon "Gas capacitor icon"
```



```
equation
end GasCapacitorIcon;
```

## [PhotoBioLib.Icons.Basic.Gas.GasResistorIcon](#)

Gas resistor icon

**Modelica definition**





```
partial model GasResistorIcon "Gas resistor icon"
equation
end GasResistorIcon;
```



## [PhotoBioLib.Icons.Basic.Heat](#)

Basic heat elements

**Package Content**

Name	Description
 <a href="#">EnvironmentIcon</a>	Environment icon
 <a href="#">HeatConvectionIcon</a>	HeatConvection icon
 <a href="#">HeatConvRadIcon</a>	HeatConcRad icon
 <a href="#">HeatRadiationIcon</a>	HeatRadiation icon

## [PhotoBioLib.Icons.Basic.Heat.EnvironmentIcon](#)

Environment icon

**Modelica definition**

```
partial model EnvironmentIcon "Environment icon"
end EnvironmentIcon;
```



## [PhotoBioLib.Icons.Basic.Heat.HeatConvectionIcon](#)

HeatConvection icon

**Modelica definition**

```
partial model HeatConvectionIcon "HeatConvection icon"
equation
end HeatConvectionIcon;
```



## [PhotoBioLib.Icons.Basic.Heat.HeatConvRadIcon](#)

HeatConcRad icon

**Modelica definition**

```
partial model HeatConvRadIcon "HeatConcRad icon"
equation
end HeatConvRadIcon;
```



## [PhotoBioLib.Icons.Basic.Heat.HeatRadiationIcon](#)

HeatRadiation icon

**Modelica definition**

```
partial model HeatRadiationIcon "HeatRadiation icon"
equation
end HeatRadiationIcon;
```



## [PhotoBioLib.Icons.Basic.Liquid](#)

## Basic liquid elements

### Package Content

Name	Description
<a href="#">LiqCapacitorIcon</a>	Liquid capacitor icon
<a href="#">LiqResistorIcon</a>	Liquid resistor icon

### [PhotoBioLib.Icons.Basic.Liquid.LiqCapacitorIcon](#)

Liquid capacitor icon

#### Modelica definition

```
partial model LiqCapacitorIcon "Liquid capacitor icon"
equation
end LiqCapacitorIcon;
```



### [PhotoBioLib.Icons.Basic.Liquid.LiqResistorIcon](#)

Liquid resistor icon

#### Modelica definition

```
partial model LiqResistorIcon "Liquid resistor icon"
equation
end LiqResistorIcon;
```



## [PhotoBioLib.Icons.Basic.Liquid2](#)

### Basic biomass elements

#### Package Content

Name	Description
<a href="#">BioCapacitorIcon</a>	Biomass capacitor icon
<a href="#">BioGasResistorIcon</a>	BioGasResistor icon
<a href="#">BioResistorIcon</a>	Biomass resistor icon
<a href="#">ColumnSectionIcon</a>	Column section icon
<a href="#">FlowRegulatorIcon</a>	Flow regulator icon
<a href="#">LoopSectionIcon</a>	Loop section icon

### [PhotoBioLib.Icons.Basic.Liquid2.BioCapacitorIcon](#)

Biomass capacitor icon

#### Modelica definition

```
partial model BioCapacitorIcon "Biomass capacitor icon"
equation
end BioCapacitorIcon;
```



### [PhotoBioLib.Icons.Basic.Liquid2.BioGasResistorIcon](#)

BioGasResistor icon

#### Modelica definition

```
partial model BioGasResistorIcon "BioGasResistor icon"
equation
end BioGasResistorIcon;
```



### [PhotoBioLib.Icons.Basic.Liquid2.BioResistorIcon](#)

Biomass resistor icon



## Modelica definition

```
partial model BioResistorIcon "Biomass resistor icon"
equation
end BioResistorIcon;
```

### [PhotoBioLib.Icons.Basic.Liquid2.ColumnSectionIcon](#)

Column section icon

#### Modelica definition

```
partial model ColumnSectionIcon "Column section icon"
equation
end ColumnSectionIcon;
```



### [PhotoBioLib.Icons.Basic.Liquid2.FlowRegulatorIcon](#)

Flow regulator icon

#### Modelica definition

```
partial model FlowRegulatorIcon "Flow regulator icon"
equation
end FlowRegulatorIcon;
```



### [PhotoBioLib.Icons.Basic.Liquid2.LoopSectionIcon](#)

Loop section icon

#### Modelica definition

```
partial model LoopSectionIcon "Loop section icon"
equation
end LoopSectionIcon;
```



## [PhotoBioLib.Icons.Parts](#)

Parts icons

### Package Content

Name	Description
<a href="#">BioPumpIcon</a>	Biomass pump icon
<a href="#">BioSourceIcon</a>	Biomass source icon
<a href="#">BioTankIcon</a>	Biomass tank icon
<a href="#">Column_HeatExchangerIcon</a>	Column_HeatExchanger icon
<a href="#">ColumnIcon</a>	Column icon
<a href="#">GasPumpIcon</a>	Gas pump icon
<a href="#">GasSourceIcon</a>	Gas source icon
<a href="#">GasTankIcon</a>	Gas tank icon
<a href="#">HeatExchangerIcon</a>	Heat exchanger icon
<a href="#">LiqPumpIcon</a>	Liquid pump icon
<a href="#">LiqSourceIcon</a>	Liquid source icon
<a href="#">LiqTankIcon</a>	Liquid tank icon
<a href="#">LoopIcon</a>	Loop icon
<a href="#">RadiationIcon</a>	Radiation icon
<a href="#">TpipeIcon</a>	Pipe with T form

### [PhotoBioLib.Icons.Parts.BioPumpIcon](#)

Biomass pump icon

#### Modelica definition



```
partial model BioPumpIcon "Biomass pump icon"
equation
end BioPumpIcon;
```

### [PhotoBioLib.Icons.Parts.BioSourceIcon](#)

Biomass source icon



#### Modelica definition

```
partial model BioSourceIcon "Biomass source icon"
equation
end BioSourceIcon;
```

### [PhotoBioLib.Icons.Parts.BioTankIcon](#)

Biomass tank icon



#### Modelica definition

```
partial model BioTankIcon "Biomass tank icon"
equation
end BioTankIcon;
```

### [PhotoBioLib.Icons.Parts.Column\\_HeatExchangerIcon](#)

Column\_HeatExchanger icon



#### Modelica definition

```
partial model Column_HeatExchangerIcon "Column_HeatExchanger icon"
extends PhotoBioLib.Icons.Parts.ColumnIcon;
end Column_HeatExchangerIcon;
```

### [PhotoBioLib.Icons.Parts.ColumnIcon](#)

Column icon



#### Modelica definition

```
partial model ColumnIcon "Column icon"
equation
end ColumnIcon;
```

### [PhotoBioLib.Icons.Parts.GasPumpIcon](#)

Gas pump icon



#### Modelica definition

```
partial model GasPumpIcon "Gas pump icon"
equation
end GasPumpIcon;
```

### [PhotoBioLib.Icons.Parts.GasSourceIcon](#)

Gas source icon



#### Modelica definition

```
partial model GasSourceIcon "Gas source icon"
equation
end GasSourceIcon;
```

### [PhotoBioLib.Icons.Parts.GasTankIcon](#)

Gas tank icon

### Modelica definition

```
partial model GasTankIcon "Gas tank icon"
equation
end GasTankIcon;
```



### [PhotoBioLib.Icons.Parts.HeatExchangerIcon](#)

Heat exchanger icon



#### Modelica definition

```
partial model HeatExchangerIcon "Heat exchanger icon"
equation
end HeatExchangerIcon;
```

### [PhotoBioLib.Icons.Parts.LiqPumpIcon](#)

Liquid pump icon



#### Modelica definition

```
partial model LiqPumpIcon "Liquid pump icon"
equation
end LiqPumpIcon;
```

### [PhotoBioLib.Icons.Parts.LiqSourceIcon](#)

Liquid source icon



#### Modelica definition

```
partial model LiqSourceIcon "Liquid source icon"
equation
end LiqSourceIcon;
```

### [PhotoBioLib.Icons.Parts.LiqTankIcon](#)

Liquid tank icon



#### Modelica definition

```
partial model LiqTankIcon "Liquid tank icon"
equation
end LiqTankIcon;
```

### [PhotoBioLib.Icons.Parts.LoopIcon](#)

Loop icon



#### Modelica definition

```
partial model LoopIcon "Loop icon"
equation
end LoopIcon;
```

### [PhotoBioLib.Icons.Parts.RadiationIcon](#)

Radiation icon



#### Modelica definition

```
partial model RadiationIcon "Radiation icon"
equation
end RadiationIcon;
```

## [PhotoBioLib.Icons.Parts.TpipeIcon](#)

Pipe with T form

### Modelica definition


```
partial model TpipeIcon "Pipe with T form"
end TpipeIcon;
```



## [PhotoBioLib.Icons.Records](#)

Records icons

### Package Content

Name	Description
 <a href="#">AlgaeIcon</a>	Algae icon

## [PhotoBioLib.Icons.Records.AlgaeIcon](#)

Algae icon

### Modelica definition

```
partial model AlgaeIcon "Algae icon"
```








```
end AlgaeIcon;
```



## [PhotoBioLib.Icons.Sensors](#)

Sensors icons

### Package Content

Name	Description
 <a href="#">BioFlowSensorIcon</a>	Biomass flow sensor icon
 <a href="#">BioPotentialSensorIcon</a>	Biomass potential sensor icon
 <a href="#">GasFlowSensorIcon</a>	Gas flow sensor icon
 <a href="#">GasPotentialSensorIcon</a>	Gas potential sensor icon
 <a href="#">LiqFlowSensorIcon</a>	Liquid flow sensor icon
 <a href="#">LiqPotentialSensorIcon</a>	Liquid potential sensor icon
 <a href="#">RadSensorIcon</a>	Radiation sensor icon

## [PhotoBioLib.Icons.Sensors.BioFlowSensorIcon](#)

Biomass flow sensor icon

### Modelica definition

```
partial model BioFlowSensorIcon "Biomass flow sensor icon"
```

```
equation
```

```
end BioFlowSensorIcon;
```



## [PhotoBioLib.Icons.Sensors.BioPotentialSensorIcon](#)

Biomass potential sensor icon

### Modelica definition

```
partial model BioPotentialSensorIcon "Biomass potential sensor icon"
```

```
equation
```

```
end BioPotentialSensorIcon;
```



## [PhotoBioLib.Icons.Sensors.GasFlowSensorIcon](#)

Gas flow sensor icon



### Modelica definition

```
partial model GasFlowSensorIcon "Gas flow sensor icon"
```

```
equation
```

```
end GasFlowSensorIcon;
```

## [PhotoBioLib.Icons.Sensors.GasPotentialSensorIcon](#)

Gas potential sensor icon

### Modelica definition

```
partial model GasPotentialSensorIcon "Gas potential sensor icon"
```

```
equation
```

```
end GasPotentialSensorIcon;
```



## [PhotoBioLib.Icons.Sensors.LiqFlowSensorIcon](#)

Liquid flow sensor icon

### Modelica definition

```
partial model LiqFlowSensorIcon "Liquid flow sensor icon"
```

```
equation
```

```
end LiqFlowSensorIcon;
```



## [PhotoBioLib.Icons.Sensors.LiqPotentialSensorIcon](#)

Liquid potential sensor icon

### Modelica definition

```
partial model LiqPotentialSensorIcon "Liquid potential sensor icon"
```

```
equation
```

```
end LiqPotentialSensorIcon;
```



## [PhotoBioLib.Icons.Sensors.RadSensorIcon](#)

Radiation sensor icon

### Modelica definition

```
partial model RadSensorIcon "Radiation sensor icon"
```

```
equation
```






```
end RadSensorIcon;
```



## [PhotoBioLib.Interfaces](#)

Interfaces package

### Package Content

Name	Description
 <a href="#">BioCon</a>	Liquid with biomass connector
 <a href="#">GasCon</a>	Gas connector
 <a href="#">HeatCon</a>	Heat connector
 <a href="#">LiqCon</a>	Liquid connector with heat transference
 <a href="#">Partials</a>	Interfaces package

## [PhotoBioLib.Interfaces.BioCon](#)

Liquid with biomass connector

### Contents

Type	Name	Description
------	------	-------------



Real	T	Temperatura [K]
flow Real	flowQ	Heat flow [J s-1]
Real	Vol	Liquid volume [m-3]
flow Real	flowVol	Liquid flow [m3 s-1]
Real	Cb	Biomass concentration [Kg m-3]
flow Real	flowCb	Biomass flow [Kg s-1]
Real	O2	Oxygen concentration [mol m-3]
flow Real	flowO2	Oxygen flow [mol s-1]
Real	CO2	Carbon dioxide concentration [mol m-3]
flow Real	flowCO2	Carbon dioxiden flow [mol s-1]
Real	Ct	Total carbon concentration [mol m-3]
flow Real	flowCt	Total carbon flow [mol s-1]
Real	H	Hidrogen concentration [mol m-3]
flow Real	flowH	Hidrogen flow [mol s-1]

### Modelica definition

```
connector BioCon "Liquid with biomass connector"
  extends PhotoBioLib.Interfaces.LiqCon;

  Real Cb(unit="Kg m-3") "Biomass concentration";
  flow Real flowCb(unit="Kg s-1") "Biomass flow";
  Real O2(unit="mol m-3") "Oxygen concentration";
  flow Real flowO2(unit="mol s-1") "Oxygen flow";
  Real CO2(unit="mol m-3") "Carbon dioxide concentration";
  flow Real flowCO2(unit="mol s-1") "Carbon dioxiden flow";
  Real Ct(unit="mol m-3") "Total carbon concentration";
  flow Real flowCt(unit="mol s-1") "Total carbon flow";
  Real H(unit="mol m-3") "Hidrogen concentration";
  flow Real flowH(unit="mol s-1") "Hidrogen flow";

end BioCon;
```

## PhotoBioLib.Interfaces.GasCon

### Gas connector

### Contents

Type	Name	Description
Real	O2	Oxygen concentration [mol m-3]
flow Real	flowO2	Oxygen flow [mol s-1]
Real	CO2	Carbon dioxide concentration [mol m-3]
flow Real	flowCO2	Carbon dioxide concentration [mol s-1]
Real	N2	Nitrogen concentration [mol m-3]
flow Real	flowN2	Nitrogen flow [mol s-1]
Real	Vol	Gas volume [m-3]
flow Real	flowVol	Gas flow [m3 s-1]

### Modelica definition

```
connector GasCon "Gas connector"

  Real O2(unit="mol m-3") "Oxygen concentration";
  flow Real flowO2(unit="mol s-1") "Oxygen flow";
  Real CO2(unit="mol m-3") "Carbon dioxide concentration";
  flow Real flowCO2(unit="mol s-1") "Carbon dioxide concentration";
  Real N2(unit="mol m-3") "Nitrogen concentration";
  flow Real flowN2(unit="mol s-1") "Nitrogen flow";
  Real Vol(unit="m-3") "Gas volume";
  flow Real flowVol(unit="m3 s-1") "Gas flow";

end GasCon;
```

## PhotoBioLib.Interfaces.HeatCon

### Heat connector

### Contents

Type	Name	Description
Real	T	Temperatura [K]
flow Real	flowQ	Heat flow [J s-1]

### Modelica definition

```
connector HeatCon "Heat connector"
  Real T(unit="K") "Temperatura";
  flow Real flowQ(unit="J s-1") "Heat flow";
```

```
end HeatCon;
```

## PhotoBioLib.Interfaces.LiqCon

### Liquid connector with heat transference

### Contents

Type	Name	Description
Real	T	Temperatura [K]
flow Real	flowQ	Heat flow [J s-1]
Real	Vol	Liquid volume [m-3]
flow Real	flowVol	Liquid flow [m3 s-1]

### Modelica definition






```
connector LiqCon "Liquid connector with heat transference"
  extends PhotoBioLib.Interfaces.HeatCon;
  Real Vol(unit="m-3") "Liquid volume";
  flow Real flowVol(unit="m3 s-1") "Liquid flow";

end LiqCon;
```

## PhotoBioLib.Interfaces.Partial

### Interfaces package
















### Package Content

Name	Description
 Biomass	Partials with biomass connectors
 Gas	Partials with gas connectors
 Heat	Partials with heat connectors
 Liquid	Partials with liquid connectors
 Others	Others partials

## PhotoBioLib.Interfaces.Partial.Biomass

### Partials with biomass connectors

### Package Content

Name	Description
 Bio1	Interface with a biomass connector
 Bio1Gas1	Interface with a biomass and a gas connectors
 Bio1GasIn_Vel_InOut	Flow regulator interface
 Bio1Heat1	Interface with a biomass and a heat connectors
 Bio1Heat1_Inv	Interface with a biomass and a heat connectors
 Bio1OutN	Interface with a biomass connector with N outputs
 Bio1Rad1	Interface with a biomass connector and a input radiation
 Bio1T1	Interface with a biomass connector and a input temperature
 Bio2	Interface with two biomass connectors
 Bio2Flow1	Interface with two biomass connectors and a input liquid flow
 Bio2Flow1Heat1	Exchanger interface
 Bio2Gas2	Interface with two biomass and two gas connectors
 Bio2Gas2Rad1T1	Interface with two gas connectors, two biomass connectors, a input radiation and a input temperature
 Bio2Gas2Rad1T1Heat1_V	Interface with two gas connectors, two biomass connectors, a heat connector, a input radiation and a input temperature
 Bio2OutN	Interface with two biomass connectors with N outputs

## PhotoBioLib.Interfaces.Partial.Biomass.Bio1

### Interface with a biomass connector



### Connectors

Type	Name	Description
------	------	-------------

[BioCon](#) | [lCon](#) | [Liquid connector](#)

### Modelica definition

```
partial model Biol "Interface with a biomass connector"  
  
  PhotoBioLib.Interfaces.BioCon lCon "Liquid connector";  
end Biol;
```

## PhotoBioLib.Interfaces.Partial.Biomass.Bio1Gas1

Interface with a biomass and a gas connectors



### Connectors

Type	Name	Description
<a href="#">BioCon</a>	conL	Liquid connector
<a href="#">GasCon</a>	conG	Gas connector

### Modelica definition

```
partial model Bio1Gas1  
  "Interface with a biomass and a gas connectors"  
  
  PhotoBioLib.Interfaces.BioCon conL "Liquid connector";  
  GasCon conG "Gas connector";  
end Bio1Gas1;
```

## PhotoBioLib.Interfaces.Partial.Biomass.Bio1GasIn\_Vel\_InOut

Flow regulator interface



### Connectors

Type	Name	Description
input RealInput	Qlin	Input liquid flow [m3 s-1]
output RealOutput	Qlout	Output liquid flow [m3 s-1]
output RealOutput	Qgout	Output gas flow [m3 s-1]
<a href="#">GasCon</a>	gasCon	Gas connector

### Modelica definition

```
partial model Bio1GasIn_Vel_InOut "Flow regulator interface"  
  
  Modelica.Blocks.Interfaces.RealInput Qlin(unit="m3 s-1") "Input liquid flow";  
  Modelica.Blocks.Interfaces.RealOutput Qlout(unit="m3 s-1")  
    "Output liquid flow";  
  Modelica.Blocks.Interfaces.RealOutput Qgout(unit="m3 s-1") "Output gas flow";  
  GasCon gasCon "Gas connector";  
end Bio1GasIn_Vel_InOut;
```

## PhotoBioLib.Interfaces.Partial.Biomass.Bio1Heat1

Interface with a biomass and a heat connectors



### Connectors

Type	Name	Description
<a href="#">BioCon</a>	lCon	Liquid connector
<a href="#">HeatCon</a>	hCon	Heat connector

### Modelica definition

```
partial model Bio1Heat1
```

```
"Interface with a biomass and a heat connectors"  
  
PhotoBioLib.Interfaces.BioCon lCon "Liquid connector";  
HeatCon hCon "Heat connector";  
end Bio1Heat1;
```

## PhotoBioLib.Interfaces.Partial.Biomass.Bio1Heat1\_Inv

Interface with a biomass and a heat connectors



### Connectors

Type	Name	Description
<a href="#">BioCon</a>	lCon	Liquid connector
<a href="#">HeatCon</a>	hCon	Heat connector

### Modelica definition

```
partial model Bio1Heat1_Inv  
  "Interface with a biomass and a heat connectors"  
  
  PhotoBioLib.Interfaces.BioCon lCon "Liquid connector";  
  HeatCon hCon "Heat connector";  
end Bio1Heat1_Inv;
```

## PhotoBioLib.Interfaces.Partial.Biomass.Bio1OutN

Interface with a biomass connector with N outputs



### Parameters

Type	Name	Default	Description
Integer	nout	1	Number of outputs

### Connectors

Type	Name	Description
output RealOutput	y[nout]	Outputs
<a href="#">BioCon</a>	lCon	Liquid connector

### Modelica definition

```
partial model Bio1OutN  
  "Interface with a biomass connector with N outputs"  
  parameter Integer nout(min=1) = 1 "Number of outputs";  
  Modelica.Blocks.Interfaces.RealOutput y[nout](redeclare type SignalType =  
    Real) "Outputs";  
  PhotoBioLib.Interfaces.BioCon lCon "Liquid connector";  
end Bio1OutN;
```

## PhotoBioLib.Interfaces.Partial.Biomass.Bio1Rad1

Interface with a biomass connector and a input radiation



### Connectors

Type	Name	Description
<a href="#">BioCon</a>	lCon	Liquid connector
input RealInput	Io	Input radiation [uE m-2 s-1]

### Modelica definition

```
partial model Bio1Rad1
```

```

"Interface with a biomass connector and a input radiation"
extends PhotoBioLib.Interfaces.Partial.Biomass.Bio1;
Modelica.Blocks.Interfaces.RealInput Io(unit="uE m-2 s-1") "Input radiation";
end Bio1Rad1;

```

## PhotoBioLib.Interfaces.Partial.Biomass.Bio1T1

Interface with a biomass connector and a input temperature



### Connectors

Type	Name	Description
<a href="#">BioCon</a>	lCon	Liquid connector
input RealInput	T	Input temperature [°K]

### Modelica definition

```

partial model Bio1T1
"Interface with a biomass connector and a input temperature"
PhotoBioLib.Interfaces.BioCon lCon "Liquid connector";
Modelica.Blocks.Interfaces.RealInput T(unit="°K") "Input temperature";
end Bio1T1;

```

## PhotoBioLib.Interfaces.Partial.Biomass.Bio2

Interface with two biomass connectors



### Connectors

Type	Name	Description
<a href="#">BioCon</a>	con1	Liquid connector on the left
<a href="#">BioCon</a>	con2	Liquid connector on the righ

### Modelica definition

```

partial model Bio2 "Interface with two biomass connectors"
PhotoBioLib.Interfaces.BioCon con1 "Liquid connector on the left";
PhotoBioLib.Interfaces.BioCon con2 "Liquid connector on the righ";
end Bio2;

```

## PhotoBioLib.Interfaces.Partial.Biomass.Bio2Flow1

Interface with two biomass connectors and a input liquid flow



### Connectors

Type	Name	Description
<a href="#">BioCon</a>	con1	Liquid connector on the left
<a href="#">BioCon</a>	con2	Liquid connector on the righ
input RealInput	qLiq	Input liquid flow [m3 s-1]

### Modelica definition

```

partial model Bio2Flow1
"Interface with two biomass connectors and a input liquid flow"
extends PhotoBioLib.Interfaces.Partial.Biomass.Bio2;
Modelica.Blocks.Interfaces.RealInput qLiq(unit="m3 s-1") "Input liquid flow";
end Bio2Flow1;

```

## PhotoBioLib.Interfaces.Partial.Biomass.Bio2Flow1Heat1

Exchanger interface



### Connectors

Type	Name	Description
<a href="#">BioCon</a>	lConIn	Input liquid connector
<a href="#">BioCon</a>	lConOut	Output liquid connector
<a href="#">HeatCon</a>	hCon	Heat connector

### Modelica definition

```

partial model Bio2Flow1Heat1 "Exchanger interface"
PhotoBioLib.Interfaces.BioCon lConIn "Input liquid connector";
PhotoBioLib.Interfaces.BioCon lConOut "Output liquid connector";
HeatCon hCon "Heat connector";
end Bio2Flow1Heat1;

```

## PhotoBioLib.Interfaces.Partial.Biomass.Bio2Gas2

Interface with two biomass and two gas connectors



### Connectors

Type	Name	Description
<a href="#">BioCon</a>	conL1	Liquid connector on the left
<a href="#">BioCon</a>	conL2	Liquid connector on the righ
<a href="#">GasCon</a>	conG1	Gas connector on the left
<a href="#">GasCon</a>	conG2	Gas connector on the righ

### Modelica definition

```

partial model Bio2Gas2
"Interface with two biomass and two gas connectors"
PhotoBioLib.Interfaces.BioCon conL1 "Liquid connector on the left";
PhotoBioLib.Interfaces.BioCon conL2 "Liquid connector on the righ";
GasCon conG1 "Gas connector on the left";
GasCon conG2 "Gas connector on the righ";
end Bio2Gas2;

```

## PhotoBioLib.Interfaces.Partial.Biomass.Bio2Gas2Rad1T1

Interface with two gas connectors, two biomass connectors, a input radiation and a input temperature



### Connectors

Type	Name	Description
<a href="#">BioCon</a>	conL1	Liquid connector on the left
<a href="#">BioCon</a>	conL2	Liquid connector on the righ
<a href="#">GasCon</a>	conG1	Gas connector on the left
<a href="#">GasCon</a>	conG2	Gas connector on the righ
input RealInput	Io	Input radiation [uE m-2 s-1]
input RealInput	T	Input temperatura [°K]

### Modelica definition

```

partial model Bio2Gas2Rad1T1
"Interface with two gas connectors, two biomass connectors, a input radiation and a input temperature"
extends PhotoBioLib.Interfaces.Partial.Biomass.Bio2Gas2;
Modelica.Blocks.Interfaces.RealInput Io(unit="uE m-2 s-1") "Input radiation";
Modelica.Blocks.Interfaces.RealInput T(unit="°K") "Input temperatura";
end Bio2Gas2Rad1T1;

```

## PhotoBioLib.Interfaces.Partial.Biomass.Bio2Gas2Rad1T1Heat1\_V

Interface with two gas connectors, two biomass connectors, a heat connector, an input radiation and an input temperature



### Connectors

Type	Name	Description
<a href="#">BioCon</a>	conLIn	Liquid connector on the left
<a href="#">BioCon</a>	conLOut	Liquid connector on the right
<a href="#">GasCon</a>	conGOut	Gas connector on the left
<a href="#">GasCon</a>	conGIn	Gas connector on the right
input ReallInput	Io	Input radiation [uE m-2 s-1]
input ReallInput	T	Input temperature [°K]
<a href="#">HeatCon</a>	hCon	Heat connector

### Modelica definition

```
partial model Bio2Gas2Rad1T1Heat1_V
  "Interface with two gas connectors, two biomass connectors, a heat connector, an input radiation and an input temperature"
  PhotoBioLib.Interfaces.BioCon conLIn "Liquid connector on the left";
  PhotoBioLib.Interfaces.BioCon conLOut "Liquid connector on the right";
  GasCon conGOut "Gas connector on the left";
  GasCon conGIn "Gas connector on the right";
  Modelica.Blocks.Interfaces.RealInput Io(unit="uE m-2 s-1") "Input radiation";
  Modelica.Blocks.Interfaces.RealInput T(unit="°K") "Input temperature";
  HeatCon hCon "Heat connector";
end Bio2Gas2Rad1T1Heat1_V;
```

## PhotoBioLib.Interfaces.Partial.Biomass.Bio2OutN

Interface with two biomass connectors with N outputs



### Parameters

Type	Name	Default	Description
Integer	nout	1	Number of outputs

### Connectors

Type	Name	Description
output RealOutput	y[nout]	Outputs
<a href="#">BioCon</a>	con1	Liquid connector on the left
<a href="#">BioCon</a>	con2	Liquid connector on the right

### Modelica definition

```
partial model Bio2OutN
  "Interface with two biomass connectors with N outputs"
  parameter Integer nout(min=1) = 1 "Number of outputs";
  Modelica.Blocks.Interfaces.RealOutput y[nout](redeclare type SignalType = Real) "Outputs";
  PhotoBioLib.Interfaces.BioCon con1 "Liquid connector on the left";
  PhotoBioLib.Interfaces.BioCon con2 "Liquid connector on the right";
end Bio2OutN;
```

## PhotoBioLib.Interfaces.Partial.Gas

Partials with gas connectors

### Package Content

Name	Description
<a href="#">Gas1</a>	Interface with a gas connector
<a href="#">Gas1OutN</a>	Interface with a gas connector with N outputs
<a href="#">Gas2</a>	Interface with two gas connectors

<a href="#">Gas2Flow1</a>	Interface with two gas connector and an input gas flow
<a href="#">Gas2OutN</a>	Interface with two gas connectors with N outputs
<a href="#">Gas3</a>	Interface with three gas connectors

## PhotoBioLib.Interfaces.Partial.Gas.Gas1

Interface with a gas connector



### Connectors

Type	Name	Description
<a href="#">GasCon</a>	con	Gas connector

### Modelica definition

```
partial model Gas1 "Interface with a gas connector"
  PhotoBioLib.Interfaces.GasCon con "Gas connector";
end Gas1;
```

## PhotoBioLib.Interfaces.Partial.Gas.Gas1OutN

Interface with a gas connector with N outputs



#

### Parameters

Type	Name	Default	Description
Integer	nout	1	Number of outputs

### Connectors

Type	Name	Description
output RealOutput	y[nout]	Outputs
<a href="#">GasCon</a>	con	Gas connector

### Modelica definition

```
partial model Gas1OutN
  "Interface with a gas connector with N outputs"
  parameter Integer nout(min=1) = 1 "Number of outputs";
  Modelica.Blocks.Interfaces.RealOutput y[nout](redeclare type SignalType = Real) "Outputs";
  PhotoBioLib.Interfaces.GasCon con "Gas connector";
end Gas1OutN;
```

## PhotoBioLib.Interfaces.Partial.Gas.Gas2

Interface with two gas connectors



### Connectors

Type	Name	Description
<a href="#">GasCon</a>	con1	Gas connector on the left
<a href="#">GasCon</a>	con2	Gas connector on the right

### Modelica definition

```
partial model Gas2 "Interface with two gas connectors"
  PhotoBioLib.Interfaces.GasCon con1 "Gas connector on the left";
  PhotoBioLib.Interfaces.GasCon con2 "Gas connector on the right";
end Gas2;
```

## PhotoBioLib.Interfaces.Partial.Gas.Gas2Flow1

Interface with two gas connector and an input gas flow



## Connectors

Type	Name	Description
<a href="#">GasCon</a>	con1	Gas connector on the left
<a href="#">GasCon</a>	con2	Gas connector on the right
input RealInput	qGas	Input gas flow [m3 s-1]

## Modelica definition

```
partial model Gas2Flow1
  "Interface with two gas connector and a input gas flow"
  extends PhotoBioLib.Interfaces.PartialGas.Gas2;
  Modelica.Blocks.Interfaces.RealInput qGas(unit="m3 s-1") "Input gas flow";
end Gas2Flow1;
```

## PhotoBioLib.Interfaces.PartialGas.Gas2OutN

Interface with two gas connectors with N outputs



## Parameters

Type	Name	Default	Description
Integer	nout	1	Number of outputs

## Connectors

Type	Name	Description
output RealOutput	y[nout]	
<a href="#">GasCon</a>	con1	Gas connector on the left
<a href="#">GasCon</a>	con2	Gas connector on the right

## Modelica definition

```
partial model Gas2OutN
  "Interface with two gas connectors with N outputs"
  parameter Integer nout(min=1) = 1 "Number of outputs";
  Modelica.Blocks.Interfaces.RealOutput y[nout];
  PhotoBioLib.Interfaces.GasCon con1 "Gas connector on the left";
  PhotoBioLib.Interfaces.GasCon con2 "Gas connector on the right";
end Gas2OutN;
```

## PhotoBioLib.Interfaces.PartialGas.Gas3

Interface with three gas connectors



## Connectors

Type	Name	Description
<a href="#">GasCon</a>	con1	Gas connector on the left
<a href="#">GasCon</a>	con2	Gas connector on the right
<a href="#">GasCon</a>	con3	Gas connector on top

## Modelica definition

```
partial model Gas3 "Interface with three gas connectors"
  PhotoBioLib.Interfaces.GasCon con1 "Gas connector on the left";
  PhotoBioLib.Interfaces.GasCon con2 "Gas connector on the right";
  GasCon con3 "Gas connector on top";
end Gas3;
```

## PhotoBioLib.Interfaces.Partial.Heat



Partials with heat connectors

## Package Content

Name	Description
<a href="#">Heat1Rad1</a>	Interface with a heat connector and a input radiation
<a href="#">Heat1Rad1T1</a>	Interface with a heat connector, a input radiation and a input temperature
<a href="#">Heat1Rad2T1</a>	Interface with a heat connector, a input radiation, a input temperature and a output radiation
<a href="#">Heat2</a>	Interface with two heat connectors

## PhotoBioLib.Interfaces.Partial.Heat.Heat1Rad1

Interface with a heat connector and a input radiation



## Connectors

Type	Name	Description
<a href="#">HeatCon</a>	hCon	Heat connector
input RealInput	Ic	Radiation [W m-2]

## Modelica definition

```
partial model Heat1Rad1
  "Interface with a heat connector and a input radiation"
  HeatCon hCon "Heat connector";
  Modelica.Blocks.Interfaces.RealInput Ic(unit="W m-2") "Radiation";
end Heat1Rad1;
```

## PhotoBioLib.Interfaces.Partial.Heat.Heat1Rad1T1

Interface with a heat connector, a input radiation and a input temperature



## Connectors

Type	Name	Description
<a href="#">HeatCon</a>	hCon	Heat connector
input RealInput	Io	Radiation [uE m-2 s-1]
input RealInput	Text	Temperature [°K]

## Modelica definition

```
partial model Heat1Rad1T1
  "Interface with a heat connector, a input radiation and a input temperature"
  HeatCon hCon "Heat connector";
  Modelica.Blocks.Interfaces.RealInput Io(unit="uE m-2 s-1") "Radiation";
  Modelica.Blocks.Interfaces.RealInput Text(unit="°K") "Temperature";
end Heat1Rad1T1;
```

## PhotoBioLib.Interfaces.Partial.Heat.Heat1Rad2T1

Interface with a heat connector, a input radiation, a input temperature and a output radiation



## Connectors

Type	Name	Description
<a href="#">HeatCon</a>	hCon	Heat connector

input ReaInput	Io	Input radiation [uE m-2 s-1]
input ReaInput	Text	Temperature [°K]
output ReaOutput	Ic	Output radiation [W m-2]

### Modelica definition

```
partial model Heat1Rad2T1
  "Interface with a heat connector, a input radiation, a input temperature and a output radiation"

  HeatCon hCon "Heat connector";
  Modelica.Blocks.Interfaces.RealInput Io(unit="uE m-2 s-1") "Input radiation";
  Modelica.Blocks.Interfaces.RealInput Text(unit="°K") "Temperature";
  Modelica.Blocks.Interfaces.RealOutput Ic(unit="W m-2") "Output radiation";
end Heat1Rad2T1;
```

## PhotoBioLib.Interfaces.Partial.Heat.Heat2

Interface with two heat connectors



### Connectors

Type	Name	Description
HeatCon	hCon1	Heat connector on the left
HeatCon	hCon2	Heat connector on the right

### Modelica definition

```
partial model Heat2 "Interface with two heat connectors"

  HeatCon hCon1 "Heat connector on the left";
  HeatCon hCon2 "Heat connector on the right";
end Heat2;
```

## PhotoBioLib.Interfaces.Partial.Liquid

Partials with liquid connectors

### Package Content

Name	Description
• Liq1	Interface with a liquid connector
• Liq1Heat1	Interface with a liquid and a heat connectors
• Liq1Heat1_Inv	Interface with a liquid and a heat connectors
• Liq1OutN	Interface with a liquid connector and N outputs
• Liq1T1	Interface with a liquid connector and a input temperature
• Liq2	Interface with two liquid connectors
• Liq2Flow1	Interface with two liquid connector and a input liquid flow
• Liq2Flow1Heat1	Exchanger interface
• Liq2OutN	Interface with two liquid connectors with N outputs

## PhotoBioLib.Interfaces.Partial.Liquid.Liq1

Interface with a liquid connector



### Connectors

Type	Name	Description
LiqCon	lCon	Liquid connector

### Modelica definition

```
partial model Liq1 "Interface with a liquid connector"

  PhotoBioLib.Interfaces.LiqCon lCon "Liquid connector";
end Liq1;
```

## PhotoBioLib.Interfaces.Partial.Liquid.Liq1Heat1

Interface with a liquid and a heat connectors



### Connectors

Type	Name	Description
LiqCon	lCon	Liquid connector
HeatCon	hCon	Heat connector

### Modelica definition

```
partial model Liq1Heat1
  "Interface with a liquid and a heat connectors"

  PhotoBioLib.Interfaces.LiqCon lCon "Liquid connector";
  HeatCon hCon "Heat connector";
end Liq1Heat1;
```

## PhotoBioLib.Interfaces.Partial.Liquid.Liq1Heat1\_Inv

Interface with a liquid and a heat connectors



### Connectors

Type	Name	Description
LiqCon	lCon	Liquid connector
HeatCon	hCon	Heat connector

### Modelica definition

```
partial model Liq1Heat1_Inv
  "Interface with a liquid and a heat connectors"

  PhotoBioLib.Interfaces.LiqCon lCon "Liquid connector";
  HeatCon hCon "Heat connector";
end Liq1Heat1_Inv;
```

## PhotoBioLib.Interfaces.Partial.Liquid.Liq1OutN

Interface with a liquid connector and N outputs



### Parameters

Type	Name	Default	Description
Integer	nout	1	Number of outputs

### Connectors

Type	Name	Description
output ReaOutput	y[nout]	Outputs
LiqCon	lCon	Liquid connector

### Modelica definition

```
partial model Liq1OutN
  "Interface with a liquid connector and N outputs"

  parameter Integer nout(min=1) = 1 "Number of outputs";
  Modelica.Blocks.Interfaces.RealOutput y[nout](redeclare type SignalType =
    Real) "Outputs";

  PhotoBioLib.Interfaces.LiqCon lCon "Liquid connector";
end Liq1OutN;
```

## PhotoBioLib.Interfaces.Partial.Liquid.Liq1T1

Interface with a liquid connector and a input temperature



**Connectors**

Type	Name	Description
<a href="#">LiqCon</a>	lCon	Liquid connector
input ReallInput	T	Input temperature [°K]

**Modelica definition**

```
partial model Liq1T1
  "Interface with a liquid connector and a input temperature"
  PhotoBioLib.Interfaces.LiqCon lCon "Liquid connector";
  Modelica.Blocks.Interfaces.RealInput T(unit="°K") "Input temperature";
end Liq1T1;
```

**PhotoBioLib.Interfaces.Partial.Liquid.Liq2**

Interface with two liquid connectors



**Connectors**

Type	Name	Description
<a href="#">LiqCon</a>	con1	Liquid connector on the left
<a href="#">LiqCon</a>	con2	Liquid connector on the righth

**Modelica definition**

```
partial model Liq2 "Interface with two liquid connectors"
  PhotoBioLib.Interfaces.LiqCon con1 "Liquid connector on the left";
  PhotoBioLib.Interfaces.LiqCon con2 "Liquid connector on the righth";
end Liq2;
```

**PhotoBioLib.Interfaces.Partial.Liquid.Liq2Flow1**

Interface with two liquid connector and a input liquid flow



**Connectors**

Type	Name	Description
<a href="#">LiqCon</a>	con1	Liquid connector on the left
<a href="#">LiqCon</a>	con2	Liquid connector on the righth
input ReallInput	qLiq	Input liquid flow [m3 s-1]

**Modelica definition**

```
partial model Liq2Flow1
  "Interface with two liquid connector and a input liquid flow"
  extends PhotoBioLib.Interfaces.Partial.Liquid.Liq2;
  Modelica.Blocks.Interfaces.RealInput qLiq(unit="m3 s-1") "Input liquid flow";
end Liq2Flow1;
```

**PhotoBioLib.Interfaces.Partial.Liquid.Liq2Flow1Heat1**

Exchanger interface



**Connectors**

Type	Name	Description
------	------	-------------

<a href="#">LiqCon</a>	lConIn	Input liquid connector
<a href="#">LiqCon</a>	lConOut	Output liquid connector
<a href="#">HeatCon</a>	hCon	Heat connector

**Modelica definition**

```
partial model Liq2Flow1Heat1 "Exchanger interface"
  PhotoBioLib.Interfaces.LiqCon lConIn "Input liquid connector";
  PhotoBioLib.Interfaces.LiqCon lConOut "Output liquid connector";
  PhotoBioLib.Interfaces.HeatCon hCon "Heat connector";
end Liq2Flow1Heat1;
```

**PhotoBioLib.Interfaces.Partial.Liquid.Liq2OutN**

Interface with two liquid connectors with N outputs



**Parameters**

Type	Name	Default	Description
Integer	nout	1	Number of outputs

**Connectors**

Type	Name	Description
output RealOutput	y[nout]	
<a href="#">LiqCon</a>	con1	Liquid connector on the left
<a href="#">LiqCon</a>	con2	Liquid connector on the righth

**Modelica definition**

```
partial model Liq2OutN
  "Interface with two liquid connectors with N outputs"
  parameter Integer nout(min=1) = 1 "Number of outputs";
  Modelica.Blocks.Interfaces.RealOutput y[nout];
  PhotoBioLib.Interfaces.LiqCon con1 "Liquid connector on the left";
  PhotoBioLib.Interfaces.LiqCon con2 "Liquid connector on the righth";
end Liq2OutN;
```

**PhotoBioLib.Interfaces.Partial.Others**

Others partials

**Package Content**

Name	Description
<a href="#">Column</a>	Column interface
<a href="#">Column_HeatExchanger</a>	Column with exchanger interface
<a href="#">Flow2</a>	Interface with a input biomass and a input gas flows
<a href="#">Loop</a>	Loop interface
<a href="#">Rad1</a>	Interface with a output radiation

**PhotoBioLib.Interfaces.Partial.Others.Column**

Column interface



**Connectors**

Type	Name	Description
<a href="#">BioCon</a>	conL.In	Input liquid from the loop
<a href="#">BioCon</a>	conMOut	Liquid overflow
<a href="#">BioCon</a>	conMIn	Input medium
<a href="#">BioCon</a>	conL.Out	Output liquid to the loop

<a href="#">GasCon</a>	conGIn	Input gas
<a href="#">GasCon</a>	conGOut	Output gas
input RealInput	Io	Solar radiation [uE m-2 s-1]
input RealInput	T	Environment temperature [°K]

### Modelica definition

```
partial model Column "Column interface"
```

```

PhotoBioLib.Interfaces.BioCon conLIn "Input liquid from the loop";
PhotoBioLib.Interfaces.BioCon conMOut "Liquid overflow";
PhotoBioLib.Interfaces.BioCon conMIn "Input medium";
PhotoBioLib.Interfaces.BioCon conLOut "Output liquid to the loop";
GasCon conGIn "Input gas";
GasCon conGOut "Output gas";
Modelica.Blocks.Interfaces.RealInput Io(unit="uE m-2 s-1") "Solar radiation";
Modelica.Blocks.Interfaces.RealInput T(unit="°K") "Environment temperature";
end Column;

```

## PhotoBioLib.Interfaces.Partial.Others.Column\_HeatExchanger

Column with exchanger interface



### Connectors

Type	Name	Description
<a href="#">BioCon</a>	conLIn	Input liquid from the loop
<a href="#">BioCon</a>	conMOut	Liquid overflow
<a href="#">BioCon</a>	conMIn	Input medium
<a href="#">BioCon</a>	conLOut	Output liquid to the loop
<a href="#">GasCon</a>	conGIn	Input gas
<a href="#">GasCon</a>	conGOut	Output gas
input RealInput	Io	Solar radiation [uE m-2 s-1]
input RealInput	T	Environment temperature [°K]
<a href="#">LiqCon</a>	IConInIn	Input liquid to the exchanger
<a href="#">LiqCon</a>	IConIntOut	Output liquid from the exchanger

### Modelica definition

```

partial model Column_HeatExchanger "Column with exchanger interface"
extends PhotoBioLib.Interfaces.Partial.Others.Column;
PhotoBioLib.Interfaces.LiqCon IConIntIn "Input liquid to the exchanger";
PhotoBioLib.Interfaces.LiqCon IConIntOut "Output liquid from the exchanger";
end Column_HeatExchanger;

```

## PhotoBioLib.Interfaces.Partial.Others.Flow2

Interface with an input biomass and an input gas flows



### Connectors

Type	Name	Description
input RealInput	Qliq	Input liquid flow
input RealInput	Qgas	Input gas flow

### Modelica definition

```

partial model Flow2
"Interface with an input biomass and an input gas flows"

Modelica.Blocks.Interfaces.RealInput Qliq "Input liquid flow";
Modelica.Blocks.Interfaces.RealInput Qgas "Input gas flow";
end Flow2;

```

## PhotoBioLib.Interfaces.Partial.Others.Loop

### Loop interface



### Connectors

Type	Name	Description
<a href="#">BioCon</a>	conLOut	Liquid output
<a href="#">GasCon</a>	conGOut	Gas output
<a href="#">GasCon</a>	conGIn	Gas input
<a href="#">BioCon</a>	conLIn	Liquid input
input RealInput	Io	Input radiation [uE m-2 s-1]
<a href="#">GasCon</a>	conGprobe	Gas probe
<a href="#">BioCon</a>	conLprobe	Liquid probe
input RealInput	Tamb	Input temperature [°K]

### Modelica definition

```
partial model Loop "Loop interface"
```

```

PhotoBioLib.Interfaces.BioCon conLOut "Liquid output";
GasCon conGOut "Gas output";
GasCon conGIn "Gas input";
PhotoBioLib.Interfaces.BioCon conLIn "Liquid input";
Modelica.Blocks.Interfaces.RealInput Io(unit="uE m-2 s-1") "Input radiation";
GasCon conGprobe "Gas probe";
PhotoBioLib.Interfaces.BioCon conLprobe "Liquid probe";
Modelica.Blocks.Interfaces.RealInput Tamb(unit="°K") "Input temperature";
end Loop;

```

## PhotoBioLib.Interfaces.Partial.Others.Rad1

Interface with an output radiation



### Connectors

Type	Name	Description
output RealOutput	Io	Radiation [uE m-2 s-1]

### Modelica definition

```

partial model Rad1 "Interface with an output radiation"
Modelica.Blocks.Interfaces.RealOutput Io(unit="uE m-2 s-1") "Radiation";
end Rad1;

```

## PhotoBioLib.Parts

Parts package

### Package Content




Name	Description
<a href="#">Biomass</a>	Biomass parts package
<a href="#">Column</a>	Column
<a href="#">Column_HeatExchanger</a>	Column with heat exchanger
<a href="#">Gas</a>	Gas parts package
<a href="#">HeatExchanger</a>	Heat exchanger
<a href="#">Liquid</a>	Liquid parts package
<a href="#">Loop</a>	Loop with nE sections
<a href="#">Radiation</a>	Radiation package

## PhotoBioLib.Parts.Biomass

Biomass parts package

### Package Content

Name	Description
------	-------------

	BioPump	Biomass pump
	BioSource	Biomass source
	BioTank	Biomass tank

## PhotoBioLib.Parts.Biomass.BioPump

### Biomass pump



### Parameters

Type	Name	Default	Description
<a href="#">HeatPar</a>	heatPar		Heat parameters
Real	Cv	heatPar.Cv	Volumetric heat capacity [J m <sup>-3</sup> °K <sup>-1</sup> ]

### Connectors

Type	Name	Description
<a href="#">BioCon</a>	con1	Liquid connector on the left
<a href="#">BioCon</a>	con2	Liquid connector on the right
input ReallInput	qLiq	Input liquid flow [m <sup>3</sup> s <sup>-1</sup> ]

### Modelica definition

```

model BioPump "Biomass pump"
  extends PhotoBioLib.Basic.Biomass.BioResistor(redeclare class icon =
    PhotoBioLib.Icons.Parts.BioPumpIcon);
end BioPump;

```

## PhotoBioLib.Parts.Biomass.BioSource

### Biomass source



### Parameters

Type	Name	Default	Description
<a href="#">InitialBio</a>	initialLiq		Initial liquid values
Real	Cbini	initialLiq.Cbini	Initial biomass concentration [Kg m <sup>-3</sup> ]
Real	O2ini	initialLiq.O2ini	Initial oxygen concentration [mol m <sup>-3</sup> ]
Real	CO2ini	initialLiq.CO2ini	Initial carbon dioxide concentration [mol m <sup>-3</sup> ]
Real	Ctini	initialLiq.Ctini	Initial total carbon concentration [mol m <sup>-3</sup> ]
Real	Hini	initialLiq.Hini	Initial hydrogen concentration [mol m <sup>-3</sup> ]
Real	Volini	initialLiq.Volini	Initial liquid volume [m <sup>3</sup> ]
Real	Tini	initialLiq.Tini	Initial liquid temperature [°K]

### Connectors

Type	Name	Description
<a href="#">BioCon</a>	lCon	Liquid connector
input ReallInput	T	Input temperature [°K]

### Modelica definition

```

model BioSource "Biomass source"
  extends PhotoBioLib.Interfaces.Partial.Biomass.BioIT1;
  extends PhotoBioLib.Icons.Parts.BioSourceIcon;

  parameter PhotoBioLib.Records.Initial.InitialBio initialLiq
    "Initial liquid values";
  import Modelica.Math.log10;

  parameter Real Cbini(unit="Kg m-3") = initialLiq.Cbini
    "Initial biomass concentration";
  parameter Real O2ini(unit="mol m-3") = initialLiq.O2ini
    "Initial oxygen concentration";
  parameter Real CO2ini(unit="mol m-3") = initialLiq.CO2ini
    "Initial carbon dioxide concentration";
  parameter Real Ctini(unit="mol m-3") = initialLiq.Ctini
    "Initial total carbon concentration";
  parameter Real Hini(unit="mol m-3") = initialLiq.Hini

```

```

    "Initial hydrogen concentration";
  parameter Real Volini(unit="m3") = initialLiq.Volini "Initial liquid volume";
  Real pH(unit="1") "pH";

  parameter Real Tini(unit="°K") = initialLiq.Tini "Initial liquid temperature";

initial equation
  lCon.Vol = Volini;

equation
  // Calor
  lCon.T = T;

  // Cálculo de concentraciones
  lCon.Cb = Cbini;
  lCon.O2 = O2ini;
  lCon.CO2 = CO2ini;
  lCon.Ct = Ctini;
  lCon.H = Hini;

  // Cálculo de pH
  pH = -log10(lCon.H);

  der(lCon.Vol) = lCon.flowVol;
end BioSource;

```

## PhotoBioLib.Parts.Biomass.BioTank

### Biomass tank



### Parameters

Type	Name	Default	Description
<a href="#">InitialBio</a>	initialLiq	extends PhotoBioLib.Records...	Initial liquid values
<a href="#">HeatPar</a>	heatPar		Heat parameters
Real	Cv	heatPar.Cv	Volumetric heat capacity [J m <sup>-3</sup> °K <sup>-1</sup> ]
Real	Volini	1E-40	Initial liquid volume [m <sup>3</sup> ]
Real	Tini	initialLiq.Tini	Initial temperature [°K]
Real	Cbini	initialLiq.Cbini	Initial biomass concentration [Kg m <sup>-3</sup> ]
Real	O2ini	initialLiq.O2ini	Initial oxygen concentration [mol m <sup>-3</sup> ]
Real	CO2ini	initialLiq.CO2ini	Initial carbon dioxide concentration [mol m <sup>-3</sup> ]
Real	Ctini	initialLiq.Ctini	Initial total inorganic carbon concentration [mol m <sup>-3</sup> ]
Real	Hini	initialLiq.Hini	Initial hydrogen concentration [mol m <sup>-3</sup> ]

### Connectors

Type	Name	Description
<a href="#">BioCon</a>	lCon	Liquid connector
<a href="#">HeatCon</a>	hCon	Heat connector

### Modelica definition

```

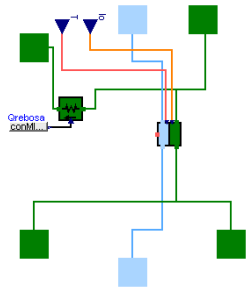
model BioTank "Biomass tank"
  extends PhotoBioLib.Basic.Biomass.BioCapacitor(
    Volini=1E-40,
    redeclare class icon = PhotoBioLib.Icons.Parts.BioTankIcon,
    redeclare class con = PhotoBioLib.Interfaces.Partial.Biomass.BioHeat1_Inv);
end BioTank;

```

## PhotoBioLib.Parts.Column

### Column





### Parameters

Type	Name	Default	Description
<a href="#">GeometryColumn</a>	geometry		Geometrical parameters
<a href="#">HeatParColumn</a>	heatPar		Heat parameters
<a href="#">MassTransferColumn</a>	massTransfer		Mass transfer parameters
<a href="#">Algae</a>	algae		Algae parameters
<a href="#">InitialColumn</a>	initialColumn		Initial values of the column

### Connectors

Type	Name	Description
<a href="#">BioCon</a>	conLin	Input liquid from the loop
<a href="#">BioCon</a>	conMOut	Liquid overflow
<a href="#">BioCon</a>	conMIn	Input medium
<a href="#">BioCon</a>	conLOut	Output liquid to the loop
<a href="#">GasCon</a>	conGIn	Input gas
<a href="#">GasCon</a>	conGOut	Output gas
input ReallInput	Io	Solar radiation [uE m-2 s-1]
input ReallInput	T	Environment temperature [°K]

### Modelica definition

```

model Column "Column"
  extends PhotoBioLib.Interfaces.PartialOthers.Column;
  extends PhotoBioLib.Icons.Parts.ColumnIcon;

  parameter PhotoBioLib.Records.Geometry.GeometryColumn geometry
    "Geometrical parameters";
  parameter PhotoBioLib.Records.Heat.HeatParColumn heatPar "Heat parameters";
  parameter PhotoBioLib.Records.MassTransfer.MassTransferColumn massTransfer
    "Mass transfer parameters";

  parameter PhotoBioLib.Records.Algae.Algae algae "Algae parameters";
  parameter PhotoBioLib.Records.Initial.InitialColumn initialColumn
    "Initial values of the column";
  constant PhotoBioLib.Records.Initial.InitialGas initialGas=initialColumn.initialGas
    "Initial gas values";
  constant PhotoBioLib.Records.Initial.InitialBio initialLiq=initialColumn.initialLiq
    "Initial liquid values";

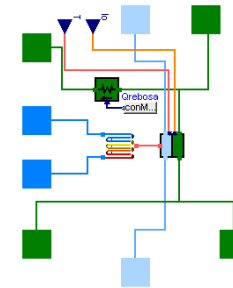
  Modelica.Blocks.Sources.RealExpression Qrebosa(y=conMIn.flowVol);
  PhotoBioLib.Basic.Biomass.BioResistor liqResistor(heatPar=heatPar);
  PhotoBioLib.Basic.Biomass.ColumnSection ColumnSection(
    initialGas=initialGas,
    initialLiq=initialLiq,
    algae=algae,
    geometry=geometry,
    heatPar=heatPar,
    massTransfer=massTransfer);
equation

  connect(liqResistor.con2, conMOut);
  connect(Qrebosa.y, liqResistor.qLiq);
  connect(ColumnSection.conLOut, conLOut);
  connect(conLin, ColumnSection.conLin);
  connect(ColumnSection.conGIn, conGIn);
  connect(conMIn, ColumnSection.conMOut);
  connect(liqResistor.con1, ColumnSection.conLin);
  connect(conGOut, ColumnSection.conGOut);
  connect(Io, ColumnSection.Io);
  connect(ColumnSection.T, T);
end Column;

```

### [PhotoBioLib.Parts.Column\\_HeatExchanger](#)

### Column with heat exchanger



### Parameters

Type	Name	Default	Description
<a href="#">GeometryColumn</a>	geometry		Geometrical parameters
<a href="#">HeatParColumn</a>	heatPar		Heat parameters
<a href="#">MassTransferColumn</a>	massTransfer		Mass transfer parameters
<a href="#">GeometryExchanger</a>	geometryExchanger		Exchanger geometrical parameters
<a href="#">HeatParExchanger</a>	heatParExchanger		Exchanger heat parameters
<a href="#">InitialColumn</a>	initialColumn		Initial values
<a href="#">InitialExchanger</a>	initialExchanger		Initial exchanger parameters
<a href="#">Algae</a>	algae		Algae parameters

### Connectors

Type	Name	Description
<a href="#">BioCon</a>	conLin	Input liquid from the loop
<a href="#">BioCon</a>	conMOut	Liquid overflow
<a href="#">BioCon</a>	conMIn	Input medium
<a href="#">BioCon</a>	conLOut	Output liquid to the loop
<a href="#">GasCon</a>	conGIn	Input gas
<a href="#">GasCon</a>	conGOut	Output gas
input ReallInput	Io	Solar radiation [uE m-2 s-1]
input ReallInput	T	Environment temperature [°K]
<a href="#">LiqCon</a>	IConIn	Input liquid to the exchanger
<a href="#">LiqCon</a>	IConOut	Output liquid from the exchanger

### Modelica definition

```

model Column_HeatExchanger "Column with heat exchanger"
  extends PhotoBioLib.Interfaces.PartialOthers.Column\_HeatExchanger;
  extends PhotoBioLib.Icons.Parts.Column\_HeatExchangerIcon;

  parameter PhotoBioLib.Records.Geometry.GeometryColumn geometry
    "Geometrical parameters";
  parameter PhotoBioLib.Records.Heat.HeatParColumn heatPar "Heat parameters";
  parameter PhotoBioLib.Records.MassTransfer.MassTransferColumn massTransfer
    "Mass transfer parameters";

  parameter PhotoBioLib.Records.Geometry.GeometryExchanger geometryExchanger
    "Exchanger geometrical parameters";
  parameter PhotoBioLib.Records.Heat.HeatParExchanger heatParExchanger
    "Exchanger heat parameters";
  parameter PhotoBioLib.Records.Initial.InitialColumn initialColumn
    "Initial values";
  constant PhotoBioLib.Records.Initial.InitialGas initialGas=initialColumn.initialGas
    "Initial gas values";
  constant PhotoBioLib.Records.Initial.InitialBio initialLiq=initialColumn.initialLiq
    "Initial liquid values";
  parameter PhotoBioLib.Records.Initial.InitialExchanger initialExchanger
    "Initial exchanger parameters";
  parameter PhotoBioLib.Records.Algae.Algae algae "Algae parameters";

  Modelica.Blocks.Sources.RealExpression Qrebosa(y=conMIn.flowVol);
  PhotoBioLib.Basic.Biomass.BioResistor liqResistor(heatPar=heatPar);
  PhotoBioLib.Basic.Biomass.ColumnSection ColumnSection(
    initialGas=initialGas,
    initialLiq=initialLiq,
    algae=algae,
    geometry=geometry,
    heatPar=heatPar,
    massTransfer=massTransfer);
  PhotoBioLib.Parts.HeatExchanger Heat_Exchanger(
    initialExchanger=initialExchanger,
    geometry=geometryExchanger,

```

```

heatPar=heatParExchanger) "Heat Exchanger";




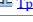
equation
connect(liqResistor.con2, conMOut);
connect(Qrebosa.y, liqResistor.qLiq);
connect(ColumnSection.conLOut, conLOut);
connect(conLin, ColumnSection. conLin);
connect(ColumnSection.conGIN, conGIN);
connect(conMin, ColumnSection. conLOut);
connect(liqResistor.con1, ColumnSection. conLin);
connect(conGOut, ColumnSection. conGOut);
connect(lo, ColumnSection. lo);
connect(ColumnSection.P, T);
connect(Heat_Exchange.hCon, ColumnSection. hCon);
connect(lConIntOut, Heat_Exchange. lConOut);
connect(lConIntIn, Heat_Exchange. lConIn);
end Column_HeatExchanger;

```

## PhotoBioLib.Parts.Gas

Gas parts package

### Package Content

Name	Description
 <a href="#">GasPump</a>	Gas pump
 <a href="#">GasSource</a>	Gas source
 <a href="#">GasTank</a>	Gas tank
 <a href="#">Tpipe</a>	Pipe with T form

## PhotoBioLib.Parts.Gas.GasPump

Gas pump



### Parameters

Type	Name	Default	Description
replaceable class icon	<a href="#">GasResistorIcon</a>		

### Connectors

Type	Name	Description
<a href="#">GasCon</a>	con1	Gas connector on the left
<a href="#">GasCon</a>	con2	Gas connector on the right
input RealInput	qGas	Input gas flow [m <sup>3</sup> s <sup>-1</sup> ]
replaceable class icon		

### Modelica definition

```

model GasPump "Gas pump"
extends PhotoBioLib.Basic.Gas.GasResistor(redeclare class icon =
PhotoBioLib.Icons.Parts.GasPumpIcon);
end GasPump;

```

## PhotoBioLib.Parts.Gas.GasSource

Gas source



### Parameters

Type	Name	Default	Description
<a href="#">InitialGas</a>	initialGas		Initial gas values
Real	O2ini	initialGas.O2ini	Initial oxygen concentration [Kg m-3]
Real	CO2ini	initialGas.CO2ini	Initial carbon dioxide concentration [mol m-3]
Real	N2ini	initialGas.N2ini	Initial nitrogen concentration [mol m-3]
Real	Volini	initialGas.Volini	Initial gas volume [m <sup>3</sup> ]

### Connectors

Type	Name	Description

Type	Name	Description
<a href="#">GasCon</a>	con	Gas connector

### Modelica definition

```

model GasSource "Gas source"
extends PhotoBioLib.Interfaces.PartialGas_Gas1;
extends PhotoBioLib.Icons.Parts.GasSourceIcon;
parameter PhotoBioLib.Records.InitialInitialGas initialGas
"Initial gas values";

// Parámetros para marcar potenciales iniciales
parameter Real O2ini(unit="Kg m-3") = initialGas.O2ini
"Initial oxygen concentration";
parameter Real CO2ini(unit="mol m-3") = initialGas.CO2ini
"Initial carbon dioxide concentration";
parameter Real N2ini(unit="mol m-3") = initialGas.N2ini
"Initial nitrogen concentration";
parameter Real Volini(unit="m3") = initialGas.Volini "Initial gas volume";

initial equation
con.Vol = Volini;

equation
con.O2 = O2ini;
con.CO2 = CO2ini;
con.N2 = N2ini;

der(con.Vol) = con.flowVol;
end GasSource;

```

## PhotoBioLib.Parts.Gas.GasTank

Gas tank



### Parameters

Type	Name	Default	Description
replaceable class icon	<a href="#">GasCapacitorIcon</a>	Icon	
<a href="#">InitialGas</a>	initialGas		Initial gas values
Real	O2ini	initialGas.O2ini	Initial oxygen concentration [mol m-3]
Real	CO2ini	initialGas.CO2ini	Initial carbon dioxide concentration [mol m-3]
Real	N2ini	initialGas.N2ini	Initial nitrogen concentration [mol m-3]
Real	Volini	initialGas.Volini	Initial gas volume [m <sup>3</sup> ]
Real	eps	0	
Real	eps2	10*eps	

### Connectors

Type	Name	Description
<a href="#">GasCon</a>	con	Gas connector
replaceable class icon	Icon	

### Modelica definition

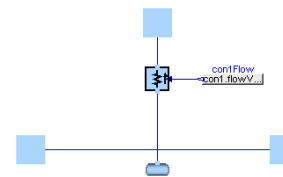
```

model GasTank "Gas tank"
extends PhotoBioLib.Basic.Gas.GasCapacitor(redeclare class icon =
PhotoBioLib.Icons.Parts.GasTankIcon);
end GasTank;

```

## PhotoBioLib.Parts.Gas.Tpipe

Pipe with T form



### Connectors

Type	Name	Description

<a href="#">GasCon</a>	con1	Gas connector on the left
<a href="#">GasCon</a>	con2	Gas connector on the righth
<a href="#">GasCon</a>	con3	Gas connector on top

### Modelica definition

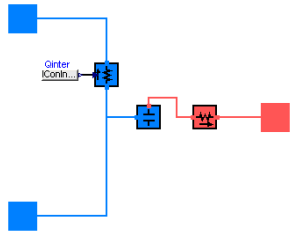
```

model Tpipe "Pipe with T form"
  extends Interfaces.PartialGasGas2;
  extends Icons.Parts.TpipeIcon;
  /*
  equation
    -con3.flowVol = con1.flowVol + con2.flowVol;
    -con3.flowO2 = con1.flowO2 + con2.flowO2;
    -con3.flowCO2 = con1.flowCO2 + con2.flowCO2;
    -con3.flowN2 = con1.flowN2 + con2.flowN2;
  */
  BasicGasGasResistor gasResistor1;
protected
  Modelica.Blocks.Sources.RealExpression con1Flow(y=con1.flowVol + con2.flowVol);
public
  GasTank gasTank(
    Volini=0.1,
    O2ini=10.5,
    CO2ini=0.015,
    N2ini=39.485);
  equation
    connect(con1, gasTank.con);
    connect(con2, gasTank.con);
    connect(gasResistor1.con1, gasTank.con);
    connect(con3, gasResistor1.con2);
    connect(gasResistor1.qGas, con1Flow.y);
end Tpipe;

```

## PhotoBioLib.Parts.HeatExchanger

### Heat exchanger



### Parameters

Type	Name	Default	Description
<a href="#">GeometryExchanger</a>	geometry		Geometrical parameters
<a href="#">HeatParExchanger</a>	heatPar		Heat parameters
<a href="#">InitialExchanger</a>	initialExchanger		Initial values

### Connectors

Type	Name	Description
<a href="#">LiqCon</a>	ConIn	Input liquid connector
<a href="#">LiqCon</a>	ConOut	Output liquid connector
<a href="#">HeatCon</a>	hCon	Heat connector

### Modelica definition

```

model HeatExchanger "Heat exchanger"
  extends PhotoBioLib.Interfaces.PartialLiquidLiq2FlowHeat1;
  extends PhotoBioLib.Icons.Parts.HeatExchangerIcon;

  parameter PhotoBioLib.Records.Geometry.GeometryExchanger geometry
    "Geometrical parameters";
  parameter PhotoBioLib.Records.Heat.HeatParExchanger heatPar "Heat parameters";
  parameter PhotoBioLib.Records.Initial.InitialExchanger initialExchanger
    "Initial values";

  PhotoBioLib.Basic.Liquid.LiqCapacitor liqCapacitor(initialLiq=
    initialExchanger);
  PhotoBioLib.Basic.Liquid.LiqResistor liqResistor(heatPar=heatPar);
  PhotoBioLib.Basic.Heat.HeatConvection heatConv(heatPar=heatPar, geometry=
    geometry);
  Modelica.Blocks.Sources.RealExpression Qinter(
    y=lConIn.flowVol);

  equation

```

```

connect(Qinter.y, liqResistor.qLiq);
connect(lConIn, liqCapacitor.lCon);
connect(liqResistor.con1, liqCapacitor.lCon);
connect(liqResistor.con2, lConOut);
connect(liqCapacitor.hCon, heatConv.hCon1);
connect(heatConv.hCon2, hCon);
end HeatExchanger;

```

## PhotoBioLib.Parts.Liquid

### Liquid parts package

### Package Content

Name	Description
<a href="#">LiqPump</a>	Liquid pump
<a href="#">LiqSource</a>	Liquid source
<a href="#">LiqTank</a>	Liquid tank

## PhotoBioLib.Parts.Liquid.LiqPump

### Liquid pump



### Parameters

Type	Name	Default	Description
replaceable class con	<a href="#">Liq2Flow1</a>		
replaceable class icon	<a href="#">LiqResistorIcon</a>		
<a href="#">HeatPar</a>	heatPar		Heat parameters
Real	Cv	heatPar.Cv	Volumetric heat capacity [J m <sup>-3</sup> °K <sup>-1</sup> ]

### Connectors

Type	Name	Description
<a href="#">LiqCon</a>	con1	Liquid connector on the left
<a href="#">LiqCon</a>	con2	Liquid connector on the righth
input RealInput	qLiq	Input liquid flow [m3 s <sup>-1</sup> ]
replaceable class icon		

### Modelica definition

```

model LiqPump "Liquid pump"
  extends PhotoBioLib.Basic.Liquid.LiqResistor(redeclare class icon =
    PhotoBioLib.Icons.Parts.LiqPumpIcon);
end LiqPump;

```

## PhotoBioLib.Parts.Liquid.LiqSource

### Liquid source



### Parameters

Type	Name	Default	Description
<a href="#">InitialLiq</a>	initialLiq		Initial liquid values
Real	Volini	initialLiq.Volini	Initial liquid volume [m3]
Real	Tini	initialLiq.Tini	Initial liquid temperature [°K]

### Connectors

Type	Name	Description
<a href="#">LiqCon</a>	Con	Liquid connector
input RealInput	T	Input temperature [°K]

### Modelica definition

```

model LiqSource "Liquid source"
  extends PhotoBioLib.Interfaces.Partial.Liquid.LiqTl;
  extends PhotoBioLib.Icons.Parts.LiqSourceIcon;

  parameter PhotoBioLib.Records.Initial.InitialLiq initialLiq
    "Initial liquid values";

  parameter Real Volini(unit="m3") = initialLiq.Volini "Initial liquid volume";

  parameter Real Tini(unit="°K") = initialLiq.Tini "Initial liquid temperature";

initial equation
  lCon.Vol = Volini;

equation
  // Calor
  lCon.T = T;

  der(lCon.Vol) = lCon.flowVol;
end LiqSource;

```

## PhotoBioLib.Parts.Liquid.LiqTank

Liquid tank



### Parameters

Type	Name	Default	Description
replaceable class	con	<a href="#">LiqHeatL</a>	
replaceable class	icon	<a href="#">LiqCapacitorIcon</a>	Icon
replaceable class	initialValues	<a href="#">InitialLiq</a>	
<a href="#">InitialLiq</a>	initialLiq	extends PhotoBioLib.Records...	Initial liquid values
<a href="#">HeatPar</a>	heatPar		Heat parameters
Real	Cv	heatPar.Cv	Volumetric heat capacity [J m <sup>-3</sup> °K <sup>-1</sup> ]
Real	Volini	initialLiq.Volini	Initial liquid volume [m <sup>3</sup> ]
Real	Tini	initialLiq.Tini	Initial temperature [°K]

### Connectors

Type	Name	Description
replaceable class	con	
<a href="#">LiqCon</a>	lCon	Liquid connector
<a href="#">HeatCon</a>	hCon	Heat connector
replaceable class	icon	

### Modelica definition

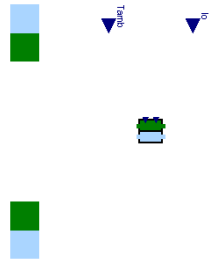
```

model LiqTank "Liquid tank"
  extends PhotoBioLib.Basic.Liquid.LiqCapacitor(redeclare class icon =
    PhotoBioLib.Icons.Parts.LiqTankIcon, redeclare class con =
    PhotoBioLib.Interfaces.Partial.Liquid.LiqHeatL Inv);
end LiqTank;

```

## PhotoBioLib.Parts.Loop

Loop with nE sections



### Parameters

Type	Name	Default	Description
replaceable class	con		
replaceable class	icon		
replaceable class	initialValues		
<a href="#">InitialLoop</a>	initialLoop	extends PhotoBioLib.Records...	Initial loop values
<a href="#">InitialGas</a>	initialGas	initialLoop.initialGas	Initial gas values
<a href="#">InitialBio</a>	initialLiq	initialLoop.initialLiq	Initial liquid values
<a href="#">Algae</a>	algae	algae "Algae parameters";	
<a href="#">Geometry</a>	geometry	geometry "Geometrical parameters";	
<a href="#">HeatParLoop</a>	heatPar	heatPar "Heat parameters";	
<a href="#">MassTransferLoop</a>	massTransfer	massTransfer "Mass transfer parameters";	
Integer	nE	geometry.nE	Number of sections;
Integer	pointProbe	nE	"Probe point";
<a href="#">PhotoBioLib.Basic.Biomass.LoopSection</a>	s[nE]	geometry.fill(geometry, nE), heatPar.fill(heatPar, nE), massTransfer.fill(massTransfer, nE), initialGas.fill(initialGas, nE), initialLiq.fill(initialLiq, nE), algae.fill(algae, nE));	
equation		// Conexión de secciones connect(s[1].conL1, conLIn); connect(s[1].conG1, conGIn); for i in 1:nE - 1 loop connect(s[i].conL2, s[i + 1].conL1); connect(s[i].conG2, s[i + 1].conG1); end for; connect(s[nE].conL2, conLOut); connect(s[nE].conG2, conGOut);	
equation		// Conexión de radiación y velocidad for i in 1:nE loop connect(s[i].Io, Io); connect(s[i].T, Tamb); end for;	
equation		// Conexión de la sonda connect(s[pointProbe].conL1, conLprobe); connect(s[pointProbe].conG1, conGprobe);	

Type	Name	Default	Description
<a href="#">InitialLoop</a>	initialLoop		Initial values
<a href="#">Algae</a>	algae		Algae parameters
<a href="#">GeometryLoop</a>	geometry		Geometrical parameters
<a href="#">HeatParLoop</a>	heatPar		Heat parameters
<a href="#">MassTransferLoop</a>	massTransfer		Mass transfer parameters

### Connectors

Type	Name	Description
<a href="#">BioCon</a>	conLOut	Liquid output
<a href="#">GasCon</a>	conGOut	Gas output
<a href="#">GasCon</a>	conGIn	Gas input
<a href="#">BioCon</a>	conLIn	Liquid input
input RealInput	Io	Input radiation [uE m <sup>-2</sup> s <sup>-1</sup> ]
<a href="#">GasCon</a>	conGprobe	Gas probe
<a href="#">BioCon</a>	conLprobe	Liquid probe
input RealInput	Tamb	Input temperature [°K]

### Modelica definition

```

model Loop "Loop with nE sections"
  extends PhotoBioLib.Icons.Parts.LoopIcon;
  extends PhotoBioLib.Interfaces.Partial.Others.Loop;

  parameter PhotoBioLib.Records.Initial.InitialLoop initialLoop
    "Initial values";
  constant PhotoBioLib.Records.Initial.InitialGas initialGas=initialLoop.initialGas
    "Initial gas values";
  constant PhotoBioLib.Records.Initial.InitialBio initialLiq=initialLoop.initialLiq
    "Initial liquid values";
  parameter PhotoBioLib.Records.Algae.Algae algae "Algae parameters";

  parameter PhotoBioLib.Records.Geometry.GeometryLoop geometry
    "Geometrical parameters";
  parameter PhotoBioLib.Records.Heat.HeatParLoop heatPar "Heat parameters";
  parameter PhotoBioLib.Records.MassTransfer.MassTransferLoop massTransfer
    "Mass transfer parameters";

  constant Integer nE = geometry.nE "Number of sections";
  constant Integer pointProbe= nE "Probe point";

  PhotoBioLib.Basic.Biomass.LoopSection s[nE](
    geometry=fill(geometry, nE),
    heatPar=fill(heatPar, nE),
    massTransfer=fill(massTransfer, nE),
    initialGas=fill(initialGas, nE),
    initialLiq=fill(initialLiq, nE),
    algae=fill(algae, nE));

equation
  // Conexión de secciones
  connect(s[1].conL1, conLIn);
  connect(s[1].conG1, conGIn);
  for i in 1:nE - 1 loop
    connect(s[i].conL2, s[i + 1].conL1);
    connect(s[i].conG2, s[i + 1].conG1);
  end for;
  connect(s[nE].conL2, conLOut);
  connect(s[nE].conG2, conGOut);

  // Conexión de radiación y velocidad
  for i in 1:nE loop
    connect(s[i].Io, Io);
    connect(s[i].T, Tamb);
  end for;

  // Conexión de la sonda
  connect(s[pointProbe].conL1, conLprobe);
  connect(s[pointProbe].conG1, conGprobe);
end Loop;

```

## PhotoBioLib.Parts.Radiation

Radiation package

### Package Content

Name	Description
<a href="#">Radiation</a>	Radiation
<a href="#">toDegrees</a>	toDegrees function
<a href="#">toRadians</a>	toRadians function

## PhotoBioLib.Parts.Radiation.Radiation

## Radiation

$k_q$



## Parameters

Type	Name	Default	Description
Integer	startDay	1	
Integer	startSecond	1	
Real	latitude	36.767	
Real	longitudeLocal	-2.4	
Real	longitudeUso	0	

## Connectors

Type	Name	Description
output Real	Output	Io
		Radiation [uE m-2 s-1]

## Modelica definition

```
model Radiation "Radiation"
import Modelica.Constants.pi;
import Modelica.Math.acos;

extends PhotoBioLib.Interfaces.Partial.Others.Radi;
extends PhotoBioLib.Icons.Parts.RadiationIcon;

parameter Integer startDay = 1;
parameter Integer startSecond = 1;
parameter Real latitude = 36.767;
parameter Real longitudeLocal = -2.4;
parameter Real longitudeUso = 0;
Real G0;

Real latitudeRad;
constant Real Bo = 1367;
// Cambiar
constant Real Ktd = 0.53;
// Cambiar
Real Fd;
Real second;
Real minute;
Real day;
Real hour;
Real omega;
Real gamma;
Real delta;
Real omega_s;
Real cosin_fi_2S;
Real fi_2S;
Real Eo;
Real Bo0;
Real Bod0;
Real Gd0;
Real Dd0;
Real rD;
Real D0;
Real aux;
Real a;
Real b;
Real rG;
Real B0;
//Real minute2;

algorithm
Io:=G0*2;

equation

latitudeRad = PhotoBioLib.Parts.Radiation.toRadians(latitude);
second = time + startSecond;
minute = second / 60;
day = startDay + div(minute, 24 * 60);
hour = (minute - day * 24 * 60) / 60;
omega = 15 * (hour - 12) - longitudeLocal - longitudeUso;
gamma = (2 * pi * (day - 1)) / 365;
delta = 0.006918 - 0.399912 * cos(gamma) + 0.070257 * sin(gamma) - 0.006758 * cos(2 * gamma) + 0.000907 * sin(2 * gamma) - 0.002697;
omega_s = -acos(-tan(delta) * tan(latitudeRad));
cosin_fi_2S = cos(delta)*cos(latitudeRad)*cos(
PhotoBioLib.Parts.Radiation.toRadians(omega)) + sin(delta)*sin(latitudeRad);
fi_2S = acos(cosin_fi_2S);
Eo = 1.00011 + 0.034221 * cos(gamma) + 0.00128 * sin(gamma) + 0.000719 * cos(2 * gamma) + 0.000077 * sin(2 * gamma);
Bo0 = Bo * Eo * cosin_fi_2S;
Bod0 = 24.0/pi*Bo*Eo*(-1*pi)/180.0*PhotoBioLib.Parts.Radiation.toDegrees(
omega_s)*sin(latitudeRad)*sin(delta) - cos(latitudeRad)*cos(delta)*sin(
omega_s);
Gd0 = Ktd * Bod0;
Dd0 = Fd * Gd0;
rD = max(0, Bo0 / Bod0);
D0 = max(0, rD * Dd0);
aux = sin(omega_s + PhotoBioLib.Parts.Radiation.toRadians(60));
a = 0.409 - 0.5016 * aux;
b = 0.6609 - 0.4767 * aux;
rG = rD*(a + b*cos(PhotoBioLib.Parts.Radiation.toRadians(omega)));
G0 = max(0, rG * Gd0);
```

```
B0 = G0 - D0;
Fd = if Ktd <= 0.14 then 0.952 else if Ktd > 0.8 then 0.141 else 0.868 + 1.335 * Ktd - 5.782 * Ktd * Ktd + 3.721 * Ktd * Ktd * Ktd;
end Radiation;
```

## PhotoBioLib.Parts.Radiation.toDegrees

toDegrees function

### Inputs

Type	Name	Default	Description
Real	rad		

Outputs

Type	Name	Description
Real	deg	

Modelica definition

```
function toDegrees "toDegrees function"
import Modelica.Constants.pi;
input Real rad;
output Real deg;
algorithm
deg:=(rad * 360) / (2 * pi);
end toDegrees;
```

## PhotoBioLib.Parts.Radiation.toRadians

toRadians function

### Inputs

Type	Name	Default	Description
Real	deg		

Outputs

Type	Name	Description
Real	rad	

Modelica definition

```
function toRadians "toRadians function"
import Modelica.Constants.pi;
input Real deg;
output Real rad;
algorithm
rad:=(2 * pi * deg) / 360;
end toRadians;
```

## PhotoBioLib.Records

Records package


Package Content

Name	Description
<a href="#">Algae</a>	Algae parameters package
<a href="#">Constants</a>	Constants
<a href="#">Geometry</a>	Geometrical parameters package
<a href="#">Heat</a>	Heat parameters package
<a href="#">Initial</a>	Initial values package
<a href="#">LocationAndDate</a>	Location and date values
<a href="#">MassTransfer</a>	Mass transfer parameters package
<a href="#">Operation</a>	Operation parameters
<a href="#">PhysicalPar_ClosedPhotobioreactor</a>	Physical parameters of a closed photobioreactor

## PhotoBioLib.Records.Algae

Algae parameters package

## Package Content

Name	Description
 <a href="#">Algae</a>	Algae parameters

## PhotoBioLib.Records.Algae.Algae

### Algae parameters

### Parameters

Type	Name	Default	Description
Real	A1	4.99E7	Preexponential factor [1]
Real	A2	1.66E13	Preexponential factor [1]
Real	B1	2.4098	Preexponential factor [1]
Real	B2	533.009	Preexponential factor [1]
Real	C1	6.2684	Activation energie [1]
Real	C2	68.8062	Activation energie [1]
Real	Ea1	4.27E4	Activation energie [mol J-1]
Real	Ea2	7.71E4	Activation energie [mol J-1]
Real	Ka	133.0324	Extinction coefficient [m2 Kg-1]
Real	K1	173.9504	Form parameter [uE m-2 s-1]
Real	KO2	0.7202	Oxygen inhibition constant [mol m-3]
Real	m	0.0015	Form parameter [1]
Real	n	0.9779	Form exponent [1]
Real	nO2	100	Form parameter [1]
Real	PO2max	4.37E-5	Maximum photosynthesis rate [KgO2 KgB-1 s-1]=1/s]
Real	r	0.01	Respiration factor [1]
Real	R	8.314472	Gas constant [J K-1 mol-1]
Real	Ybo	0.9713	Biomass yield coefficient [KgB KgO2-1]
Real	z	5.4333	Form parameter [1]

### Modelica definition

```
record Algae "Algae parameters"
  extends PhotoBioLib.Icons.Records.AlgaeIcon;

  parameter Real A1(unit="1") = 4.99E7 "Preexponential factor";
  parameter Real A2(unit="1") = 1.66E13 "Preexponential factor";
  parameter Real B1(unit="1") = 2.4098 "Preexponential factor";
  parameter Real B2(unit="1") = 533.009 "Preexponential factor";
  parameter Real C1(unit="1") = 6.2684 "Activation energie";
  parameter Real C2(unit="1") = 68.8062 "Activation energie";
  parameter Real Ea1(unit="mol J-1") = 4.27E4 "Activation energie";
  parameter Real Ea2(unit="mol J-1") = 7.71E4 "Activation energie";
  parameter Real Ka(unit="m2 Kg-1") = 133.0324 "Extinction coefficient";
  parameter Real K1(unit="uE m-2 s-1") = 173.9504 "Form parameter";
  parameter Real KO2(unit="mol m-3") = 0.7202 "Oxygen inhibition constant";
  parameter Real m(unit="1") = 0.0015 "Form parameter";
  parameter Real n(unit="1") = 0.9779 "Form exponent";
  parameter Real nO2(unit="1") = 100 "Form parameter";
  parameter Real PO2max(unit="KgO2 KgB-1 s-1)=1/s") = 4.37E-5
    "Maximum photosynthesis rate";
  parameter Real r(unit="1") = 0.01 "Respiration factor";
  parameter Real R(unit="J K-1 mol-1") = 8.314472 "Gas constant";
  parameter Real Ybo(unit="KgB KgO2-1") = 0.9713 "Biomass yield coefficient";
  parameter Real z(unit="1") = 5.4333 "Form parameter";
end Algae;
```

## PhotoBioLib.Records.Constants

### Constants

### Modelica definition

```
record Constants "Constants"
  // Constantes de Henry
  constant Real HO2(unit="mol atm-1 m-3") = 1.07 "Henry constant for oxygen";
  constant Real HCO2(unit="mol atm-1 m-3") = 38.36
    "Henry constant for carbon dioxide";
  constant Real Pt(unit="atm") = 1 "Atmospheric pressure";

  // Masa molar y volumen
  constant Real Vmol(unit="m3 mol-1") = 20E-3 "Molar volumen";
  constant Real MO2(unit="Kg mol-1") = 32E-3 "Molecular weight of oxygen";
  constant Real MCO2(unit="Kg mol-1") = 44E-3
    "Molecular weight of carbon dioxide";

  // Equilibrium constants H
```

```
constant Real Kw(unit="1") = 10^(-14) "Equilibrium constant";
constant Real K1(unit="1") = 10^(-6.381) "Equilibrium constant";
constant Real K2(unit="1") = 10^(-10.377) "Equilibrium constant";

// En realidad parámetros de operacion??

// Molar fraction in the air
constant Real yO2(unit="1") = 0.2097 "Molar fraction of oxygen in the air";
constant Real yCO2(unit="1") = 0.0003
  "Molar fraction of carbon dioxide in the air";
constant Real yN2(unit="1") = 0.79 "Molar fraction of nitrogen in the air";





// Molar fraction in the CO2
constant Real yO2CO2(unit="1") = 0
  "Molar fraction of oxygen in the CO2 injection";
constant Real yCO2CO2(unit="1") = 0.95
  "Molar fraction of carbon dioxide in the CO2 injection";
constant Real yN2CO2(unit="1") = 0.05
  "Molar fraction of nitrogen in the CO2 injection";
```

end Constants;

## PhotoBioLib.Records.Geometry

### Geometrical parameters package

### Package Content

Name	Description
 <a href="#">Geometry</a>	Geometrical parameters
 <a href="#">GeometryColumn</a>	Geometrical parameters of the column
 <a href="#">GeometryExchanger</a>	Geometrical parameters of the exchanger
 <a href="#">GeometryLoop</a>	Geometrical parameters of the loop

## PhotoBioLib.Records.Geometry.Geometry

### Geometrical parameters

### Parameters

Type	Name	Default	Description
Real	alpha	0.9725	Distribution solar factor [1]
Real	dt	0.084	Total diameter [m]
Real	L	400	Length [m]
Integer	nE	20	Number of elements
Real	At	pi*(dt/2)^2	Total cross-sectional area [m2]
Real	dX	L/nE	Length of section [m]
Real	S	dt*pi*dX	Surface of section [m2]
Real	Vol	At*dX	Volume of section [m3]

### Modelica definition

```
record Geometry "Geometrical parameters"
  extends Modelica.Icons.Record;
  import Modelica.Constants.pi;

  parameter Real alpha(unit="1") = 0.9725 "Distribution solar factor";
  parameter Real dt(unit="m") = 0.084 "Total diameter";
  parameter Real L(unit="m") = 400 "Length";
  parameter Integer nE = 20 "Number of elements";
  parameter Real At(unit="m2") = pi*(dt/2)^2 "Total cross-sectional area";
  parameter Real dX(unit="m") = L/nE "Length of section";
  parameter Real S(unit="m2") = dt*pi*dX "Surface of section";
  parameter Real Vol(unit="m3") = At*dX "Volume of section";
end Geometry;
```

## PhotoBioLib.Records.Geometry.GeometryColumn

### Geometrical parameters of the column

### Parameters

Type	Name	Default	Description
Real	alpha	0.1052	Distribution solar factor [1]
Real	dt	0.4	Total diameter [m]
Real	L	3.2	Length [m]
Integer	nE	1	Number of elements
Real	At	pi*(dt/2)^2	Total cross-sectional area [m2]
Real	dX	L/nE	Length of section [m]

Real	S	dt*pi*dX	Surface of section [m2]
Real	Vol	At*dX	Volume of section [m3]

### Modelica definition

```

record GeometryColumn "Geometrical parameters of the column"
  extends PhotoBioLib.Records.Geometry.Geometry(
    alpha=0.1052,
    dt=0.4,
    L=3.2,
    nE=1);
end GeometryColumn;

```

### PhotoBioLib.Records.Geometry.GeometryExchanger

Geometrical parameters of the exchanger

#### Parameters

Type	Name	Default	Description
Real	alpha	0.9725	Distribution solar factor [1]
Real	dt	0.084	Total diameter [m]
Real	L	400	Length [m]
Integer	nE	20	Number of elements
Real	At	pi*(dt/2)^2	Total cross-sectional area [m2]
Real	dX	L/nE	Length of section [m]
Real	S	3.1919	Surface of section [m2]
Real	Vol	20.3E-3	Volume of section [m3]

### Modelica definition

```

record GeometryExchanger "Geometrical parameters of the exchanger"
  extends Geometry(
    S=3.1919,
    Vol=20.3E-3);
  //nE=1,
end GeometryExchanger;

```

### PhotoBioLib.Records.Geometry.GeometryLoop

Geometrical parameters of the loop

#### Parameters

Type	Name	Default	Description
Real	alpha	0.9725	Distribution solar factor [1]
Real	dt	0.084	Total diameter [m]
Real	L	400	Length [m]
Integer	nE	20	Number of elements
Real	At	pi*(dt/2)^2	Total cross-sectional area [m2]
Real	dX	L/nE	Length of section [m]
Real	S	dt*pi*dX	Surface of section [m2]
Real	Vol	At*dX	Volume of section [m3]

### Modelica definition

```




record GeometryLoop "Geometrical parameters of the loop"
  extends PhotoBioLib.Records.Geometry.Geometry(
    alpha=0.9725,
    dt=0.084,
    L=400,
    nE=20);
end GeometryLoop;


```

### PhotoBioLib.Records.Heat

Heat parameters package

#### Package Content

Name	Description
 HeatPar	Heat parameters
 HeatParColumn	Heat parameters of the column
 HeatParExchanger	Heat parameters of the exchanger

 HeatParLoop	Heat parameters of the loop
---	-----------------------------

### PhotoBioLib.Records.Heat.HeatPar

Heat parameters

#### Parameters

Type	Name	Default	Description
Real	aR	0.5411	Solar irradiance absorptivity [1]
Real	Cv	4184e3	Volumetric heat capacity [J m-3 °K-1]
Real	h	6.6189	Transmission coefficient [J s-1 m-2 °K-1]

### Modelica definition

```

record HeatPar "Heat parameters"
  extends Modelica.Icons.Record;
  parameter Real aR(unit="1") = 0.5411 "Solar irradiance absorptivity";
  parameter Real Cv(unit="J m-3 °K-1")=4184e3 "Volumetric heat capacity";
  parameter Real h(unit="J s-1 m-2 °K-1") = 6.6189 "Transmission coefficient"; //poner a 0 o quitar??
end HeatPar;

```

### PhotoBioLib.Records.Heat.HeatParColumn

Heat parameters of the column

#### Parameters

Type	Name	Default	Description
Real	aR	0.5411	Solar irradiance absorptivity [1]
Real	Cv	4184e3	Volumetric heat capacity [J m-3 °K-1]
Real	h	11.1886	Transmission coefficient [J s-1 m-2 °K-1]

### Modelica definition

```

record HeatParColumn "Heat parameters of the column"
  extends HeatPar(
    h=11.1886);
end HeatParColumn;

```

### PhotoBioLib.Records.Heat.HeatParExchanger

Heat parameters of the exchanger

#### Parameters

Type	Name	Default	Description
Real	aR	0.5411	Solar irradiance absorptivity [1]
Real	Cv	4184e3	Volumetric heat capacity [J m-3 °K-1]
Real	h	449.9170	Transmission coefficient [J s-1 m-2 °K-1]

### Modelica definition

```

record HeatParExchanger "Heat parameters of the exchanger"
  extends HeatPar(
    h=449.9170);
end HeatParExchanger;

```

### PhotoBioLib.Records.Heat.HeatParLoop

Heat parameters of the loop

#### Parameters

Type	Name	Default	Description
Real	aR	0.5411	Solar irradiance absorptivity [1]
Real	Cv	4184e3	Volumetric heat capacity [J m-3 °K-1]
Real	h	6.6189	Transmission coefficient [J s-1 m-2 °K-1]

### Modelica definition

```

record HeatParLoop "Heat parameters of the loop"
  extends HeatPar(
    h = 6.6189);
  //aR = 0.5411,

```

```
//Cv = 4184,
end HeatParLoop;
```

## PhotoBioLib.Records.Initial

Initial values package

### Package Content

Name	Description
<a href="#">InitialAirInyection</a>	Initial gas values of the air injector
<a href="#">InitialBio</a>	Initial liquid and biomass values
<a href="#">InitialBioTank</a>	Initial values of a liquid tank with biomass
<a href="#">InitialCO2Inyection</a>	Initial gas values of the CO2 injector
<a href="#">InitialColumn</a>	Initial values of the column
<a href="#">InitialExchanger</a>	Initial values of the exchanger
<a href="#">InitialGas</a>	Initial gas values
<a href="#">InitialGasTank</a>	Initial values of a gas tank
<a href="#">InitialLiq</a>	Initial liquid values
<a href="#">InitialLiqTank</a>	Initial values of a liquid tank
<a href="#">InitialLoop</a>	Initial values of the loop
<a href="#">InitialMedium</a>	Initial values of the medium
<a href="#">Initials</a>	Initial gas and liquid values

## PhotoBioLib.Records.Initial.InitialAirInyection

Initial gas values of the air injector

### Parameters

Type	Name	Default	Description
Real	O2ini	10.5	Initial oxygen concentration in the gas phase [mol m-3]
Real	CO2ini	0.015	Initial carbon dioxide concentration in the gas phase [mol m-3]
Real	N2ini	39.485	Initial nitrogen concentration in the gas phase [mol m-3]
Real	Volini	0	Initial gas volume [m3]

### Modelica definition

```
record InitialAirInyection "Initial gas values of the air injector"
  extends PhotoBioLib.Records.Initial.InitialGas(
    O2ini=10.5,
    CO2ini=0.015,
    N2ini=39.485,
    Volini=0);
end InitialAirInyection;
```

## PhotoBioLib.Records.Initial.InitialBio

Initial liquid and biomass values

### Parameters

Type	Name	Default	Description
Real	O2ini	70*Constants.HO2*Constants.y...	Initial oxygen concentration in the liquid phase [mol m-3]
Real	CO2ini	Ctini/(1 + Constants.K1/Hini...	Initial carbon dioxide concentration in the liquid phase [mol m-3]
Real	Ctini	6	Initial total inorganic carbon concentration in the liquid phase [mol m-3]
Real	Hini	4.2530E-8	Initial hydrogen concentration in the liquid phase [mol m-3]
Real	Cbini	1	Initial biomass concentration [Kg m-3]
Real	Volini	0	Initial liquid volume [m3]
Real	Tini	14 + 274.15	Initial temperature of the liquid [°K]

### Modelica definition

```
record InitialBio "Initial liquid and biomass values"
  extends Modelica.Icons.Record;
  import PhotoBioLib.Records.Constants;
  parameter Real O2ini(unit="mol m-3") = 70*Constants.HO2*Constants.yO2/100
    "Initial oxygen concentration in the liquid phase";
  parameter Real CO2ini(unit="mol m-3")=Ctini/(1+Constants.K1/Hini +Constants.K1*Constants.K2/Hini^2)
    "Initial carbon dioxide concentration in the liquid phase";
  parameter Real Ctini(unit="mol m-3")=6
    "Initial total inorganic carbon concentration in the liquid phase";
```

```
parameter Real Hini(unit="mol m-3")=4.2530E-8
  "Initial hydrogen concentration in the liquid phase";
parameter Real Cbini(unit="Kg m-3")=1 "Initial biomass concentration";
parameter Real Volini(unit="m3")=0 "Initial liquid volume";
parameter Real Tini(unit="°K")=14+274.15 "Initial temperature of the liquid";
end InitialBio;
```

## PhotoBioLib.Records.Initial.InitialBioTank

Initial values of a liquid tank with biomass

### Parameters

Type	Name	Default	Description
Real	O2ini	70*Constants.HO2*Constants.y...	Initial oxygen concentration in the liquid phase [mol m-3]
Real	CO2ini	Ctini/(1 + Constants.K1/Hini...	Initial carbon dioxide concentration in the liquid phase [mol m-3]
Real	Ctini	6	Initial total inorganic carbon concentration in the liquid phase [mol m-3]
Real	Hini	4.2530E-8	Initial hydrogen concentration in the liquid phase [mol m-3]
Real	Cbini	1	Initial biomass concentration [Kg m-3]
Real	Volini	0	Initial liquid volume [m3]
Real	Tini	14 + 274.15	Initial temperature of the liquid [°K]

### Modelica definition

```
record InitialBioTank "Initial values of a liquid tank with biomass"
  extends PhotoBioLib.Records.Initial.InitialBio;
end InitialBioTank;
```

## PhotoBioLib.Records.Initial.InitialCO2Inyection

Initial gas values of the CO2 injector

### Parameters

Type	Name	Default	Description
Real	O2ini	0	Initial oxygen concentration in the gas phase [mol m-3]
Real	CO2ini	47.5	Initial carbon dioxide concentration in the gas phase [mol m-3]
Real	N2ini	2.5	Initial nitrogen concentration in the gas phase [mol m-3]
Real	Volini	0	Initial gas volume [m3]

### Modelica definition

```
record InitialCO2Inyection "Initial gas values of the CO2 injector"
  extends PhotoBioLib.Records.Initial.InitialGas(
    O2ini=0,
    CO2ini=47.5,
    N2ini=2.5,
    Volini=0);
end InitialCO2Inyection;
```

## PhotoBioLib.Records.Initial.InitialColumn

Initial values of the column

### Modelica definition

```
record InitialColumn "Initial values of the column"
  extends Initials(
    initialGas(
      O2ini = 0,
      CO2ini = 0,
      N2ini = 0,
      Volini = 0),
    initialLiq(
      O2ini=68*Constants.HO2*Constants.yO2/100,
      Cbini=1,
      Ctini=6,
      Hini=4.2530E-8,
      Tini=14+274.15));
end InitialColumn;
```

## PhotoBioLib.Records.Initial.InitialExchanger

Initial values of the exchanger

### Parameters

Type	Name	Default	Description
------	------	---------	-------------

Real	Volini	20.3E-3	Initial liquid volume [m3]
Real	Tini	14 + 274.15	Initial temperature of the liquid [°K]

### Modelica definition

```
record InitialExchanger "Initial values of the exchanger"
  extends PhotoBioLib.Records.Initial.InitialLiq(Tini=14 + 274.15, Volini=
    20.3E-3);
end InitialExchanger;
```

### PhotoBioLib.Records.Initial.InitialGas

#### Initial gas values

#### Parameters

Type	Name	Default	Description
Real	O2ini	0	Initial oxygen concentration in the gas phase [mol m-3]
Real	CO2ini	0	Initial carbon dioxide concentration in the gas phase [mol m-3]
Real	N2ini	0	Initial nitrogen concentration in the gas phase [mol m-3]
Real	Volini	0	Initial gas volume [m3]

### Modelica definition

```
record InitialGas "Initial gas values"
  extends Modelica.Icons.Record;
  parameter Real O2ini(unit="mol m-3") = 0
    "Initial oxygen concentration in the gas phase";
  parameter Real CO2ini(unit="mol m-3") = 0
    "Initial carbon dioxide concentration in the gas phase";
  parameter Real N2ini(unit="mol m-3") = 0
    "Initial nitrogen concentration in the gas phase";
  parameter Real Volini(unit="m3")=0 "Initial gas volume";
end InitialGas;
```

### PhotoBioLib.Records.Initial.InitialGasTank

#### Initial values of a gas tank

#### Parameters

Type	Name	Default	Description
Real	O2ini	0	Initial oxygen concentration in the gas phase [mol m-3]
Real	CO2ini	0	Initial carbon dioxide concentration in the gas phase [mol m-3]
Real	N2ini	0	Initial nitrogen concentration in the gas phase [mol m-3]
Real	Volini	0	Initial gas volume [m3]

### Modelica definition

```
record InitialGasTank "Initial values of a gas tank"
  extends InitialGas(
    O2ini=0,
    CO2ini=0,
    N2ini=0,
    Volini=0);
end InitialGasTank;
```

### PhotoBioLib.Records.Initial.InitialLiq

#### Initial liquid values

#### Parameters

Type	Name	Default	Description
Real	Volini	0	Initial liquid volume [m3]
Real	Tini	14 + 274.15	Initial temperature of the liquid [°K]

### Modelica definition

```
record InitialLiq "Initial liquid values"
  extends Modelica.Icons.Record;
  import PhotoBioLib.Records.Constants;

  parameter Real Volini(unit="m3")=0 "Initial liquid volume";
  parameter Real Tini(unit="°K")=14+274.15 "Initial temperature of the liquid";
end InitialLiq;
```

### PhotoBioLib.Records.Initial.InitialLiqTank

#### Initial values of a liquid tank

#### Parameters

Type	Name	Default	Description
Real	Volinj	0	Initial liquid volume [m3]
Real	Tini	14 + 274.15	Initial temperature of the liquid [°K]

### Modelica definition

```
record InitialLiqTank "Initial values of a liquid tank"
  extends PhotoBioLib.Records.Initial.InitialLiq;
end InitialLiqTank;
```

### PhotoBioLib.Records.Initial.InitialLoop

#### Initial values of the loop

#### Modelica definition

```
record InitialLoop "Initial values of the loop"
  extends Initials(
    initialGas(
      O2ini = 0,
      CO2ini = 0,
      N2ini = 0,
      Volini = 0),
    initialLiq(
      O2ini=70*Constants.HO2*Constants.yO2/100,
      Cbini=1,
      Ctini=6,
      Hini=4.2530E-8,
      Tini=14+274.15));
end InitialLoop;
```

### PhotoBioLib.Records.Initial.InitialMedium

#### Initial values of the medium

#### Parameters

Type	Name	Default	Description
Real	O2ini	0.2812	Initial oxygen concentration in the liquid phase [mol m-3]
Real	CO2ini	Ctini*(1 + Constants.K1/Hini...	Initial carbon dioxide concentration in the liquid phase [mol m-3]
Real	Ctini	8	Initial total inorganic carbon concentration in the liquid phase [mol m-3]
Real	Hini	4.2530E-8	Initial hydrogen concentration in the liquid phase [mol m-3]
Real	Cbini	0	Initial biomass concentration [Kg m-3]
Real	Volini	0	Initial liquid volume [m3]
Real	Tini	14 + 274.15	Initial temperature of the liquid [°K]

### Modelica definition

```
record InitialMedium "Initial values of the medium"
  extends PhotoBioLib.Records.Initial.InitialBio(
    O2ini=0.2812,
    Cbini=0,
    Ctini=8,
    Tini=14 + 274.15);
end InitialMedium;
```

### PhotoBioLib.Records.Initial.Initials

#### Initial gas and liquid values

#### Parameters

Type	Name	Default	Description
InitialGas	initialGas		
InitialBio	initialLiq		

### Modelica definition

```
record Initials "Initial gas and liquid values"
  extends Modelica.Icons.Record;
  parameter PhotoBioLib.Records.Initial.InitialGas initialGas;
  parameter PhotoBioLib.Records.Initial.InitialBio initialLiq;
```

```
end Initials;
```

## PhotoBioLib.Records.LocationAndDate

Location and date values

### Modelica definition

```
record LocationAndDate "Location and date values"  
  extends Modelica.Icons.Record;  
end LocationAndDate;
```

## PhotoBioLib.Records.MassTransfer

Mass transfer parameters package

### Package Content

Name	Description
<a href="#">MassTransfer</a>	Mass transfer parameters
<a href="#">MassTransferColumn</a>	Mass transfer parameters of the column
<a href="#">MassTransferLoop</a>	Mass transfer parameters of the loop

## PhotoBioLib.Records.MassTransfer.MassTransfer

Mass transfer parameters

### Parameters

Type	Name	Default	Description
Real	a	0.012	Form parameter [1]
Real	b	0.8450	Form parameter [1]
Real	KCO2	0.91	TTransfer coefficient for CO2 [1]
Real	Vmf	0.651	Bubble accession rate [m s-1]
Real	CO	0.996	Drift flux model parameter [1]

### Modelica definition

```
record MassTransfer "Mass transfer parameters"  
  extends Modelica.Icons.Record;  
  parameter Real a(unit="1") = 0.012 "Form parameter";  
  parameter Real b(unit="1") = 0.8450 "Form parameter";  
  parameter Real KCO2(unit="1") = 0.91 "TTransfer coefficient for CO2";  
  parameter Real Vmf(unit="m s-1") = 0.651 "Bubble accession rate";  
  parameter Real CO(unit="1") = 0.996 "Drift flux model parameter";  
end MassTransfer;
```

## PhotoBioLib.Records.MassTransfer.MassTransferColumn

Mass transfer parameters of the column

### Parameters

Type	Name	Default	Description
Real	a	0.0606	Form parameter [1]
Real	b	0.7533	Form parameter [1]
Real	KCO2	0.9017	TTransfer coefficient for CO2 [1]
Real	Vmf	0.651	Bubble accession rate [m s-1]
Real	CO	0.996	Drift flux model parameter [1]

### Modelica definition

```
record MassTransferColumn "Mass transfer parameters of the column"  
  extends PhotoBioLib.Records.MassTransfer.MassTransfer(  
    a=0.0606,  
    b=0.7533,  
    KCO2=0.9017,  
    Vmf=0.651,  
    CO=0.996);  
end MassTransferColumn;
```

## PhotoBioLib.Records.MassTransfer.MassTransferLoop

Mass transfer parameters of the loop

### Parameters

Type	Name	Default	Description
Real	a	0.012	Form parameter [1]
Real	b	0.8450	Form parameter [1]
Real	KCO2	0.91	TTransfer coefficient for CO2 [1]
Real	Vmf	0.651	Bubble accession rate [m s-1]
Real	CO	0.996	Drift flux model parameter [1]

### Modelica definition

```
record MassTransferLoop "Mass transfer parameters of the loop"  
  extends PhotoBioLib.Records.MassTransfer.MassTransfer(  
    a=0.012,  
    b=0.8450,  
    KCO2=0.91);  
end MassTransferLoop;
```

## PhotoBioLib.Records.Operation

Operation parameters

### Parameters

Type	Name	Default	Description
<a href="#">InitialLoop</a>	initialLoop		Initial values of the loop
<a href="#">InitialColumn</a>	initialColumn		Initial values of the column
<a href="#">InitialLiqTank</a>	initialLiqTank		Initial values of the liquid tank
<a href="#">InitialBioTank</a>	initialBioTank		Initial values of the biomass tank
<a href="#">InitialMedium</a>	initialMedium		Initial values of the medium
<a href="#">InitialExchanger</a>	initialExchanger		Initial values of the exchanger
<a href="#">InitialGasTank</a>	initialGasTank		Initial values of the gas tank
<a href="#">InitialAirInyection</a>	initialAirInyection		Initial values od the gas injector
<a href="#">InitialCO2Inyection</a>	initialCO2Inyection		Initial values of the CO2 inyection
Real	qMedio	5*(1e-4)/6	Medium flow [m3 s-1]
Real	qInter	30*(1e-4)/6	Exchanger liquid flow [m3 s-1]
Real	qMove	332*(1e-4)/6	Liquid circulation flow [m3 s-1]
Real	qBuble	140*(1e-4)/6	Air inyection flow [m3 s-1]
Real	qCO2	0	CO2 inyection flow [m3 s-1]

### Modelica definition

```
record Operation "Operation parameters"  
  extends Modelica.Icons.Record;  
  // Initial values  
  parameter PhotoBioLib.Records.Initial.InitialLoop initialLoop  
    "Initial values of the loop";  
  parameter PhotoBioLib.Records.Initial.InitialColumn initialColumn  
    "Initial values of the column";  
  
  // Liquid  
  parameter PhotoBioLib.Records.Initial.InitialLiqTank initialLiqTank  
    "Initial values of the liquid tank";  
  parameter PhotoBioLib.Records.Initial.InitialBioTank initialBioTank  
    "Initial values of the biomass tank";  
  
  parameter PhotoBioLib.Records.Initial.InitialMedium initialMedium  
    "Initial values of the medium";  
  parameter PhotoBioLib.Records.Initial.InitialExchanger initialExchanger  
    "Initial values of the exchanger";  
  
  // Gas  
  parameter PhotoBioLib.Records.Initial.InitialGasTank initialGasTank  
    "Initial values of the gas tank";  
  parameter PhotoBioLib.Records.Initial.InitialAirInyection initialAirInyection  
    "Initial values od the gas injector";  
  parameter PhotoBioLib.Records.Initial.InitialCO2Inyection initialCO2Inyection  
    "Initial values of the CO2 inyection";  
  
  // Caudales y otras entradas  
  parameter Real qMedio(unit="m3 s-1") = 5*(1e-4)/6 "Medium flow";  
  parameter Real qInter(unit="m3 s-1") = 30*(1e-4)/6 "Exchanger liquid flow";  
  parameter Real qMove(unit="m3 s-1") = 332*(1e-4)/6 "Liquid circulation flow";  
  parameter Real qBuble(unit="m3 s-1") = 140*(1e-4)/6 "Air inyection flow";  
  //parameter Real Tamb = 10+274.15;  
  
  parameter Real qCO2(unit="m3 s-1") = 0 "CO2 inyection flow";  
end Operation;
```

## PhotoBioLib.Records.PhysicalPar\_ClosedPhotobioreactor

Physical parameters of a closed photobioreactor

### Parameters

Type	Name	Default	Description
<a href="#">GeometryLoop</a>	geometryLoop		Geometrical parameters of the loop
<a href="#">GeometryColumn</a>	geometryColumn		Geometrical parameters of the column
<a href="#">GeometryExchanger</a>	geometryExchanger		Geometrical parameters of the exchanger
<a href="#">HeatParLoop</a>	heatParLoop		Heat parameters of the loop
<a href="#">HeatParColumn</a>	heatParColumn		Heat parameters of the column
<a href="#">HeatParExchanger</a>	heatParExchanger		Heat parameters of the exchanger
<a href="#">MassTransferLoop</a>	massTransferLoop		Mass transfer parameters of the loop
<a href="#">MassTransferColumn</a>	massTransferColumn		Mass transfer parameters of the column

### Modelica definition

```

record PhysicalPar_ClosedPhotobioreactor
  "Physical parameters of a closed photobioreactor"
  extends Modelica.Icons.Record;

  // Geometry
  parameter PhotoBioLib.Records.Geometry.GeometryLoop geometryLoop
    "Geometrical parameters of the loop";
  parameter PhotoBioLib.Records.Geometry.GeometryColumn geometryColumn
    "Geometrical parameters of the column";
  parameter PhotoBioLib.Records.Geometry.GeometryExchanger geometryExchanger
    "Geometrical parameters of the exchanger";

  // Heat
  parameter PhotoBioLib.Records.Heat.HeatParLoop heatParLoop
    "Heat parameters of the loop";
  parameter PhotoBioLib.Records.Heat.HeatParColumn heatParColumn
    "Heat parameters of the column";
  parameter PhotoBioLib.Records.Heat.HeatParExchanger heatParExchanger
    "Heat parameters of the exchanger";

  // MassTransfer
  parameter PhotoBioLib.Records.MassTransfer.MassTransferLoop massTransferLoop
    "Mass transfer parameters of the loop";
  parameter PhotoBioLib.Records.MassTransfer.MassTransferColumn
    massTransferColumn "Mass transfer parameters of the column";











end PhysicalPar_ClosedPhotobioreactor;

```

## PhotoBioLib.Sensors

Sensors package

### Package Content

Name	Description
 <a href="#">BioFlowSensor</a>	Biomass flow sensor
 <a href="#">BioFlowSensor_ext</a>	Biomass flow sensor
 <a href="#">BioPotentialSensor</a>	Biomass potential sensor
 <a href="#">GasFlowSensor</a>	Gas flow sensor
 <a href="#">GasFlowSensor_ext</a>	Gas flow sensor
 <a href="#">GasPotentialSensor</a>	Gas potential sensor
 <a href="#">LiqFlowSensor</a>	Liquid flow sensor
 <a href="#">LiqFlowSensor_ext</a>	Liquid flow sensor
 <a href="#">LiqPotentialSensor</a>	Liquid potential sensor
 <a href="#">RadSensor</a>	Radiation sensor

## PhotoBioLib.Sensors.BioFlowSensor

Biomass flow sensor



### Parameters

Type	Name	Default	Description
replaceable class con	PhotoBioLib.Interfaces.Pari...		
Integer	nout	7	Number of outputs



replaceable class icon [LiqFlowSensorIcon](#)

### Connectors

Type	Name	Description
replaceable class con		
output RealOutput y[nout]	Outputs	
<a href="#">BioCon</a>	con1	Liquid connector on the left
<a href="#">BioCon</a>	con2	Liquid connector on the righ
replaceable class icon		

### Modelica definition

```

model BioFlowSensor "Biomass flow sensor"
  extends PhotoBioLib.Sensors.LiqFlowSensor(redeclare class icon =
    PhotoBioLib.Icons.Sensors.BioFlowSensorIcon, redeclare class con =
    PhotoBioLib.Interfaces.Partial.Biomass.Bio2OutN (nout=7));

  Real flowO2(unit="mol s-1") "Oxygen molar flow";
  Real flowCt(unit="mol s-1") "Total carbon molar flow";
  Real flowCb(unit="Kg s-1") "Biomass flow";

  equation
    y[3]=con1.flowCb;
    y[4]=con1.flowO2;
    y[5]=con1.flowCO2;
    y[6]=con1.flowCt;
    y[7]=con1.flowW;

    flowO2 = con1.flowO2;
    flowCt = con1.flowCt;
    flowCb = con1.flowCb;

end BioFlowSensor;

```

## PhotoBioLib.Sensors.BioFlowSensor\_ext

Biomass flow sensor



### Parameters

Type	Name	Default	Description
replaceable class con	PhotoBioLib.Interfaces.Pari...		
Integer	nout	7	Number of outputs
replaceable class icon	<a href="#">LiqFlowSensorIcon</a>		
Real	Cv	4184e3	

### Connectors

Type	Name	Description
replaceable class con		
output RealOutput y[nout]	Outputs	
<a href="#">BioCon</a>	con1	Liquid connector on the left
<a href="#">BioCon</a>	con2	Liquid connector on the righ
replaceable class icon		

### Modelica definition

```

model BioFlowSensor_ext "Biomass flow sensor"
  extends PhotoBioLib.Sensors.LiqFlowSensor(redeclare class icon =
    PhotoBioLib.Icons.Sensors.BioFlowSensorIcon, redeclare class con =
    PhotoBioLib.Interfaces.Partial.Biomass.Bio2OutN (nout=7));

  Real flowO2(unit="mol s-1") "Oxygen molar flow";
  Real flowCt(unit="mol s-1") "Total carbon molar flow";
  Real flowCb(unit="Kg s-1") "Biomass flow";

  Real T;
  Real Tc;
  parameter Real Cv = 4184e3;
  //lCon.T = Qt/(lCon.Vol*Cv);

  equation
    y[3]=con1.flowCb;
    y[4]=con1.flowO2;
    y[5]=con1.flowCO2;
    y[6]=con1.flowCt;
    y[7]=con1.flowW;

    flowO2 = con1.flowO2;
    flowCt = con1.flowCt;

```



```

flowCb = con1.flowCb;
T = con1.flowQ/(con1.flowVol*Cv);
Tc = T-274.15;
end BioFlowSensor_ext;

```

## PhotoBioLib.Sensors.BioPotentialSensor

Biomass potential sensor

∩

■

### Parameters

Type	Name	Default	Description
replaceable class con		PhotoBioLib.Interfaces.Parti...	
Integer	nout	8	Number of outputs
replaceable class icon		<a href="#">LiqPotentialSensorIcon</a>	

### Connectors

Type	Name	Description
replaceable class con		
output RealOutput y[nout]		Outputs
<a href="#">BioCon</a>	ICon	Liquid connector
replaceable class icon		

### Modelica definition

```

model BioPotentialSensor "Biomass potential sensor"
  extends PhotoBioLib.Sensors.LiqPotentialSensor(redeclare class icon =
    PhotoBioLib.Icons.Sensors.BioPotentialSensorIcon, redeclare class con =
    PhotoBioLib.Interfaces.Partial.Biomass.BioOutN (nout=8));

  import Modelica.Math.Log10;
  Real O2(unit="mol m-3") "Oxygen concentration";
  Real CO2(unit="mol m-3") "Oxygen concentration";
  Real Ct(unit="mol m-3") "Total carbon concentration";
  Real H(unit="mol m-3") "Hydrogen concentration";
  Real Cb(unit="Kg m-3") "Biomass concentration";
  Real pH(unit="1") "pH";

equation
  y[4]=lCon.Cb;
  y[5]=lCon.O2;
  y[6]=lCon.CO2;
  y[7]=lCon.Ct;
  y[8]=lCon.H;

  lCon.flowO2=0;
  lCon.flowCO2=0;
  lCon.flowCt=0;
  lCon.flowH=0;
  lCon.flowCb=0;

  O2 = lCon.O2;
  CO2 = lCon.CO2;
  Cb = lCon.Cb;
  Ct = lCon.Ct;
  H = lCon.H;
  pH = -log10(lCon.H);
end BioPotentialSensor;

```

## PhotoBioLib.Sensors.GasFlowSensor

Gas flow sensor



∩

### Parameters

Type	Name	Default	Description
Integer	nout	4	Number of outputs

### Connectors

Type	Name	Description



output RealOutput y[nout]		
<a href="#">GasCon</a>	con1	Gas connector on the left
<a href="#">GasCon</a>	con2	Gas connector on the right

### Modelica definition

```

model GasFlowSensor "Gas flow sensor"

  Real flowVol(unit="m3 s-1") "Gas volume flow";
  Real flowO2(unit="mol s-1") "Oxygen molar flow";
  Real flowCO2(unit="mol s-1") "Carbon dioxide molar flow";
  Real flowN2(unit="mol s-1") "Nitrogen molar flow";

  extends PhotoBioLib.Interfaces.Partial.Gas_Gas2OutN(nout=4);
  extends PhotoBioLib.Icons.Sensors.GasFlowSensorIcon;

equation
  flowVol = con1.flowVol;
  flowO2 = con1.flowO2;
  flowCO2 = con1.flowCO2;
  flowN2 = con1.flowN2;

  y[1] = con1.flowVol;
  y[2] = con1.flowO2;
  y[3] = con1.flowCO2;
  y[4] = con1.flowN2;

  connect(con1, con2);
end GasFlowSensor;

```

## PhotoBioLib.Sensors.GasFlowSensor\_ext

Gas flow sensor



∩

### Parameters

Type	Name	Default	Description
Integer	nout	4	Number of outputs

### Connectors

Type	Name	Description
output RealOutput y[nout]		
<a href="#">GasCon</a>	con1	Gas connector on the left
<a href="#">GasCon</a>	con2	Gas connector on the right

### Modelica definition

```

model GasFlowSensor_ext "Gas flow sensor"

  Real flowVol(unit="m3 s-1") "Gas volume flow";
  Real flowO2(unit="mol s-1") "Oxygen molar flow";
  Real flowCO2(unit="mol s-1") "Carbon dioxide molar flow";
  Real flowN2(unit="mol s-1") "Nitrogen molar flow";

  Real yO2;
  Real yCO2;
  Real yN2;

  extends PhotoBioLib.Interfaces.Partial.Gas_Gas2OutN(nout=4);
  extends PhotoBioLib.Icons.Sensors.GasFlowSensorIcon;

equation
  if flowVol>0 then
    yO2 = con1.flowO2/(con1.flowO2+con1.flowCO2+con1.flowN2);
    yCO2 = con1.flowCO2/(con1.flowO2+con1.flowCO2+con1.flowN2);
    yN2 = con1.flowN2/(con1.flowO2+con1.flowCO2+con1.flowN2);
  else
    yO2=0;
    yCO2=0;
    yN2=0;
  end if;
  flowVol = con1.flowVol;
  flowO2 = con1.flowO2;
  flowCO2 = con1.flowCO2;
  flowN2 = con1.flowN2;

  y[1] = con1.flowVol;
  y[2] = con1.flowO2;
  y[3] = con1.flowCO2;
  y[4] = con1.flowN2;

  connect(con1, con2);
end GasFlowSensor_ext;

```



## PhotoBioLib.Sensors.GasPotentialSensor

Gas potencial sensor



### Parameters

Type	Name	Default	Description
Real	epsV	1E-10	Filter value [1]
Integer	nout	14	Number of outputs

### Connectors

Type	Name	Description
output RealOutput	y[nout]	Outputs
<a href="#">GasCon</a>	con	Gas connector

### Modelica definition

```

model GasPotentialSensor "Gas potencial sensor"
  Real Vol(unit="m3") "Gas volume";
  Real O2(unit="mol m-3") "Oxygen concentration";
  Real CO2(unit="mol m-3") "Carbon dioxide concentration";
  Real N2(unit="mol m-3") "Nitrogen concentration";
  Real yO2(unit="1") "Oxygen molar fraction";
  Real yCO2(unit="1") "Carbon dioxide molar fraction";
  Real yN2(unit="1") "Nitrogen molar fraction";
  Real yT(unit="1") "Total molar fraction";

  Real VolF(unit="m3") "Gas volume (filtered)";
  Real O2f(unit="mol m-3") "Oxygen concentration (filtered)";
  Real CO2f(unit="mol m-3") "Carbon dioxide concentration (filtered)";
  Real N2f(unit="mol m-3") "Nitrogen concentration (filtered)";
  Real yO2f(unit="1") "Oxygen molar fraction (filtered)";
  Real yCO2f(unit="1") "Carbon dioxide molar fraction (filtered)";
  Real yN2f(unit="1") "Nitrogen molar fraction (filtered)";
  Real yTf(unit="1") "Total molar fraction (filtered)";

  parameter Real epsV(unit="1") = 1E-10 "Filter value";
  Boolean gas "Gas availability";

  extends PhotoBioLib.Interfaces.PartialGas.Gas1Out(nout=14);
  extends PhotoBioLib.Icons.Sensors.GasPotentialSensorIcon;

initial equation
  gas = con.Vol>epsV;

equation
  when (pre(gas) and con.Vol<epsV, not pre(gas) and con.Vol>epsV) then
    gas = con.Vol >epsV;
  end when;

  Vol = con.Vol;
  O2 = con.O2;
  CO2 = con.CO2;
  N2 =con.N2;

  y[1] = con.Vol;
  y[2] = con.O2;
  y[3] = con.CO2;
  y[4] =con.N2;

  yO2 = if (con.O2 + con.CO2 + con.N2)>0 then con.O2/(con.O2 + con.CO2 + con.N2) else 0;
  yCO2 =if (con.O2 + con.CO2 + con.N2)>0 then con.CO2/(con.O2 + con.CO2 + con.N2) else 0;
  yN2 = if (con.O2 + con.CO2 + con.N2)>0 then con.N2/(con.O2 + con.CO2 + con.N2) else 0;

  yT =yO2 + yCO2 + yN2;

  y[5] = yO2;
  y[6] = yCO2;
  y[7] = yN2;

  con.flowVol=0;
  con.flowO2=0;
  con.flowCO2=0;
  con.flowN2=0;

  if gas then
    VolF=Vol;
    O2f=O2;
    CO2f=CO2;
    N2f=N2;
    yO2f=yO2;
    yCO2f=yCO2;
    yN2f=yN2;
    yTf=yT;
  else
    VolF=0;
    O2f=0;
    CO2f=0;
    N2f=0;
    yO2f=0;
  end if;

```



```

  yCO2f=0;
  yN2f=0;
  yTf=0;
end if;

y[8]=VolF;
y[9]=O2f;
y[10]=CO2f;
y[11]=N2f;
y[12]=yO2f;
y[13]=yCO2f;
y[14]=yN2f;

end GasPotentialSensor;

```

## PhotoBioLib.Sensors.LiqFlowSensor

Liquid flow sensor



### Parameters

Type	Name	Default	Description
Integer	nout	2	Number of outputs

### Connectors

Type	Name	Description
output RealOutput	y[nout]	
<a href="#">LiqCon</a>	con1	Liquid connector on the left
<a href="#">LiqCon</a>	con2	Liquid connector on the righth

### Modelica definition

```

model LiqFlowSensor "Liquid flow sensor"
  replaceable class con =
    PhotoBioLib.Interfaces.PartialLiquid.Liq2Out(nout=2);
  extends con;
  replaceable class icon =
    PhotoBioLib.Icons.Sensors.LiqFlowSensorIcon;
  extends icon;

  Real flowVol(unit="m3 s-1") "Liquid volume";
  Real flowQ(unit="J s-1") "Heat flow";

equation
  flowVol = con1.flowVol;
  flowQ = con1.flowQ;
  y[1] = con1.flowVol;
  y[2] = con1.flowQ;

  connect(con1, con2);
end LiqFlowSensor;

```

## PhotoBioLib.Sensors.LiqFlowSensor\_ext

Liquid flow sensor



### Parameters

Type	Name	Default	Description
Integer	nout	2	Number of outputs
Real	Cv	4184c3	

### Connectors

Type	Name	Description
output RealOutput	y[nout]	
<a href="#">LiqCon</a>	con1	Liquid connector on the left
<a href="#">LiqCon</a>	con2	Liquid connector on the righth

### Modelica definition

```

model LiqFlowSensor_ext "Liquid flow sensor"

```



```

replaceable class con =
  PhotoBioLib.Interfaces.Partial.Liquid.Liq2OutN (nout=2);
extends con;
replaceable class icon =
  PhotoBioLib.Icons.Sensors.LiqFlowSensorIcon;
extends icon;

Real flowVol(unit="m3 s-1") "Liquid volume";
Real flowQ(unit="J s-1") "Heat flow";

Real T;
Real Tc;
parameter Real Cv = 4184e3;

equation
  flowVol = con1.flowVol;
  flowQ = con1.flowQ;
  y[1] = con1.flowVol;
  y[2] = con1.flowQ;

T = con1.flowQ/(con1.flowVol*Cv);
Tc = T-274.15;

connect(con1, con2);
end LiqFlowSensor_ext;

```

## PhotoBioLib.Sensors.LiqPotentialSensor

Liquid potential sensor



### Parameters

Type	Name	Default	Description
Integer	nout	3	Number of outputs

### Connectors

Type	Name	Description
output RealOutput	y[nout]	Outputs
<a href="#">LiqCon</a>	ICon	Liquid connector

### Modelica definition

```

model LiqPotentialSensor "Liquid potential sensor"
  import Modelica.Math.log10;
  replaceable class con =
    PhotoBioLib.Interfaces.Partial.Liquid.Liq1OutN (nout=3);
  extends con;
  replaceable class icon =
    PhotoBioLib.Icons.Sensors.LiqPotentialSensorIcon;
  extends icon;

  Real Vol(unit="m-3") "Liquid volume";
  Real T(unit="°K") "Liquid temperature";
  Real Tc(unit="°C") "Liquid temperature (Celsius)";

equation
  lCon.flowQ = 0;
  lCon.flowVol=0;

  Vol = lCon.Vol;
  T = lCon.T;
  Tc = T-274.15;

  y[1] = lCon.Vol;
  y[2] = lCon.T;
  y[3] = T-274.15;
end LiqPotentialSensor;

```

## PhotoBioLib.Sensors.RadSensor

Radiation sensor



### Connectors

Type	Name	Description
input RealInput	Io	Radiation

### Modelica definition

```

model RadSensor "Radiation sensor"

```

```

  extends PhotoBioLib.Icons.Sensors.RadSensorIcon;

public
  Modelica.Blocks.Interfaces.RealInput Io(redeclare type SignalType = Real (
    unit="uE m-2 s-1")) "Radiation";

end RadSensor;

```

## PhotoBioLib.UsersGuide

### Users Guide of package Photobioreactor

#### Package Content

Name	Description
<a href="#">Contact</a>	Contact
<a href="#">Literature</a>	Literature
<a href="#">OverView</a>	Overview of library
<a href="#">ReleaseNotes</a>	Release Notes

## PhotoBioLib.UsersGuide.Contact

### Contact

#### Main Authors:

[Agustín Pérez Castro](mailto:agustinperezcastro@bec.uned.es) <agustinperezcastro@bec.uned.es>  
 Department of Computer Science and Automatic Control (DIA)  
 School of Computer Science (ETSII)  
 Spanish University of Distance Learning (UNED)  
 28040 Madrid  
 SPAIN

#### Acknowledgements:

The authors are very grateful to the Spanish Ministry of Economy and Competitiveness for financing this work through the Programme "Formacion dePersonal Investigador (FPI)". This work has been partially funded by the following projects: DPI2011-27818-C02-01 and DPI2011-27818-C02-02.

## PhotoBioLib.UsersGuide.Literature

### Literature

The Photobioreactor library is based on the following references:

## PhotoBioLib.UsersGuide.OverView

### Overview of Library Photobioreactor

In this section, an overview of the most important features of this library is given.

(will be added as soon as possible).

## PhotoBioLib.UsersGuide.ReleaseNotes

### Release notes

#### Version 1.0.0, 2014-04-15




- A first version has been implemented.

## PhotoBioLib.Utilities

Utilities package

#### Package Content

Name	Description
------	-------------

	Read variable from Mat -v4 file
	Read variable from Mat -v4 file
	Read variable from Mat -v4 file

## PhotoBioLib.Utilities.ReadVar

Read variable from Mat -v4 file



### Parameters

Type	Name	Default	Description
String	LibrarySystemPath	Modelica.Utilities.System.ge...	
String	file	"/data/interpolado.mat"	
String	tableName	"raddat"	

### Connectors

Type	Name	Description
output RealOutput	y	

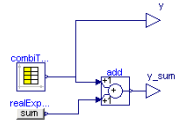
### Modelica definition

```
model ReadVar "Read variable from Mat -v4 file"
  parameter String LibrarySystemPath = Modelica.Utilities.System.getWorkDirectory();
  parameter String file = "/data/interpolado.mat";
  parameter String tableName = "raddat";
end ReadVar;
```

```
Modelica.Blocks.Sources.CombiTimeTable combiTableID(
  tableOnFile=true,
  tableName=tableName,
  fileName=LibrarySystemPath + file);
Modelica.Blocks.Interfaces.RealOutput y;
equation
  connect(combiTableID.y[1], y);
end ReadVar;
```

## PhotoBioLib.Utilities.ReadVar\_Plus

Read variable from Mat -v4 file



### Parameters

Type	Name	Default	Description
String	LibrarySystemPath	Modelica.Utilities.System.ge...	
String	file	"/data/interpolado.mat"	
String	tableName	"raddat"	
Real	sum	274.15	

### Connectors

Type	Name	Description
output RealOutput	y_sum	
output RealOutput	y	

### Modelica definition

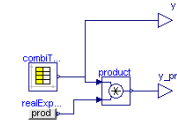
```
model ReadVar_Plus "Read variable from Mat -v4 file"
  parameter String LibrarySystemPath = Modelica.Utilities.System.getWorkDirectory();
  parameter String file = "/data/interpolado.mat";
  parameter String tableName = "raddat";
  parameter Real sum = 274.15;
end ReadVar_Plus;
```

```
Modelica.Blocks.Sources.CombiTimeTable combiTableID(
```

```
  tableOnFile=true,
  tableName=tableName,
  fileName=LibrarySystemPath + file);
Modelica.Blocks.Interfaces.RealOutput y_sum;
Modelica.Blocks.Sources.RealExpression realExpression(y=sum);
Modelica.Blocks.Math.Add add;
Modelica.Blocks.Interfaces.RealOutput y;
equation
  connect(add.y, y_sum);
  connect(add.u1, combiTableID.y[1]);
  connect(realExpression.y, add.u2);
  connect(combiTableID.y[1], y);
end ReadVar_Plus;
```

## PhotoBioLib.Utilities.ReadVar\_Prod

Read variable from Mat -v4 file



### Parameters

Type	Name	Default	Description
String	LibrarySystemPath	Modelica.Utilities.System.ge...	
String	file	"/data/interpolado.mat"	
String	tableName	"raddat"	
Real	prod	Constants.HO2*Constants.yO2*...	

### Connectors

Type	Name	Description
output RealOutput	y_prod	
output RealOutput	y	

### Modelica definition

```
model ReadVar_Prod "Read variable from Mat -v4 file"
  import PhotoBioLib.Records.Constants "Constants";
  parameter String LibrarySystemPath = Modelica.Utilities.System.getWorkDirectory();
  parameter String file = "/data/interpolado.mat";
  parameter String tableName = "raddat";
  parameter Real prod = Constants.HO2*Constants.yO2*1/100;
end ReadVar_Prod;
```

```
Modelica.Blocks.Sources.CombiTimeTable combiTableID(
  tableOnFile=true,
  tableName=tableName,
  fileName=LibrarySystemPath + file);
Modelica.Blocks.Interfaces.RealOutput y_prod;
Modelica.Blocks.Sources.RealExpression realExpression(y=prod);
Modelica.Blocks.Math.Product product;
Modelica.Blocks.Interfaces.RealOutput y;
equation
  connect(product.y, y_prod);
  connect(combiTableID.y[1], product.u1);
  connect(realExpression.y, product.u2);
  connect(y, combiTableID.y[1]);
end ReadVar_Prod;
```

HTML-documentation generated by Dymola Mon Jun 09 09:56:24 2014.

